

GCA_025769805.1_ASM2576980v1 Segment_1
(Retained); 166793 bp to Scaffold Start; 30826 bp
to Scaffold End

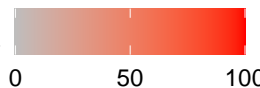
CDS to Query Length Ratio

1.25
1.00
0.75
0.50
0.25
0.00

AAS90039.1|1 AAS90038.1|1 AAS90037.1|1 AAS90036.1|1 AAS90042.1|1 AAS90035.1|1 AAS90041.1|1 AAS90034.1|1 AAS90043.1|1 nov_aux|1 AAS90033.1|1 AAS90032.1|1 nov_aux|2 AAS90031.1|1 nov_aux|3 AAS90030.1|1 AAS90040.1|1 AAS90029.1|1 nov_aux|4 AAS90028.1|1 AAS90027.1|1 AAS90026.1|1 AAS90025.1|1 AAS90024.1|1 AAS90023.1|1 nov_aux|5 AAS90022.1|1 AAS90021.1|1

CDS Classifications

identity



key

False

True

GCA_024676265.1_ASM2467626v1 Segment_1
(Retained); 21675 bp to Scaffold Start; 30908 bp
to Scaffold End

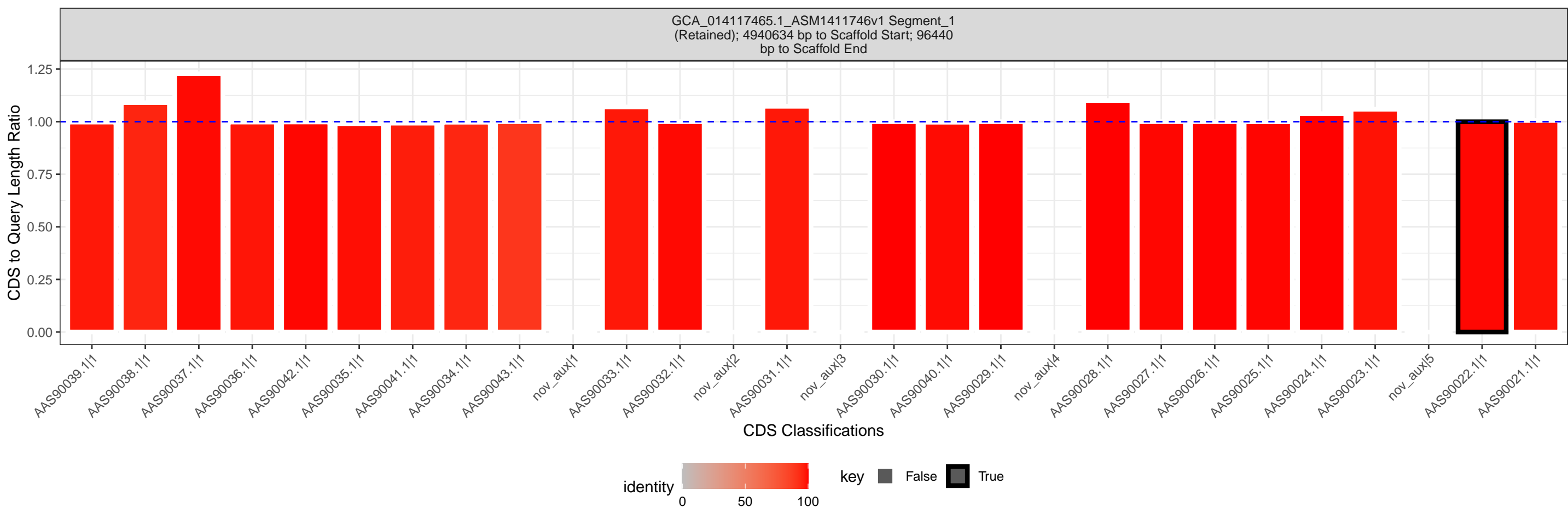
CDS to Query Length Ratio

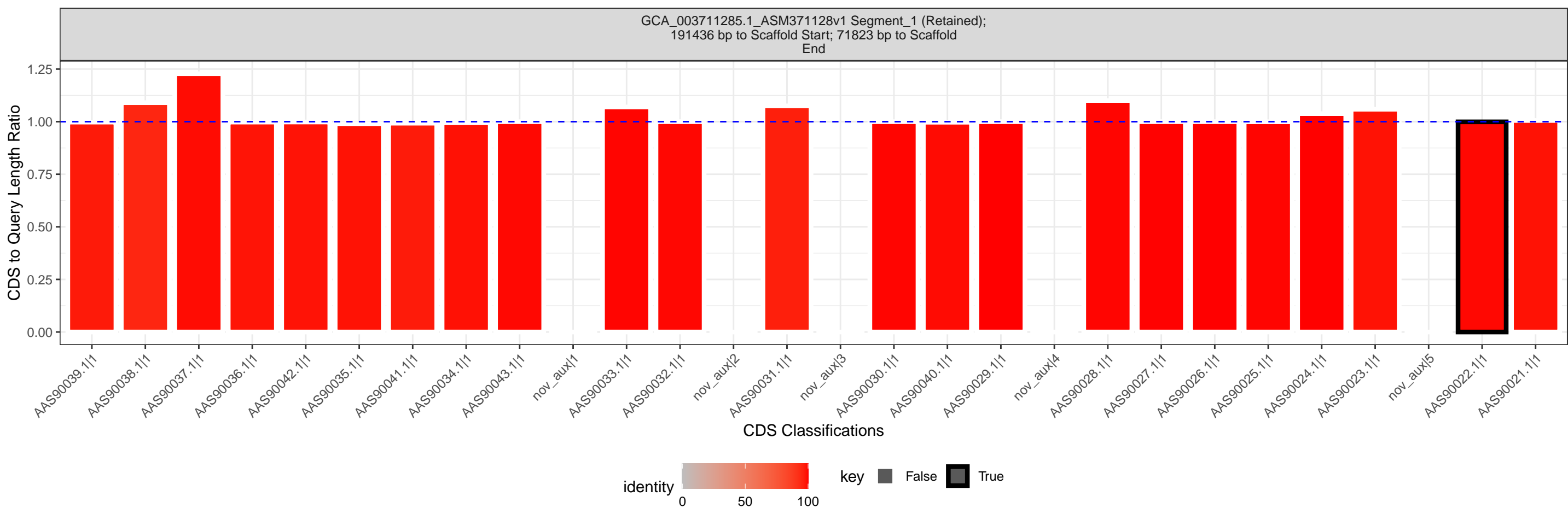
1.25
1.00
0.75
0.50
0.25
0.00

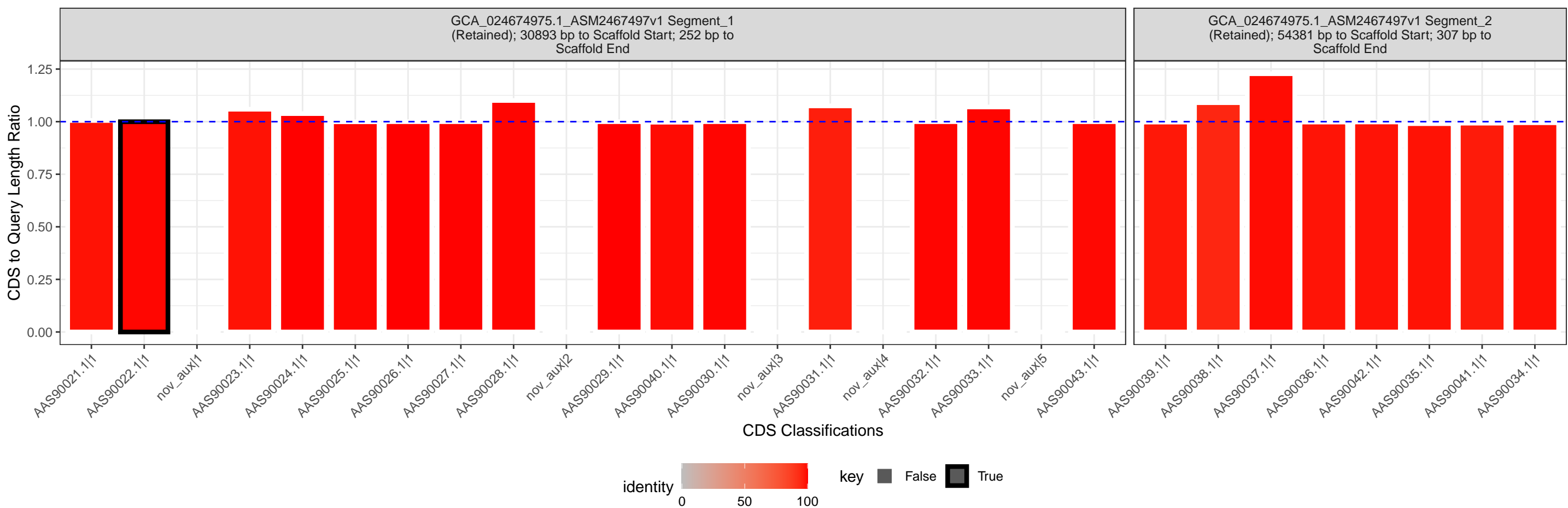
AAS90039.1|1 AAS90038.1|1 AAS90037.1|1 AAS90036.1|1 AAS90042.1|1 AAS90035.1|1 AAS90041.1|1 AAS90034.1|1 AAS90043.1|1 nov_aux|1 AAS90033.1|1 AAS90032.1|1 nov_aux|2 AAS90031.1|1 nov_aux|3 AAS90030.1|1 AAS90040.1|1 AAS90029.1|1 nov_aux|4 AAS90028.1|1 AAS90027.1|1 AAS90026.1|1 AAS90025.1|1 AAS90024.1|1 AAS90023.1|1 nov_aux|5 AAS90022.1|1 AAS90021.1|1

CDS Classifications









GCA_013145925.1_ASM1314592v1 Segment_1
(Retained); 86294 bp to Scaffold Start; 81051 bp
to Scaffold End

CDS to Query Length Ratio

1.25
1.00
0.75
0.50
0.25
0.00

AAS90039.1|1 AAS90038.1|1 AAS90037.1|1 AAS90036.1|1 AAS90042.1|1 AAS90035.1|1 AAS90041.1|1 AAS90034.1|1 AAS90043.1|1 nov_aux|1 AAS90033.1|1 AAS90032.1|1 nov_aux|2 AAS90031.1|1 nov_aux|3 AAS90030.1|1 AAS90040.1|1 AAS90029.1|1 nov_aux|4 AAS90028.1|1 AAS90027.1|1 AAS90026.1|1 AAS90025.1|1 AAS90024.1|1 AAS90023.1|1 nov_aux|5 AAS90022.1|1 AAS90021.1|1

CDS Classifications



GCA_011420415.1_ASM1142041v1 Segment_1
(Retained); 72505 bp to Scaffold Start; 1650122
bp to Scaffold End

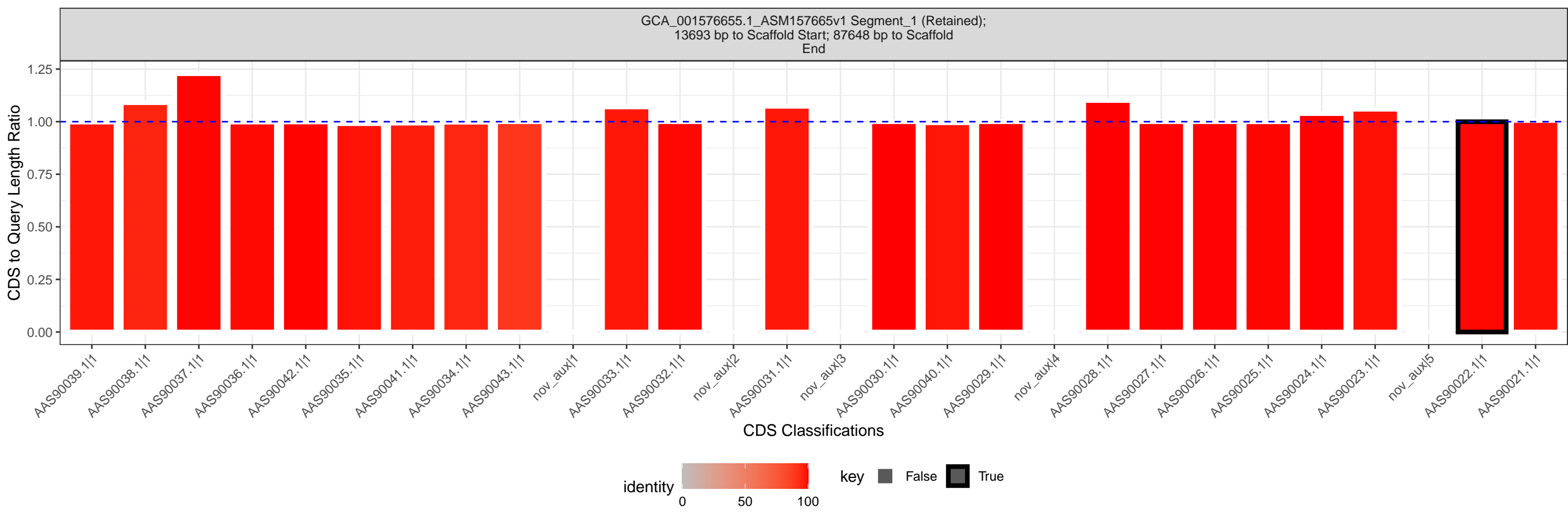
CDS to Query Length Ratio

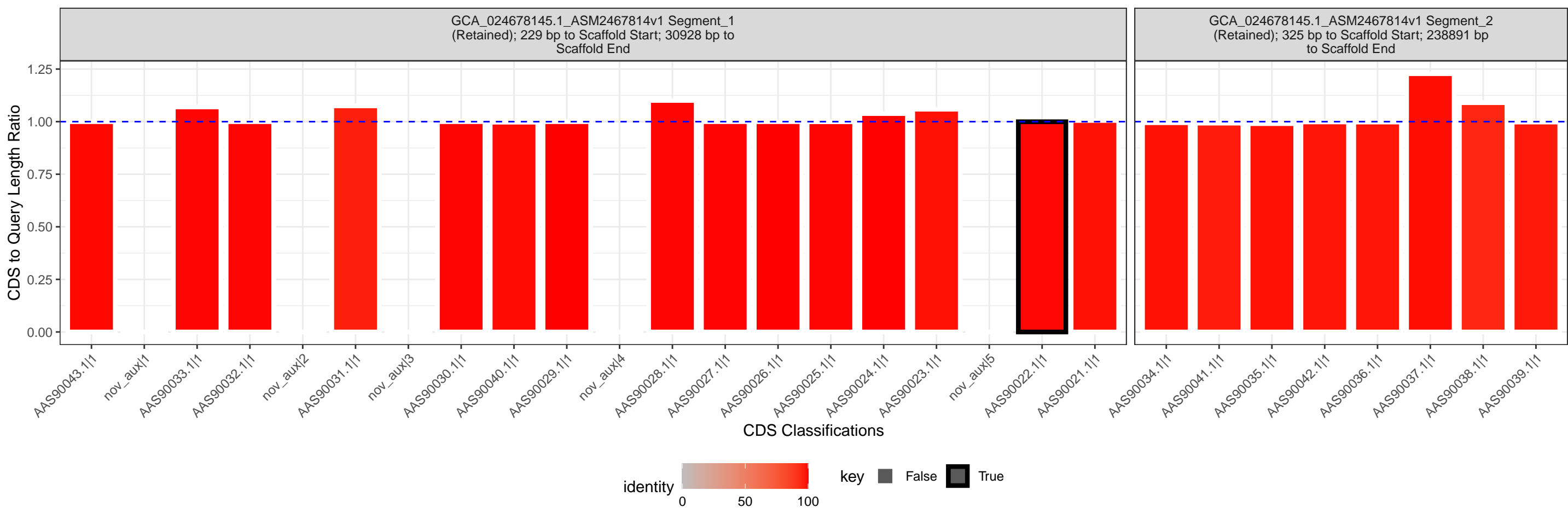
1.25
1.00
0.75
0.50
0.25
0.00

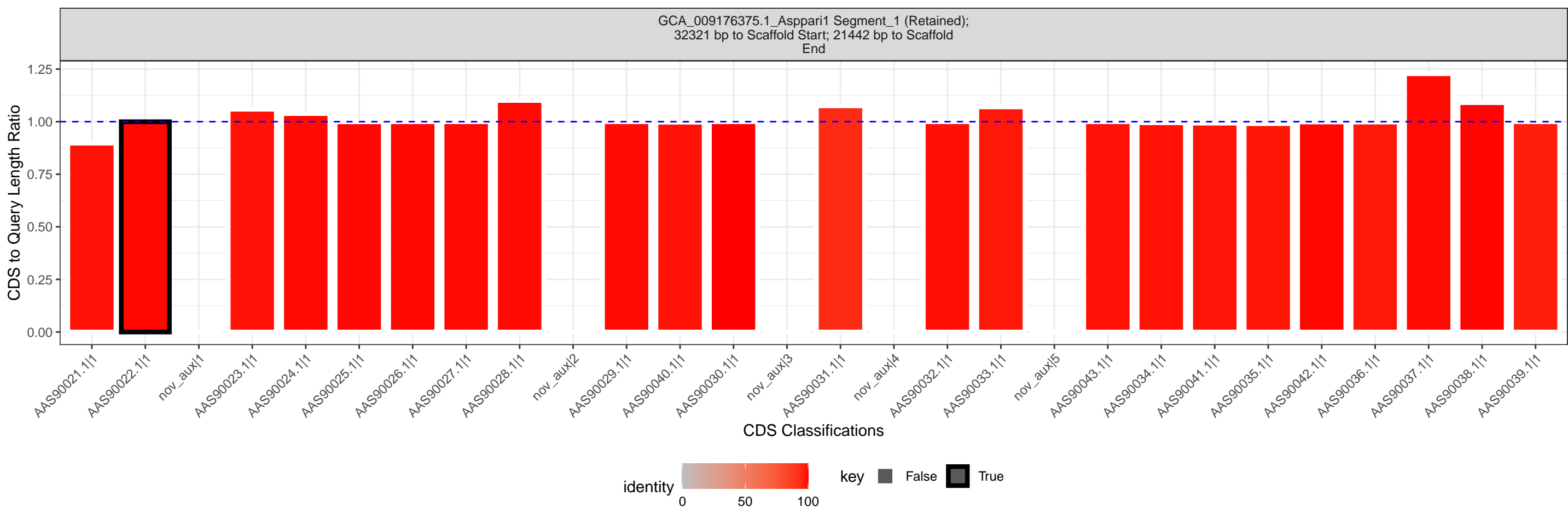
AAS90021.1|1 AAS90022.1|1 nov_aux|1 AAS90023.1|1 AAS90024.1|1 AAS90025.1|1 AAS90026.1|1 AAS90027.1|1 AAS90028.1|1 nov_aux|2 AAS90029.1|1 AAS90040.1|1 AAS90030.1|1 nov_aux|3 AAS90031.1|1 nov_aux|4 AAS90032.1|1 AAS90033.1|1 nov_aux|5 AAS90043.1|1 AAS90034.1|1 AAS90041.1|1 AAS90035.1|1 AAS90042.1|1 AAS90036.1|1 AAS90037.1|1 AAS90038.1|1 AAS90039.1|1

CDS Classifications









GCA_024676865.1_ASM2467686v1 Segment_1
(Retained); 39058 bp to Scaffold Start; 24173 bp
to Scaffold End

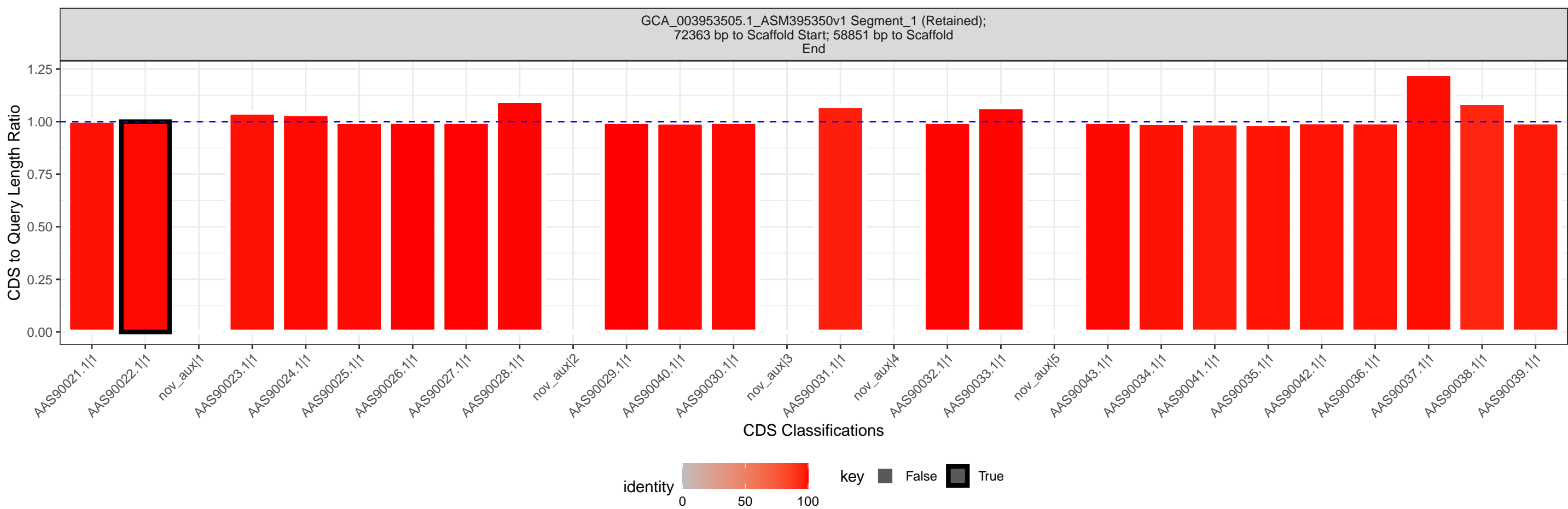
CDS to Query Length Ratio

1.25
1.00
0.75
0.50
0.25
0.00

AAS90021.1|1 AAS90022.1|1 nov_aux|1 AAS90023.1|1 AAS90024.1|1 AAS90025.1|1 AAS90026.1|1 AAS90027.1|1 AAS90028.1|1 nov_aux|2 AAS90029.1|1 AAS90040.1|1 AAS90030.1|1 nov_aux|3 AAS90031.1|1 nov_aux|4 AAS90032.1|1 AAS90033.1|1 nov_aux|5 AAS90043.1|1 AAS90034.1|1 AAS90041.1|1 AAS90035.1|1 AAS90042.1|1 AAS90036.1|1 AAS90037.1|1 AAS90038.1|1 AAS90039.1|1

CDS Classifications





GCA_013435855.1_ASM1343585v1 Segment_1
(Retained); 113077 bp to Scaffold Start; 38993 bp
to Scaffold End

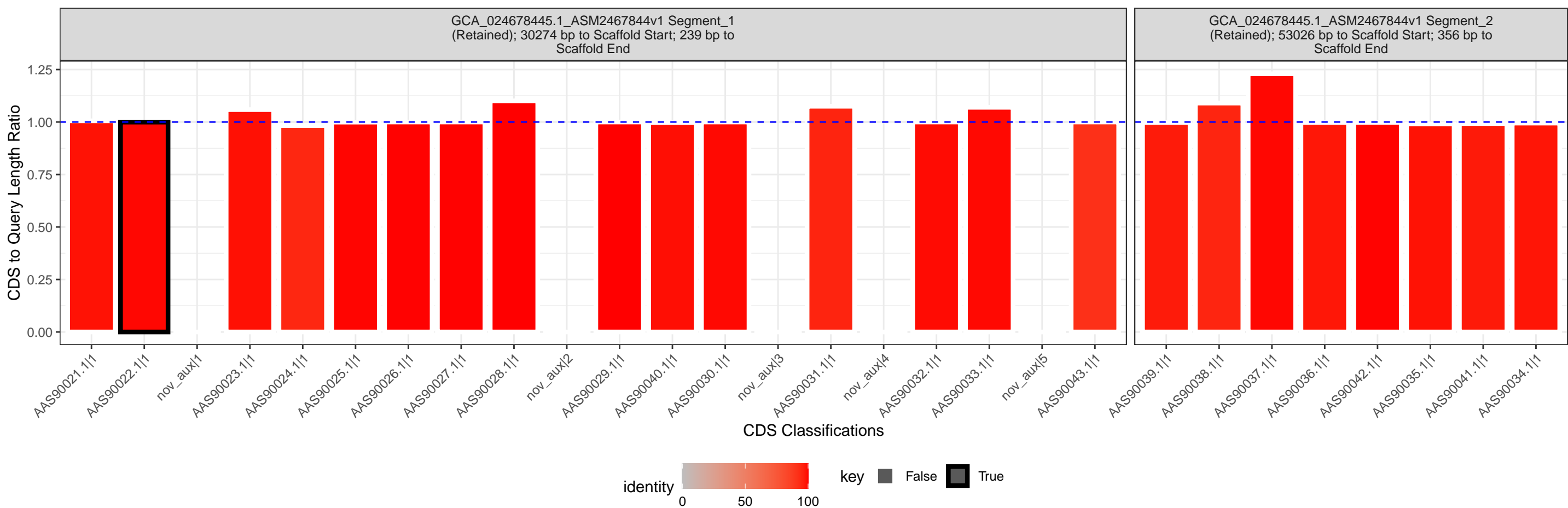
CDS to Query Length Ratio

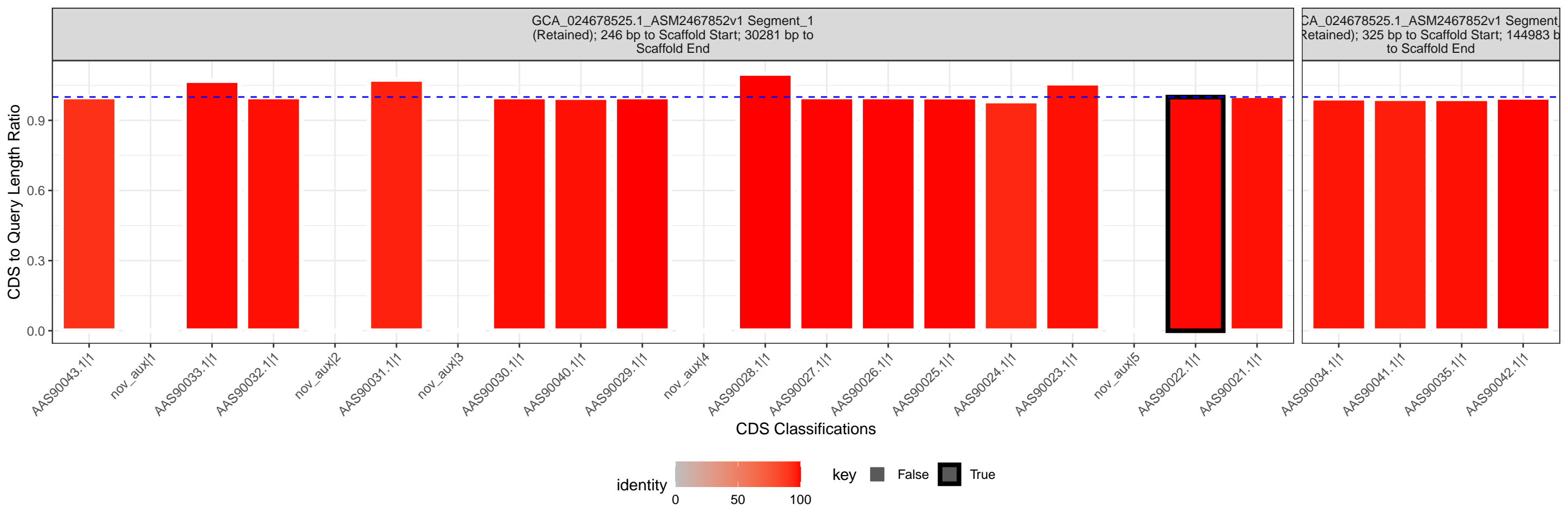
1.25
1.00
0.75
0.50
0.25
0.00

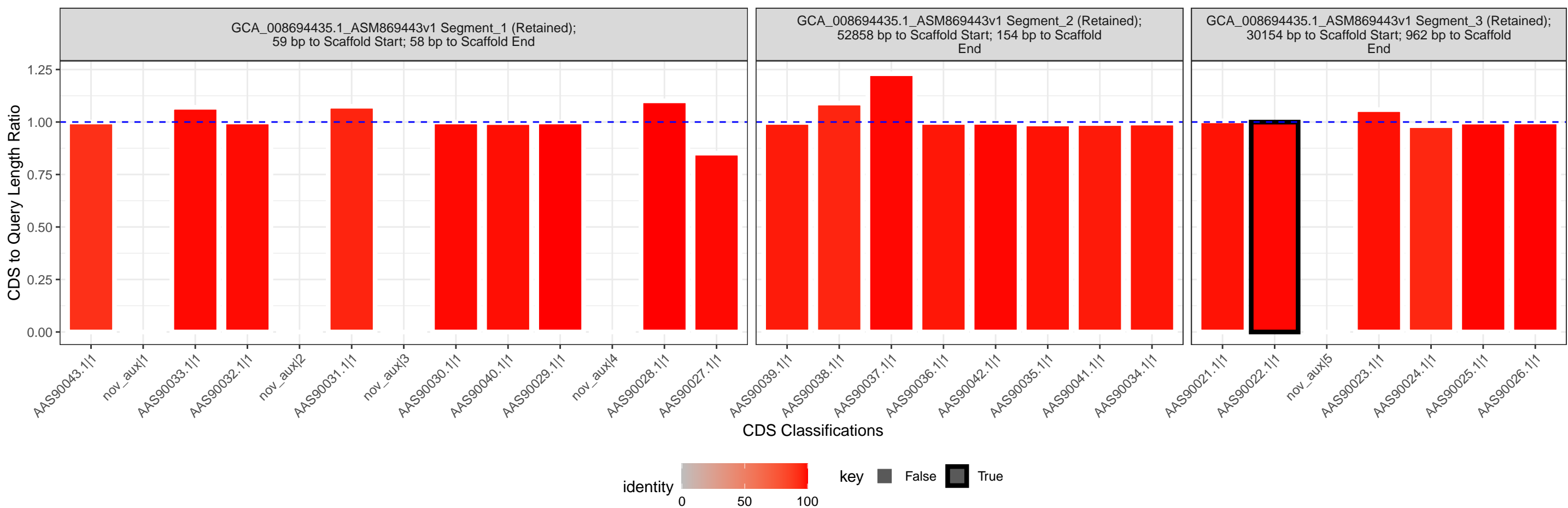
AAS90039.1|1 AAS90038.1|1 AAS90037.1|1 AAS90036.1|1 AAS90042.1|1 AAS90035.1|1 AAS90041.1|1 AAS90034.1|1 AAS90043.1|1 nov_aux|1 AAS90033.1|1 AAS90032.1|1 nov_aux|2 AAS90031.1|1 nov_aux|3 AAS90030.1|1 AAS90040.1|1 AAS90029.1|1 nov_aux|4 AAS90028.1|1 AAS90027.1|1 AAS90026.1|1 AAS90025.1|1 AAS90024.1|1 AAS90023.1|1 nov_aux|5 AAS90022.1|1 AAS90021.1|1

CDS Classifications









GCA_024668875.1_ASM2466887v1 Segment_1
(Retained); 30878 bp to Scaffold Start; 64704 bp
to Scaffold End

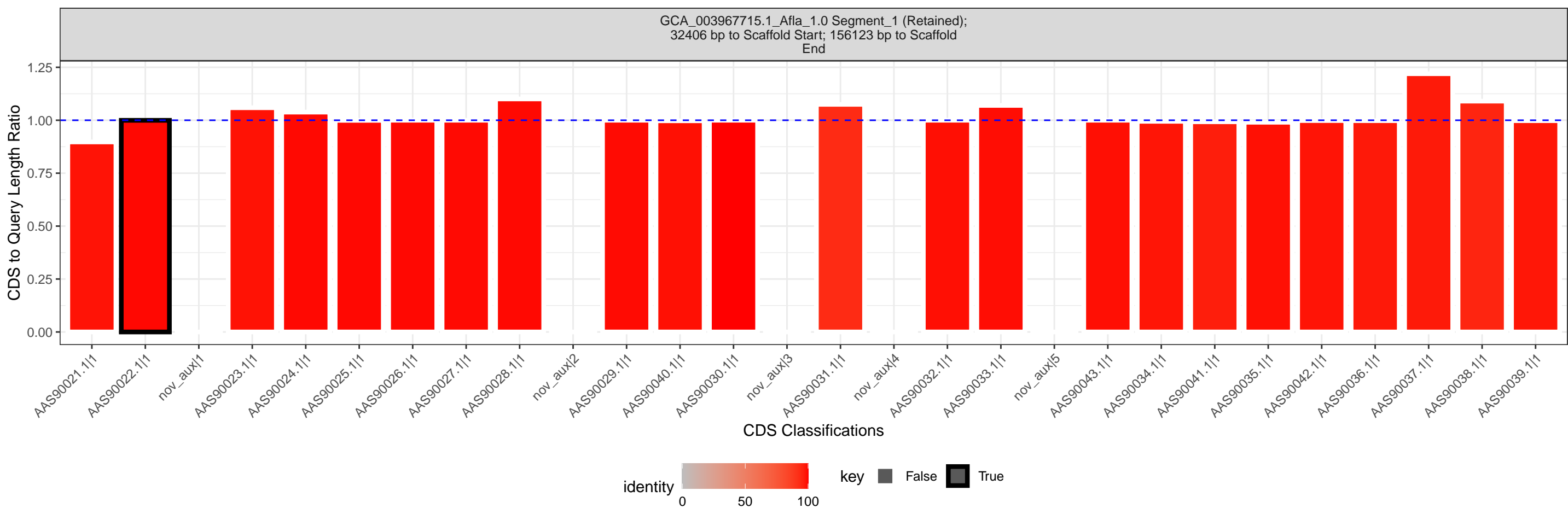
CDS to Query Length Ratio

1.25
1.00
0.75
0.50
0.25
0.00

AAS90021.1|1 AAS90022.1|1 nov_aux|1 AAS90023.1|1 AAS90024.1|1 AAS90025.1|1 AAS90026.1|1 AAS90027.1|1 AAS90028.1|1 nov_aux|2 AAS90029.1|1 AAS90040.1|1 AAS90030.1|1 nov_aux|3 AAS90031.1|1 nov_aux|4 AAS90032.1|1 AAS90033.1|1 nov_aux|5 AAS90043.1|1 AAS90034.1|1 AAS90041.1|1 AAS90035.1|1 AAS90042.1|1 AAS90036.1|1 AAS90037.1|1 AAS90038.1|1 AAS90039.1|1

CDS Classifications





GCA_024678185.1_ASM2467818v1 Segment_1
(Retained); 30930 bp to Scaffold Start; 299852 bp
to Scaffold End

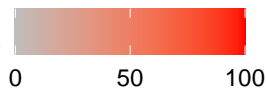
CDS to Query Length Ratio

1.25
1.00
0.75
0.50
0.25
0.00

AAS90021.1|1 AAS90022.1|1 nov_aux|1 AAS90023.1|1 AAS90024.1|1 AAS90025.1|1 AAS90026.1|1 AAS90027.1|1 AAS90028.1|1 nov_aux|2 AAS90029.1|1 AAS90040.1|1 AAS90030.1|1 nov_aux|3 AAS90031.1|1 nov_aux|4 AAS90032.1|1 AAS90033.1|1 nov_aux|5 AAS90043.1|1 AAS90034.1|1 AAS90041.1|1 AAS90035.1|1 AAS90042.1|1 AAS90036.1|1 AAS90037.1|1 AAS90038.1|1 AAS90039.1|1

CDS Classifications

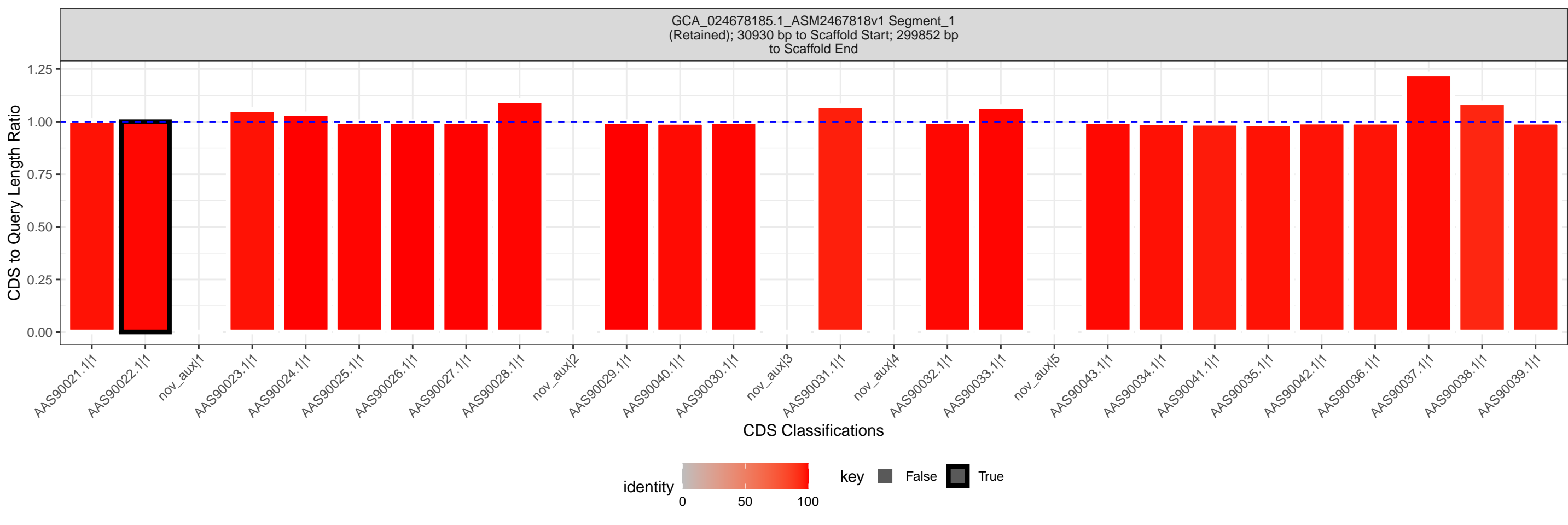
identity

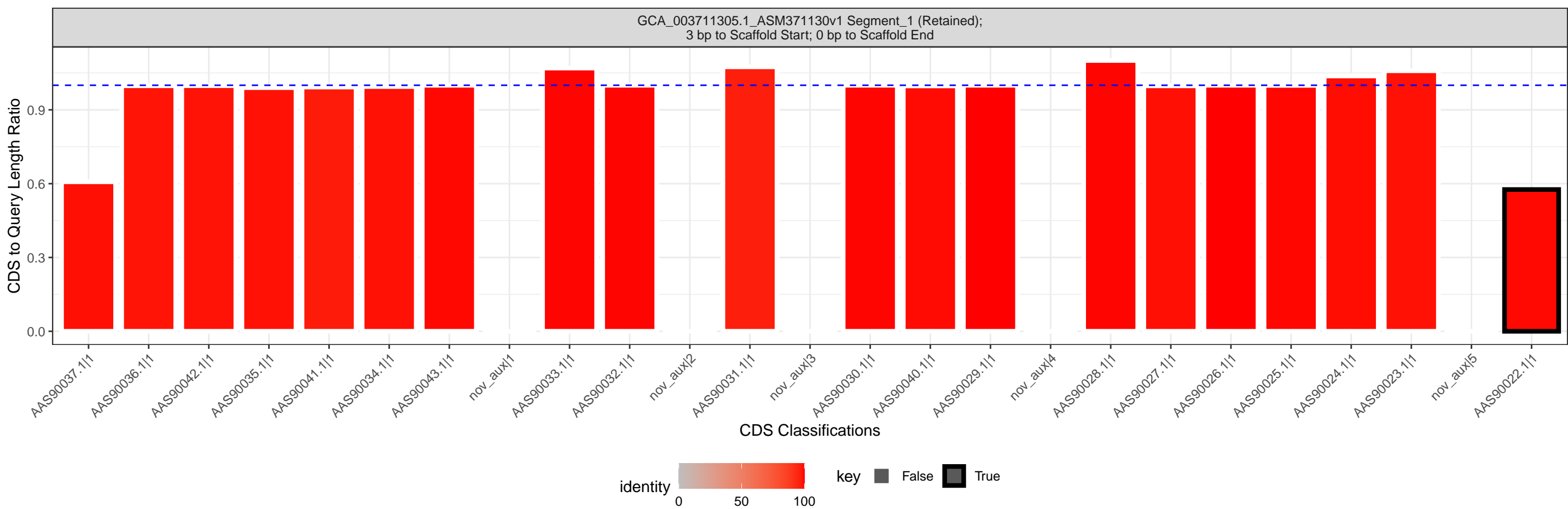


key

False

True





GCA_024678685.1_ASM2467868v1 Segment_1
(Retained); 30905 bp to Scaffold Start; 21653 bp
to Scaffold End

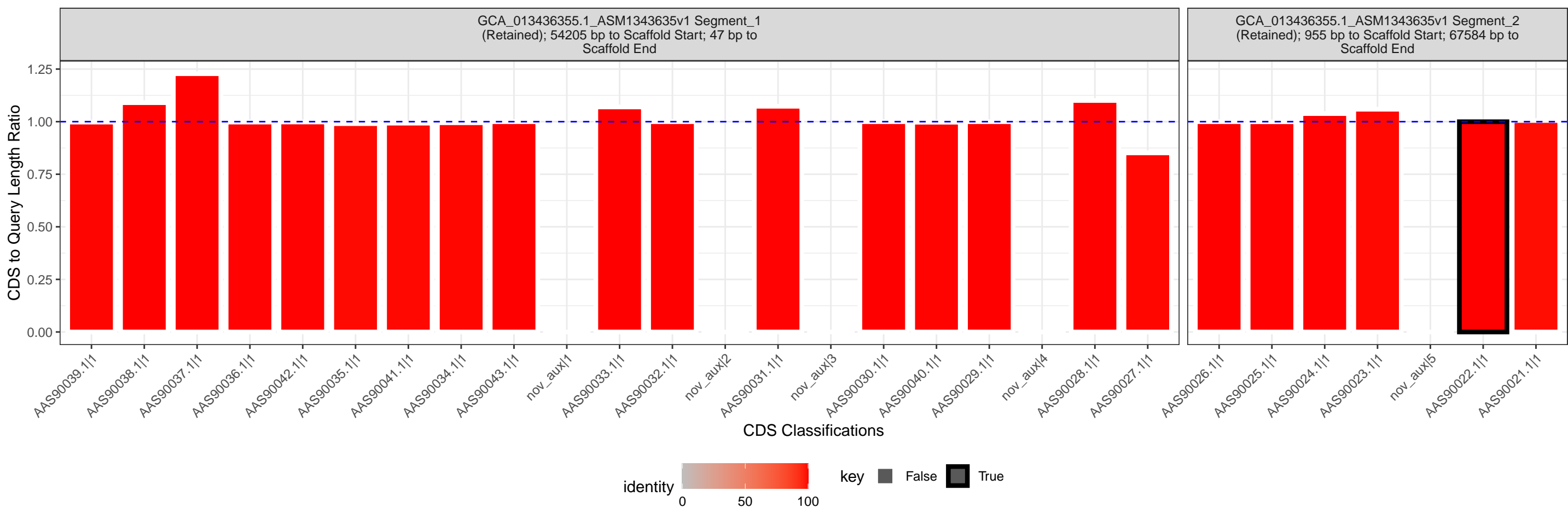
CDS to Query Length Ratio

1.25
1.00
0.75
0.50
0.25
0.00

AAS90021.1|1 AAS90022.1|1 nov_aux|1 AAS90023.1|1 AAS90024.1|1 AAS90025.1|1 AAS90026.1|1 AAS90027.1|1 AAS90028.1|1 nov_aux|2 AAS90029.1|1 AAS90040.1|1 AAS90030.1|1 nov_aux|3 AAS90031.1|1 nov_aux|4 AAS90032.1|1 AAS90033.1|1 nov_aux|5 AAS90043.1|1 AAS90034.1|1 AAS90041.1|1 AAS90035.1|1 AAS90042.1|1 AAS90036.1|1 AAS90037.1|1 AAS90038.1|1 AAS90039.1|1

CDS Classifications





GCA_020091605.1_ASM2009160v1 Segment_1
(Retained); 1398833 bp to Scaffold Start; 68257
bp to Scaffold End

CDS to Query Length Ratio

1.25
1.00
0.75
0.50
0.25
0.00

AAS90039.1|1 AAS90038.1|1 AAS90037.1|1 AAS90036.1|1 AAS90042.1|1 AAS90035.1|1 AAS90041.1|1 AAS90034.1|1 AAS90043.1|1 nov_aux|1 AAS90033.1|1 AAS90032.1|1 nov_aux|2 AAS90031.1|1 nov_aux|3 AAS90030.1|1 AAS90040.1|1 AAS90029.1|1 nov_aux|4 AAS90028.1|1 AAS90027.1|1 AAS90026.1|1 AAS90025.1|1 AAS90024.1|1 AAS90023.1|1 nov_aux|5 AAS90022.1|1 AAS90021.1|1

CDS Classifications



GCA_024678785.1_ASM2467878v1 Segment_1
(Retained); 30901 bp to Scaffold Start; 21661 bp
to Scaffold End

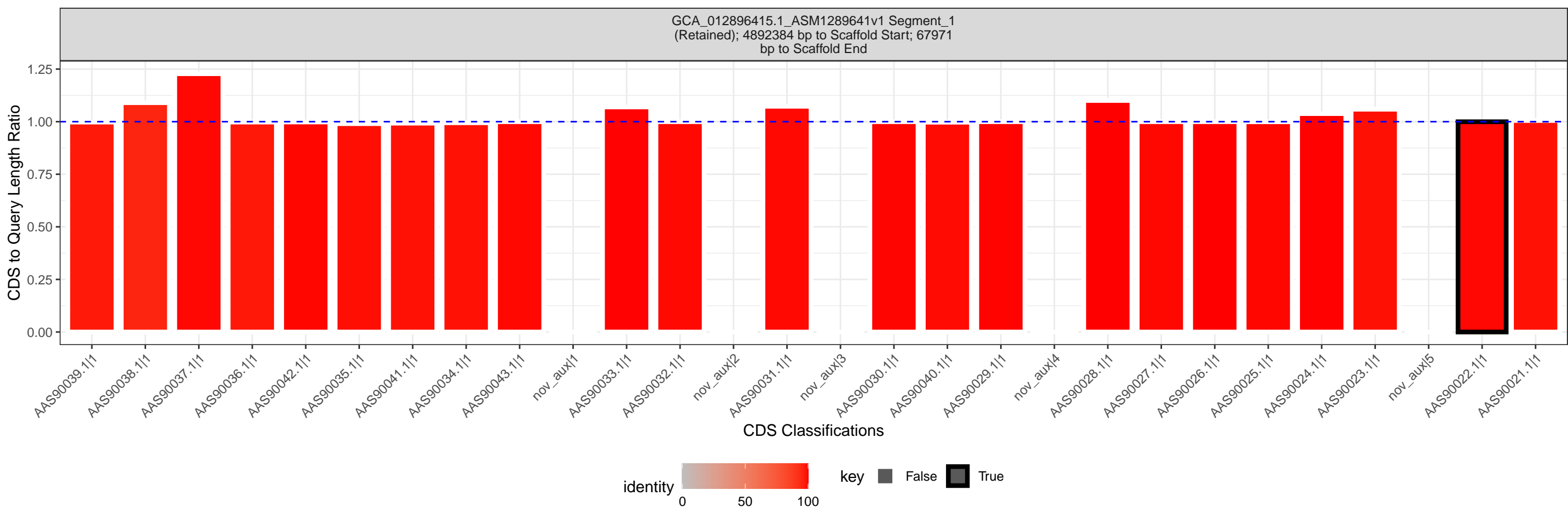
CDS to Query Length Ratio

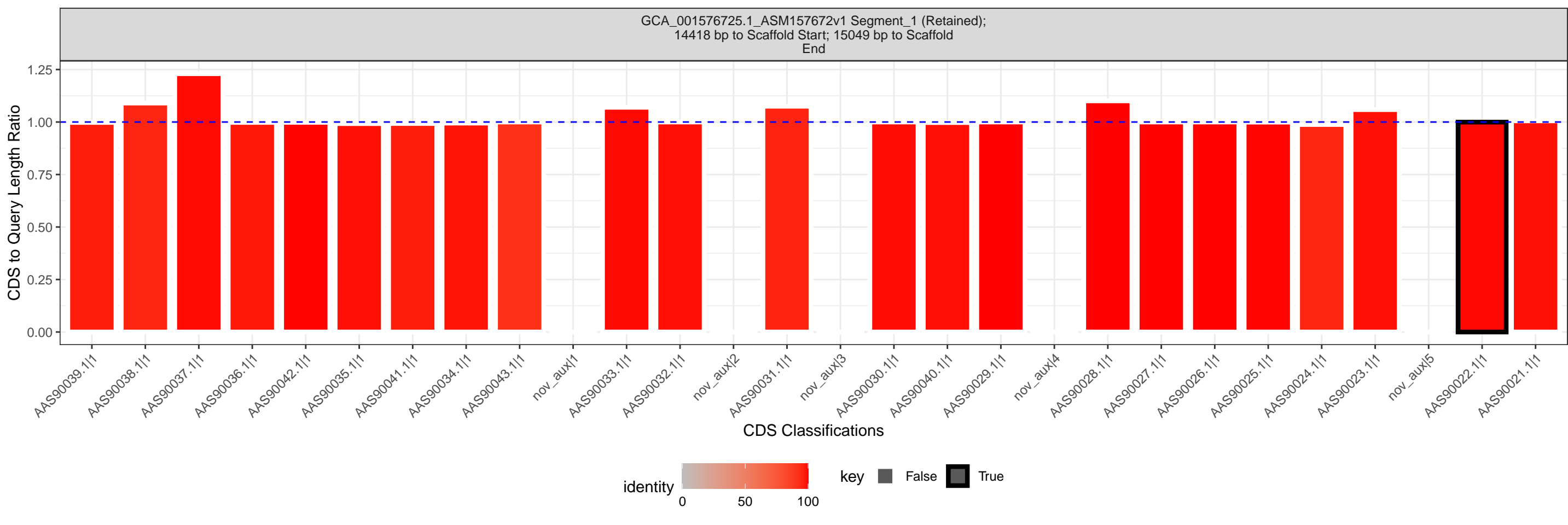
1.25
1.00
0.75
0.50
0.25
0.00

AAS90021.1|1 AAS90022.1|1 nov_aux|1 AAS90023.1|1 AAS90024.1|1 AAS90025.1|1 AAS90026.1|1 AAS90027.1|1 AAS90028.1|1 nov_aux|2 AAS90029.1|1 AAS90040.1|1 AAS90030.1|1 nov_aux|3 AAS90031.1|1 nov_aux|4 AAS90032.1|1 AAS90033.1|1 nov_aux|5 AAS90043.1|1 AAS90034.1|1 AAS90041.1|1 AAS90035.1|1 AAS90042.1|1 AAS90036.1|1 AAS90037.1|1 AAS90038.1|1 AAS90039.1|1

CDS Classifications







GCA_024667775.1_ASM2466777v1 Segment_1
(Retained); 191596 bp to Scaffold Start; 30910 bp
to Scaffold End

CDS to Query Length Ratio

1.25
1.00
0.75
0.50
0.25
0.00

AAS90039.1|1 AAS90038.1|1 AAS90037.1|1 AAS90036.1|1 AAS90042.1|1 AAS90035.1|1 AAS90041.1|1 AAS90034.1|1 AAS90043.1|1 nov_aux|1 AAS90033.1|1 AAS90032.1|1 nov_aux|2 AAS90031.1|1 nov_aux|3 AAS90030.1|1 AAS90040.1|1 AAS90029.1|1 nov_aux|4 AAS90028.1|1 AAS90027.1|1 AAS90026.1|1 AAS90025.1|1 AAS90024.1|1 AAS90023.1|1 nov_aux|5 AAS90022.1|1 AAS90021.1|1

CDS Classifications



GCA_012897275.1_ASM1289727v1 Segment_1
(Retained); 4801786 bp to Scaffold Start; 92580
bp to Scaffold End

CDS to Query Length Ratio

1.25
1.00
0.75
0.50
0.25
0.00

AAS90039.1|1 AAS90038.1|1 AAS90037.1|1 AAS90036.1|1 AAS90042.1|1 AAS90035.1|1 AAS90041.1|1 AAS90034.1|1 AAS90043.1|1 nov_aux|1 AAS90033.1|1 AAS90032.1|1 nov_aux|2 AAS90031.1|1 nov_aux|3 AAS90030.1|1 AAS90040.1|1 AAS90029.1|1 nov_aux|4 AAS90028.1|1 AAS90027.1|1 AAS90026.1|1 AAS90025.1|1 AAS90024.1|1 AAS90023.1|1 nov_aux|5 AAS90022.1|1 AAS90021.1|1

CDS Classifications



GCA_024678505.1_ASM2467850v1 Segment_1
(Retained); 57101 bp to Scaffold Start; 30281 bp
to Scaffold End

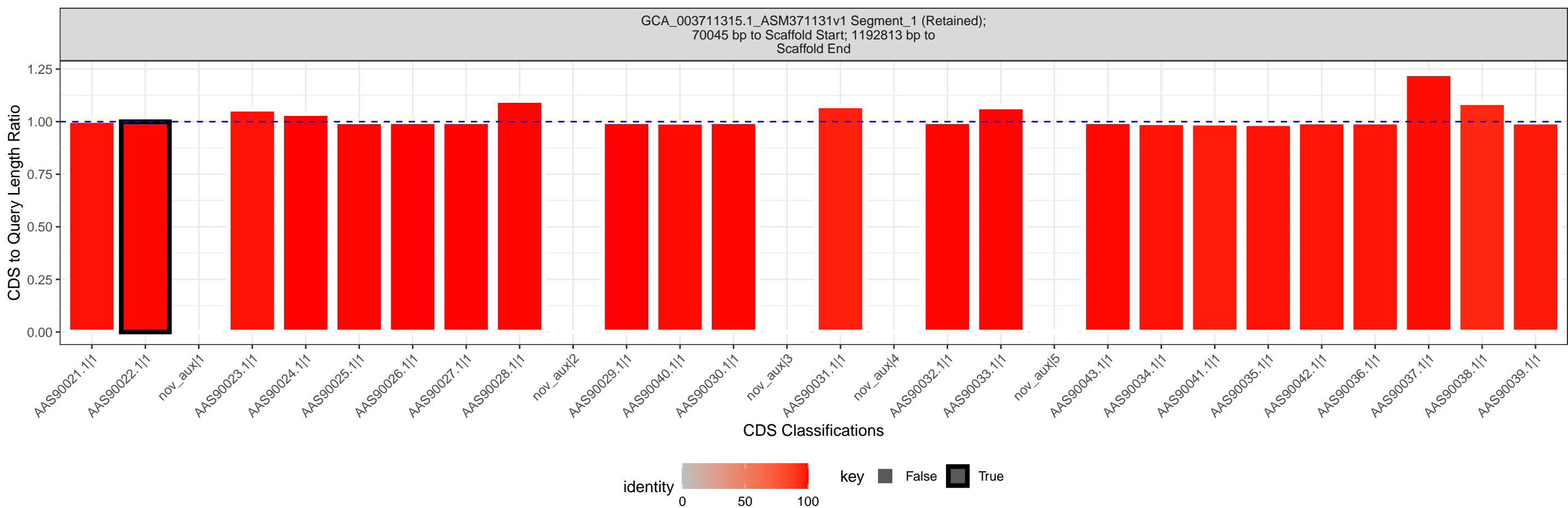
CDS to Query Length Ratio

1.25
1.00
0.75
0.50
0.25
0.00

AAS90039.1|1 AAS90038.1|1 AAS90037.1|1 AAS90036.1|1 AAS90042.1|1 AAS90035.1|1 AAS90041.1|1 AAS90034.1|1 AAS90043.1|1 nov_aux|1 AAS90033.1|1 AAS90032.1|1 nov_aux|2 AAS90031.1|1 nov_aux|3 AAS90030.1|1 AAS90040.1|1 AAS90029.1|1 nov_aux|4 AAS90028.1|1 AAS90027.1|1 AAS90026.1|1 AAS90025.1|1 AAS90024.1|1 AAS90023.1|1 nov_aux|5 AAS90022.1|1 AAS90021.1|1

CDS Classifications





GCA_026743845.1_ASM2674384v1 Segment_1
(Retained); 21643 bp to Scaffold Start; 30869 bp
to Scaffold End

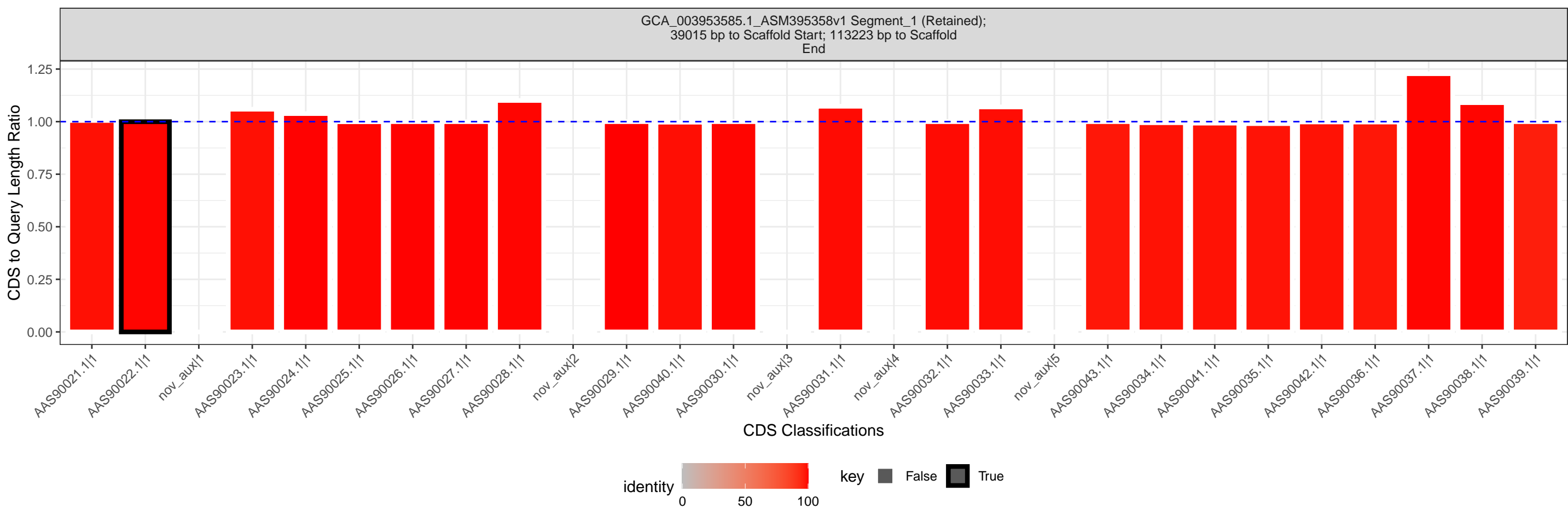
CDS to Query Length Ratio

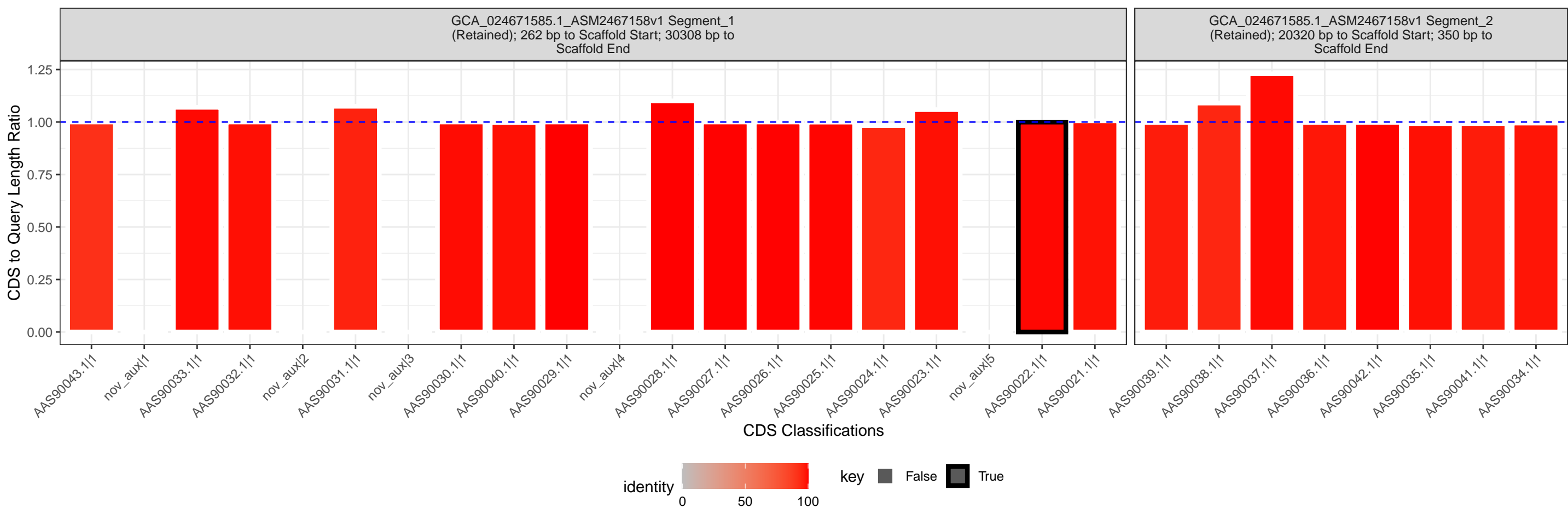
1.25
1.00
0.75
0.50
0.25
0.00

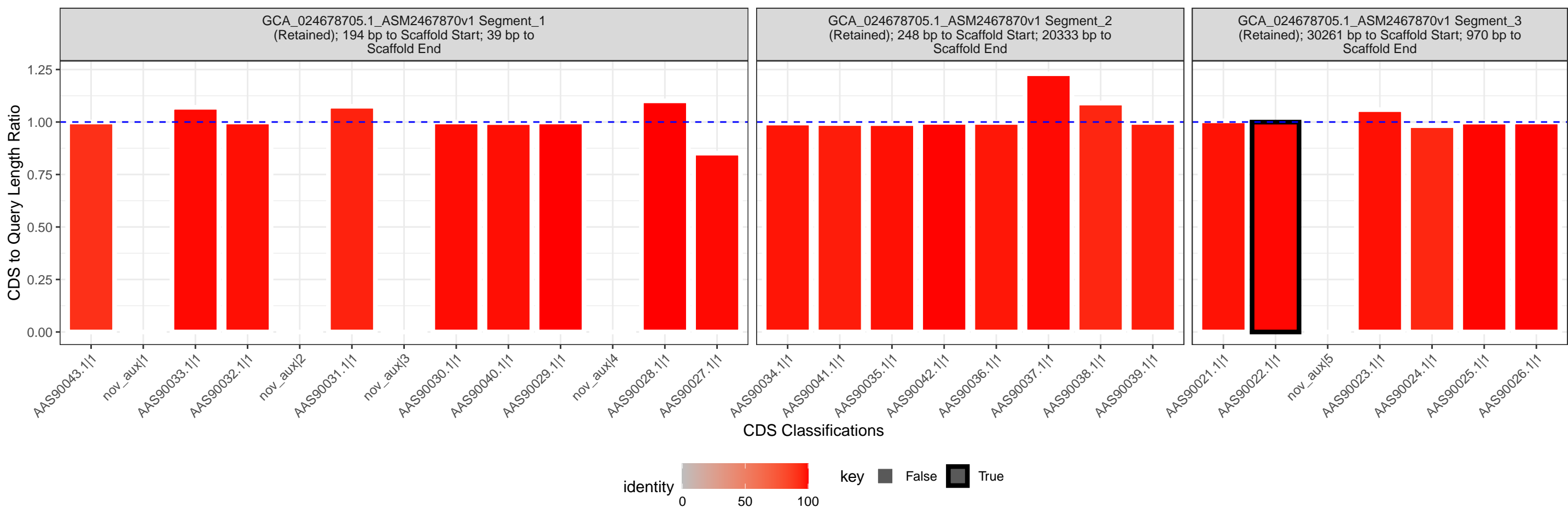
AAS90039.1|1 AAS90038.1|1 AAS90037.1|1 AAS90036.1|1 AAS90042.1|1 AAS90035.1|1 AAS90041.1|1 AAS90034.1|1 AAS90043.1|1 nov_aux|1 AAS90033.1|1 AAS90032.1|1 nov_aux|2 AAS90031.1|1 nov_aux|3 AAS90030.1|1 AAS90040.1|1 AAS90029.1|1 nov_aux|4 AAS90028.1|1 AAS90027.1|1 AAS90026.1|1 AAS90025.1|1 AAS90024.1|1 AAS90023.1|1 nov_aux|5 AAS90022.1|1 AAS90021.1|1

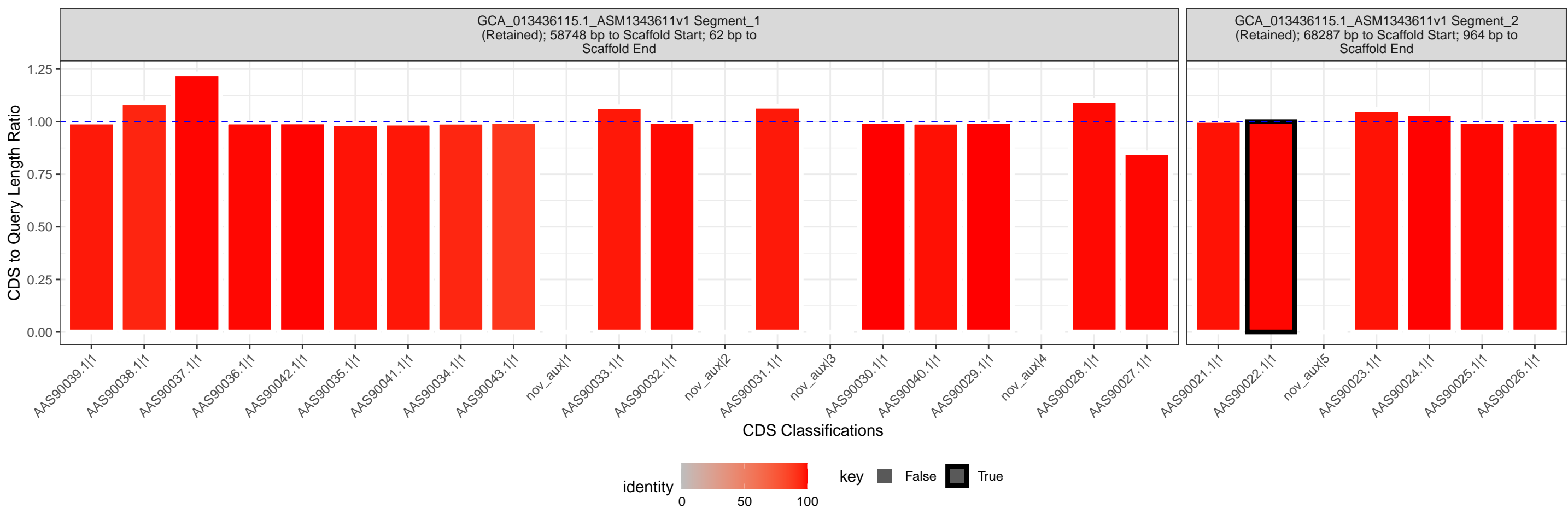
CDS Classifications











GCA_024674685.1_ASM2467468v1 Segment_1
(Retained); 24390 bp to Scaffold Start; 30900 bp
to Scaffold End

CDS to Query Length Ratio

1.25
1.00
0.75
0.50
0.25
0.00

AAS90039.1|1 AAS90038.1|1 AAS90037.1|1 AAS90036.1|1 AAS90042.1|1 AAS90035.1|1 AAS90041.1|1 AAS90034.1|1 AAS90043.1|1 nov_aux|1 AAS90033.1|1 AAS90032.1|1 nov_aux|2 AAS90031.1|1 nov_aux|3 AAS90030.1|1 AAS90040.1|1 AAS90029.1|1 nov_aux|4 AAS90028.1|1 AAS90027.1|1 AAS90026.1|1 AAS90025.1|1 AAS90024.1|1 AAS90023.1|1 nov_aux|5 AAS90022.1|1 AAS90021.1|1

CDS Classifications



GCA_024672055.1_ASM2467205v1 Segment_1
(Retained); 57091 bp to Scaffold Start; 30329 bp
to Scaffold End

CDS to Query Length Ratio

1.25
1.00
0.75
0.50
0.25
0.00

AAS90039.1|1 AAS90038.1|1 AAS90037.1|1 AAS90036.1|1 AAS90042.1|1 AAS90035.1|1 AAS90041.1|1 AAS90034.1|1 AAS90043.1|1 nov_aux|1 AAS90033.1|1 AAS90032.1|1 nov_aux|2 AAS90031.1|1 nov_aux|3 AAS90030.1|1 AAS90040.1|1 AAS90029.1|1 nov_aux|4 AAS90028.1|1 AAS90027.1|1 AAS90026.1|1 AAS90025.1|1 AAS90024.1|1 AAS90023.1|1 nov_aux|5 AAS90022.1|1 AAS90021.1|1

CDS Classifications



GCA_024678645.1_ASM2467864v1 Segment_1
(Retained); 39042 bp to Scaffold Start; 24179 bp
to Scaffold End

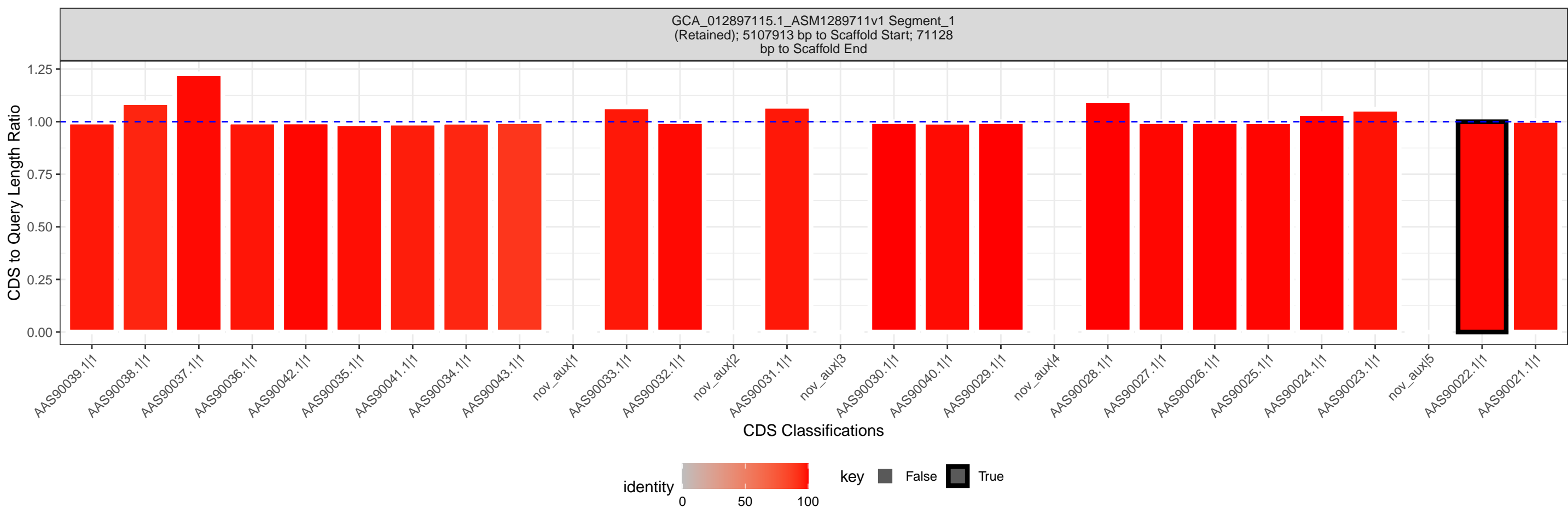
CDS to Query Length Ratio

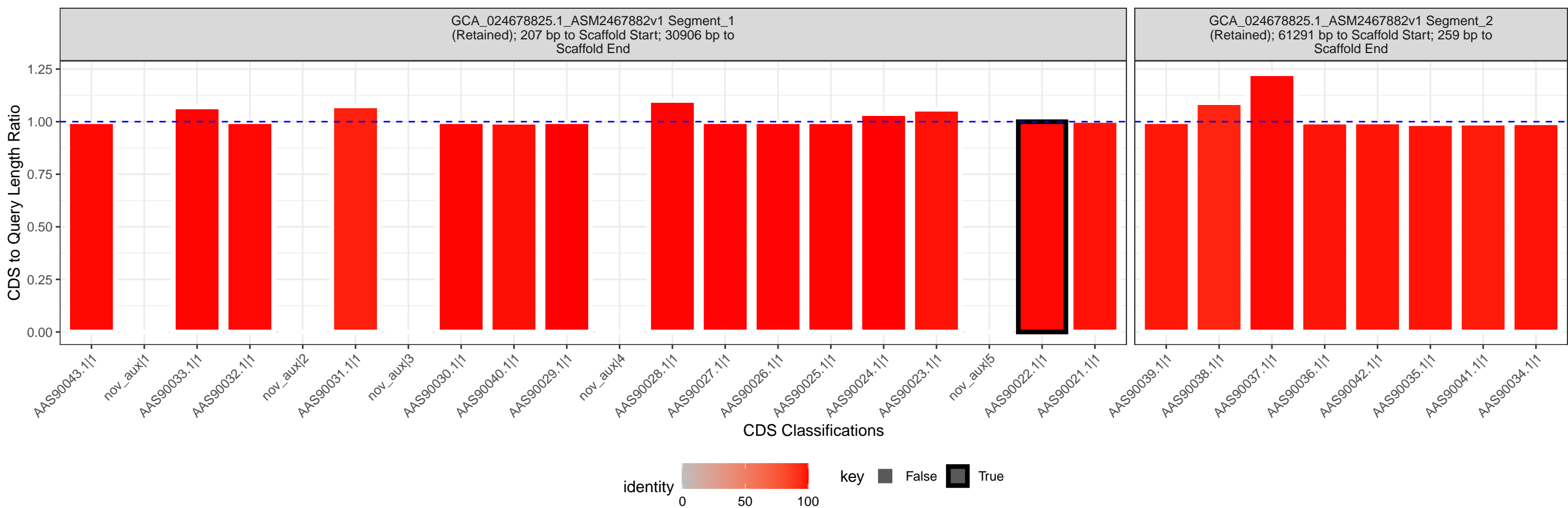
1.25
1.00
0.75
0.50
0.25
0.00

AAS90021.1|1 AAS90022.1|1 nov_aux|1 AAS90023.1|1 AAS90024.1|1 AAS90025.1|1 AAS90026.1|1 AAS90027.1|1 AAS90028.1|1 nov_aux|2 AAS90029.1|1 AAS90040.1|1 AAS90030.1|1 nov_aux|3 AAS90031.1|1 nov_aux|4 AAS90032.1|1 AAS90033.1|1 nov_aux|5 AAS90043.1|1 AAS90034.1|1 AAS90041.1|1 AAS90035.1|1 AAS90042.1|1 AAS90036.1|1 AAS90037.1|1 AAS90038.1|1 AAS90039.1|1

CDS Classifications







GCA_013435725.1_ASM1343572v1 Segment_1
(Retained); 56902 bp to Scaffold Start; 67824 bp
to Scaffold End

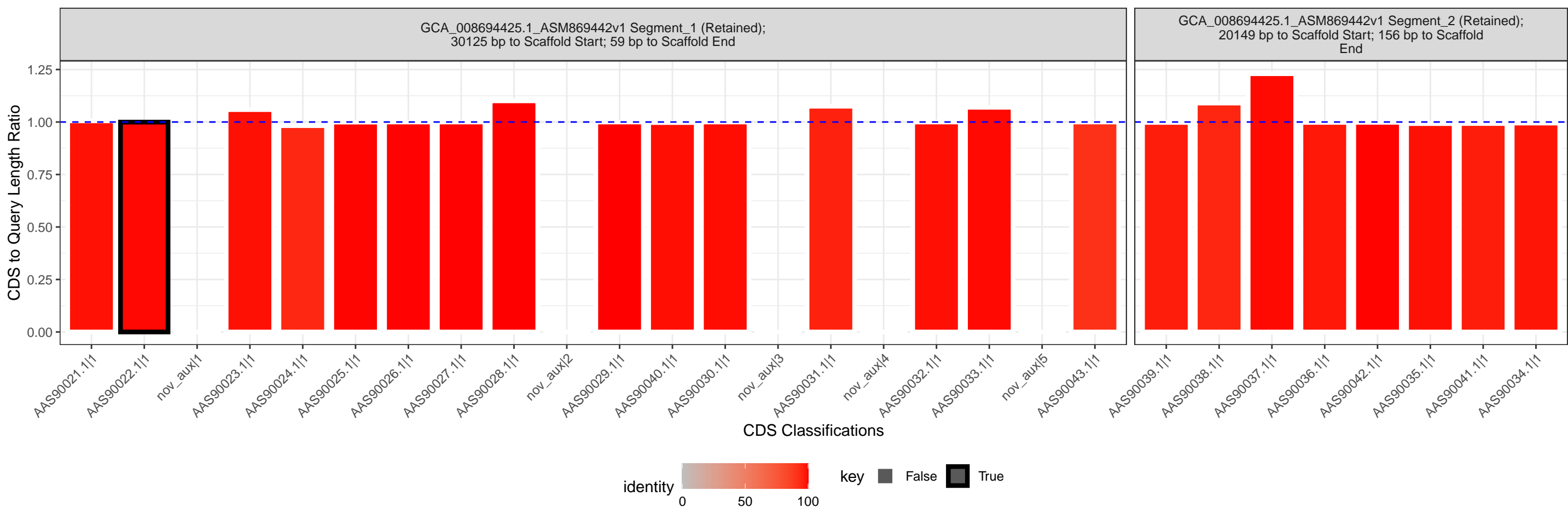
CDS to Query Length Ratio

1.25
1.00
0.75
0.50
0.25
0.00

AAS90039.1|1 AAS90038.1|1 AAS90037.1|1 AAS90036.1|1 AAS90042.1|1 AAS90035.1|1 AAS90041.1|1 AAS90034.1|1 AAS90043.1|1 nov_aux|1 AAS90033.1|1 AAS90032.1|1 nov_aux|2 AAS90031.1|1 nov_aux|3 AAS90030.1|1 AAS90040.1|1 AAS90029.1|1 nov_aux|4 AAS90028.1|1 AAS90027.1|1 AAS90026.1|1 AAS90025.1|1 AAS90024.1|1 AAS90023.1|1 nov_aux|5 AAS90022.1|1 AAS90021.1|1

CDS Classifications





GCA_024676985.1_ASM2467698v1 Segment_1
(Retained); 78249 bp to Scaffold Start; 30906 bp
to Scaffold End

CDS to Query Length Ratio

1.25
1.00
0.75
0.50
0.25
0.00

AAS90039.1|1 AAS90038.1|1 AAS90037.1|1 AAS90036.1|1 AAS90042.1|1 AAS90035.1|1 AAS90041.1|1 AAS90034.1|1 AAS90043.1|1 nov_aux|1 AAS90033.1|1 AAS90032.1|1 nov_aux|2 AAS90031.1|1 nov_aux|3 AAS90030.1|1 AAS90040.1|1 AAS90029.1|1 nov_aux|4 AAS90028.1|1 AAS90027.1|1 AAS90026.1|1 AAS90025.1|1 AAS90024.1|1 AAS90023.1|1 nov_aux|5 AAS90022.1|1 AAS90021.1|1

CDS Classifications



GCA_013146015.1_ASM1314601v1 Segment_1
(Retained); 1435222 bp to Scaffold Start; 53866
bp to Scaffold End

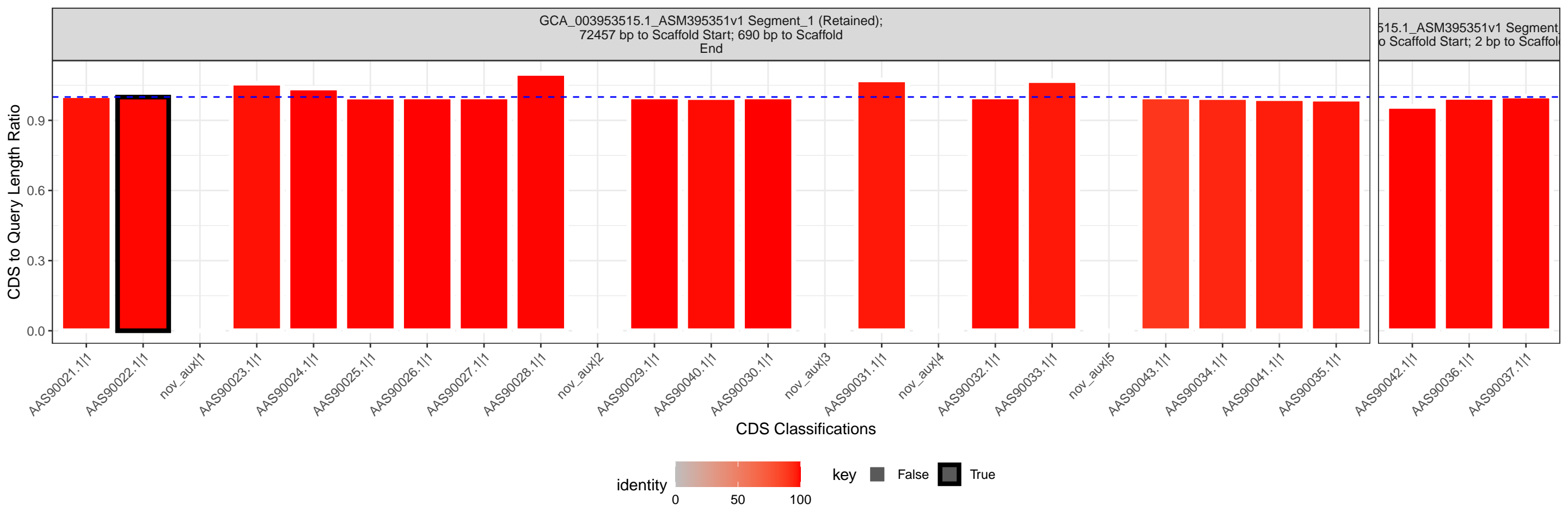
CDS to Query Length Ratio

1.25
1.00
0.75
0.50
0.25
0.00

AAS90039.1|1 AAS90038.1|1 AAS90037.1|1 AAS90036.1|1 AAS90042.1|1 AAS90035.1|1 AAS90041.1|1 AAS90034.1|1 AAS90043.1|1 nov_aux|1 AAS90033.1|1 AAS90032.1|1 nov_aux|2 AAS90031.1|1 nov_aux|3 AAS90030.1|1 AAS90040.1|1 AAS90029.1|1 nov_aux|4 AAS90028.1|1 AAS90027.1|1 AAS90026.1|1 AAS90025.1|1 AAS90024.1|1 AAS90023.1|1 nov_aux|5 AAS90022.1|1 AAS90021.1|1

CDS Classifications





GCA_011420405.1_ASM1142040v1 Segment_1
(Retained); 191467 bp to Scaffold Start; 69276 bp
to Scaffold End

CDS to Query Length Ratio

1.25
1.00
0.75
0.50
0.25
0.00

AAS90039.1|1 AAS90038.1|1 AAS90037.1|1 AAS90036.1|1 AAS90042.1|1 AAS90035.1|1 AAS90041.1|1 AAS90034.1|1 AAS90043.1|1 nov_aux|1 AAS90033.1|1 AAS90032.1|1 nov_aux|2 AAS90031.1|1 nov_aux|3 AAS90030.1|1 AAS90040.1|1 AAS90029.1|1 nov_aux|4 AAS90028.1|1 AAS90027.1|1 AAS90026.1|1 AAS90025.1|1 AAS90024.1|1 AAS90023.1|1 nov_aux|5 AAS90022.1|1 AAS90021.1|1

CDS Classifications



GCA_025769605.1_ASM2576960v1 Segment_1
(Retained); 113304 bp to Scaffold Start; 38341 bp
to Scaffold End

CDS to Query Length Ratio

1.25
1.00
0.75
0.50
0.25
0.00

AAS90039.1|1 AAS90038.1|1 AAS90037.1|1 AAS90036.1|1 AAS90042.1|1 AAS90035.1|1 AAS90041.1|1 AAS90034.1|1 AAS90043.1|1 nov_aux|1 AAS90033.1|1 AAS90032.1|1 nov_aux|2 AAS90031.1|1 nov_aux|3 AAS90030.1|1 AAS90040.1|1 AAS90029.1|1 nov_aux|4 AAS90028.1|1 AAS90027.1|1 AAS90026.1|1 AAS90025.1|1 AAS90024.1|1 AAS90023.1|1 nov_aux|5 AAS90022.1|1 AAS90021.1|1

CDS Classifications



GCA_024670455.1_ASM2467045v1 Segment_1
(Retained); 39039 bp to Scaffold Start; 24173 bp
to Scaffold End

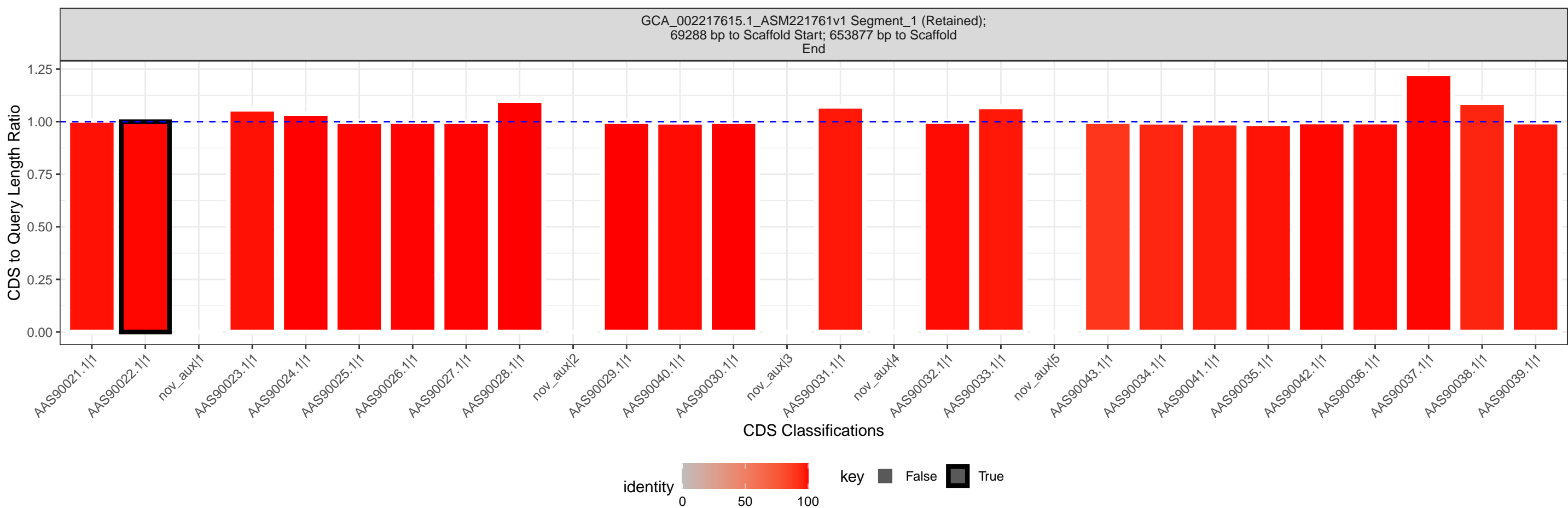
CDS to Query Length Ratio

1.25
1.00
0.75
0.50
0.25
0.00

AAS90021.1|1 AAS90022.1|1 nov_aux|1 AAS90023.1|1 AAS90024.1|1 AAS90025.1|1 AAS90026.1|1 AAS90027.1|1 AAS90028.1|1 nov_aux|2 AAS90029.1|1 AAS90040.1|1 AAS90030.1|1 nov_aux|3 AAS90031.1|1 nov_aux|4 AAS90032.1|1 AAS90033.1|1 nov_aux|5 AAS90043.1|1 AAS90034.1|1 AAS90041.1|1 AAS90035.1|1 AAS90042.1|1 AAS90036.1|1 AAS90037.1|1 AAS90038.1|1 AAS90039.1|1

CDS Classifications





GCA_024673995.1_ASM2467399v1 Segment_1
(Retained); 156194 bp to Scaffold Start; 38402 bp
to Scaffold End

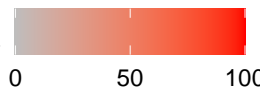
CDS to Query Length Ratio

1.25
1.00
0.75
0.50
0.25
0.00

AAS90039.1|1 AAS90038.1|1 AAS90037.1|1 AAS90036.1|1 AAS90042.1|1 AAS90035.1|1 AAS90041.1|1 AAS90034.1|1 AAS90043.1|1 nov_aux|1 AAS90033.1|1 AAS90032.1|1 nov_aux|2 AAS90031.1|1 nov_aux|3 AAS90030.1|1 AAS90040.1|1 AAS90029.1|1 nov_aux|4 AAS90028.1|1 AAS90027.1|1 AAS90026.1|1 AAS90025.1|1 AAS90024.1|1 AAS90023.1|1 nov_aux|5 AAS90022.1|1 AAS90021.1|1

CDS Classifications

identity



key

False

True



GCA_024678325.1_ASM2467832v1 Segment_1
(Retained); 30900 bp to Scaffold Start; 21652 bp
to Scaffold End

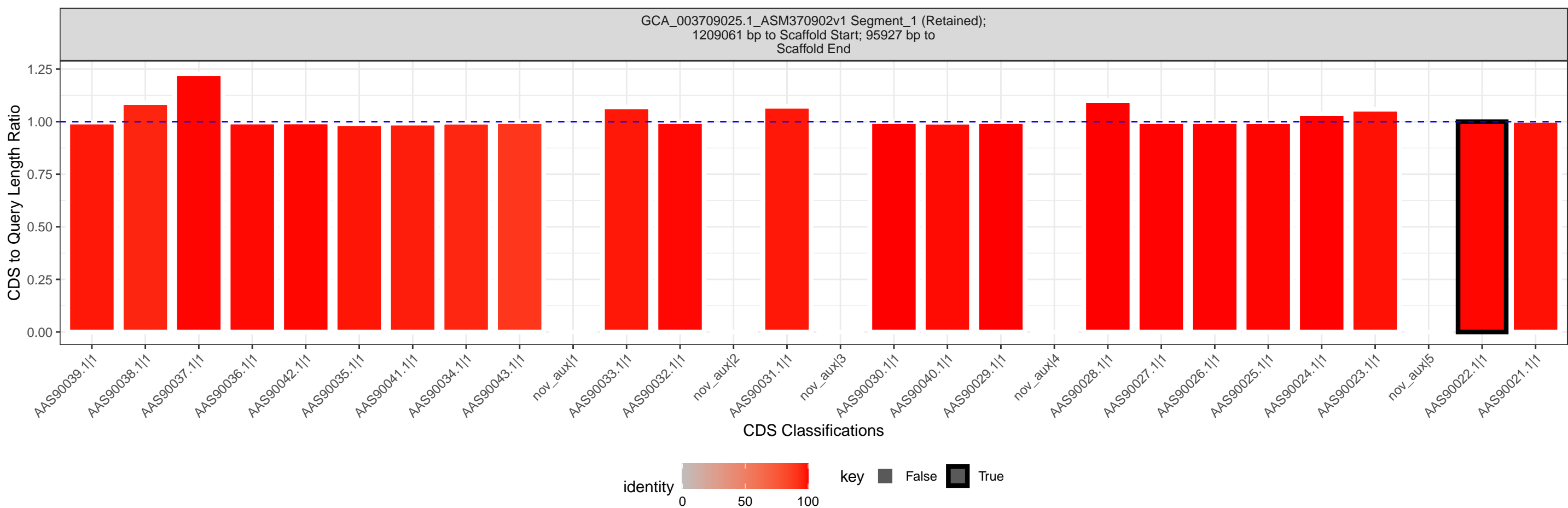
CDS to Query Length Ratio

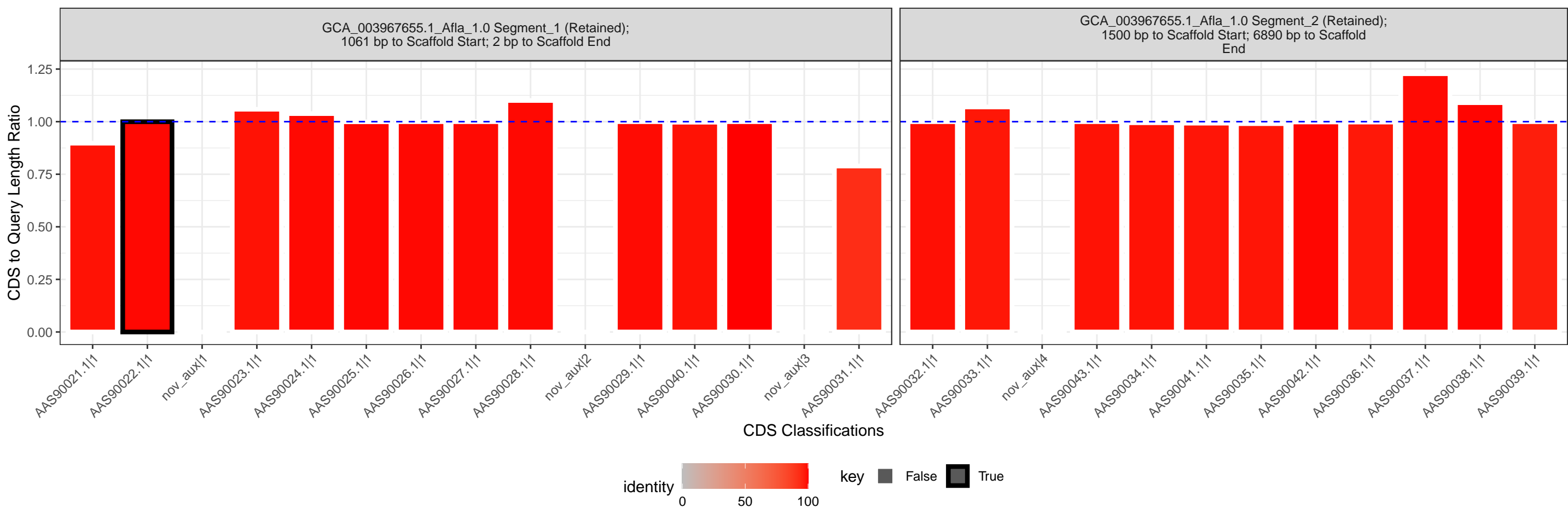
1.25
1.00
0.75
0.50
0.25
0.00

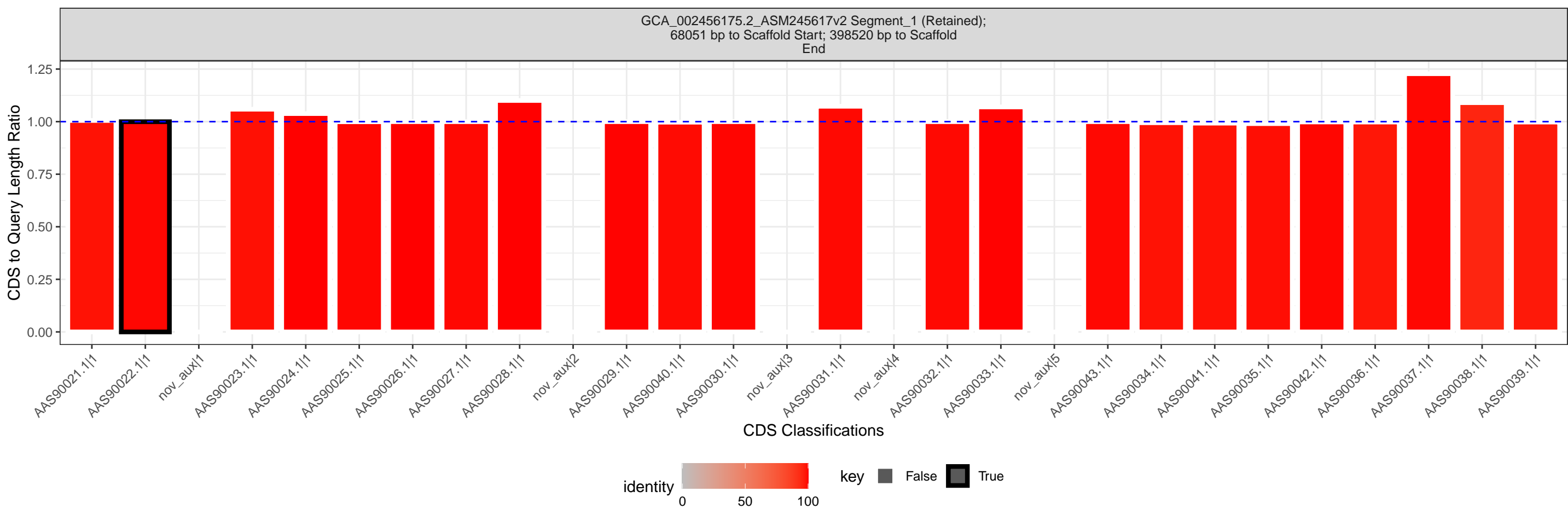
AAS90021.1|1 AAS90022.1|1 nov_aux|1 AAS90023.1|1 AAS90024.1|1 AAS90025.1|1 AAS90026.1|1 AAS90027.1|1 AAS90028.1|1 nov_aux|2 AAS90029.1|1 AAS90040.1|1 AAS90030.1|1 nov_aux|3 AAS90031.1|1 nov_aux|4 AAS90032.1|1 AAS90033.1|1 nov_aux|5 AAS90043.1|1 AAS90034.1|1 AAS90041.1|1 AAS90035.1|1 AAS90042.1|1 AAS90036.1|1 AAS90037.1|1 AAS90038.1|1 AAS90039.1|1

CDS Classifications









GCA_024678885.1_ASM2467888v1 Segment_1
(Retained); 39042 bp to Scaffold Start; 24184 bp
to Scaffold End

CDS to Query Length Ratio

1.25
1.00
0.75
0.50
0.25
0.00

AAS90021.1|1 AAS90022.1|1 nov_aux|1 AAS90023.1|1 AAS90024.1|1 AAS90025.1|1 AAS90026.1|1 AAS90027.1|1 AAS90028.1|1 nov_aux|2 AAS90029.1|1 AAS90040.1|1 AAS90030.1|1 nov_aux|3 AAS90031.1|1 nov_aux|4 AAS90032.1|1 AAS90033.1|1 nov_aux|5 AAS90043.1|1 AAS90034.1|1 AAS90041.1|1 AAS90035.1|1 AAS90042.1|1 AAS90036.1|1 AAS90037.1|1 AAS90038.1|1 AAS90039.1|1

CDS Classifications



GCA_013145855.1_ASM1314585v1 Segment_1
(Retained); 598497 bp to Scaffold Start; 48085 bp
to Scaffold End

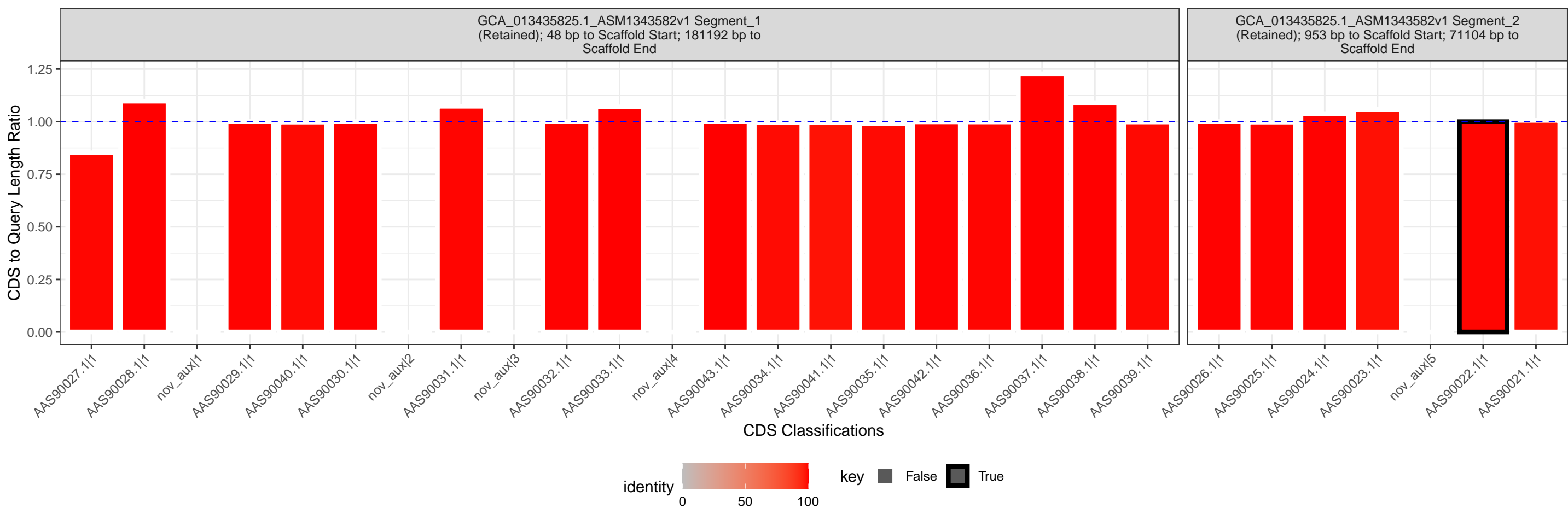
CDS to Query Length Ratio

1.25
1.00
0.75
0.50
0.25
0.00

AAS90039.1|1 AAS90038.1|1 AAS90037.1|1 AAS90036.1|1 AAS90042.1|1 AAS90035.1|1 AAS90041.1|1 AAS90034.1|1 AAS90043.1|1 nov_aux|1 AAS90033.1|1 AAS90032.1|1 nov_aux|2 AAS90031.1|1 nov_aux|3 AAS90030.1|1 AAS90040.1|1 AAS90029.1|1 nov_aux|4 AAS90028.1|1 AAS90027.1|1 AAS90026.1|1 AAS90025.1|1 AAS90024.1|1 AAS90023.1|1 nov_aux|5 AAS90022.1|1 AAS90021.1|1

CDS Classifications





GCA_024668885.1_ASM2466888v1 Segment_1
(Retained); 39053 bp to Scaffold Start; 156089 bp
to Scaffold End

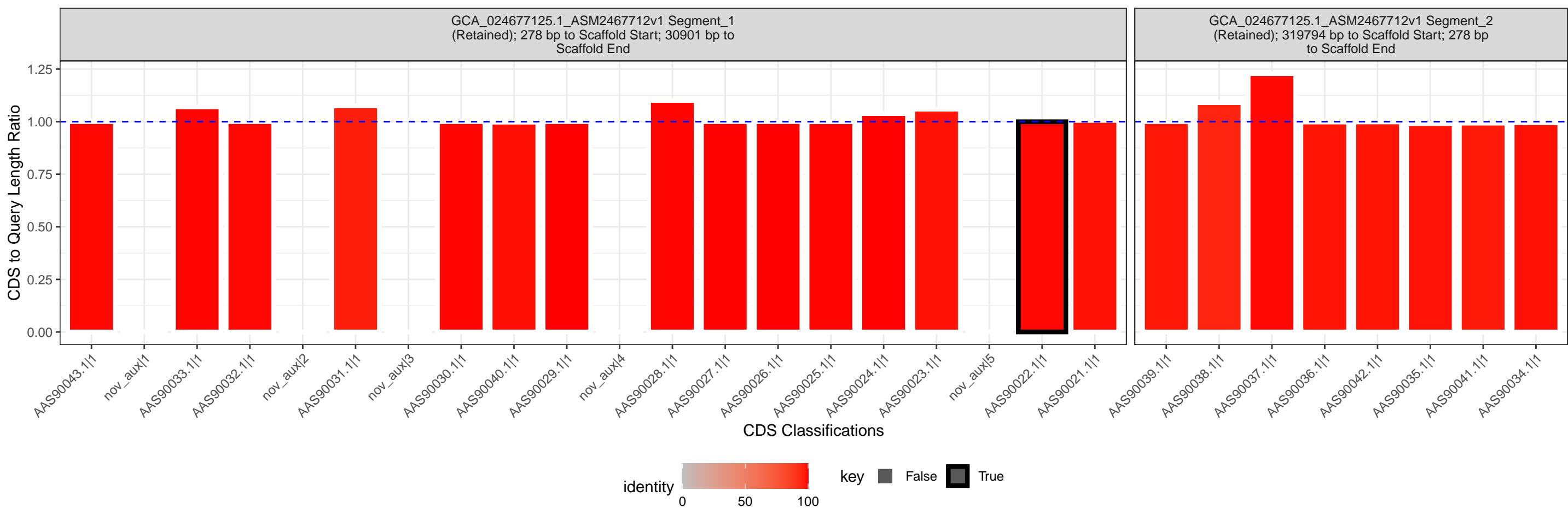
CDS to Query Length Ratio

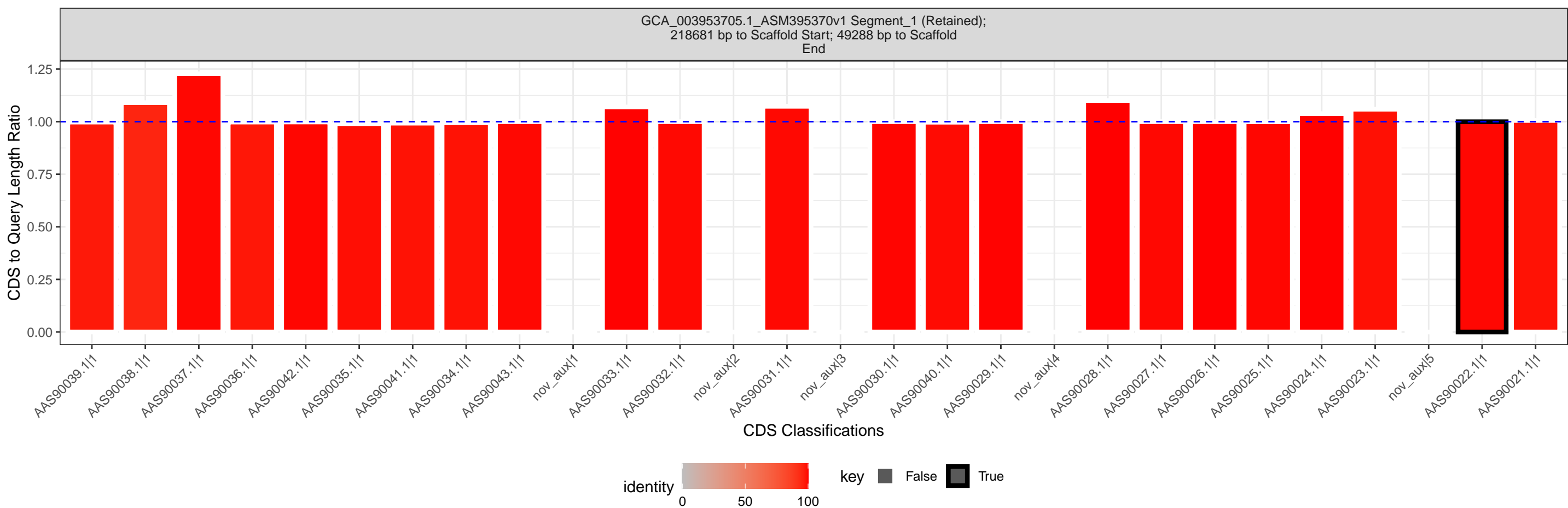
1.25
1.00
0.75
0.50
0.25
0.00

AAS90021.1|1 AAS90022.1|1 nov_aux|1 AAS90023.1|1 AAS90024.1|1 AAS90025.1|1 AAS90026.1|1 AAS90027.1|1 AAS90028.1|1 nov_aux|2 AAS90029.1|1 AAS90040.1|1 AAS90030.1|1 nov_aux|3 AAS90031.1|1 nov_aux|4 AAS90032.1|1 AAS90033.1|1 nov_aux|5 AAS90043.1|1 AAS90034.1|1 AAS90041.1|1 AAS90035.1|1 AAS90042.1|1 AAS90036.1|1 AAS90037.1|1 AAS90038.1|1 AAS90039.1|1

CDS Classifications







GCA_024678765.1_ASM2467876v1 Segment_1
(Retained); 21650 bp to Scaffold Start; 30931 bp
to Scaffold End

CDS to Query Length Ratio

1.25
1.00
0.75
0.50
0.25
0.00

AAS90039.1|1 AAS90038.1|1 AAS90037.1|1 AAS90036.1|1 AAS90042.1|1 AAS90035.1|1 AAS90041.1|1 AAS90034.1|1 AAS90043.1|1 nov_aux|1 AAS90033.1|1 AAS90032.1|1 nov_aux|2 AAS90031.1|1 nov_aux|3 AAS90030.1|1 AAS90040.1|1 AAS90029.1|1 nov_aux|4 AAS90028.1|1 AAS90027.1|1 AAS90026.1|1 AAS90025.1|1 AAS90024.1|1 AAS90023.1|1 nov_aux|5 AAS90022.1|1 AAS90021.1|1

CDS Classifications



GCA_024678465.1_ASM2467846v1 Segment_1
(Retained); 39040 bp to Scaffold Start; 24221 bp
to Scaffold End

CDS to Query Length Ratio

1.25
1.00
0.75
0.50
0.25
0.00

AAS90021.1|1 AAS90022.1|1 nov_aux|1 AAS90023.1|1 AAS90024.1|1 AAS90025.1|1 AAS90026.1|1 AAS90027.1|1 AAS90028.1|1 nov_aux|2 AAS90029.1|1 AAS90040.1|1 AAS90030.1|1 nov_aux|3 AAS90031.1|1 nov_aux|4 AAS90032.1|1 AAS90033.1|1 nov_aux|5 AAS90043.1|1 AAS90034.1|1 AAS90041.1|1 AAS90035.1|1 AAS90042.1|1 AAS90036.1|1 AAS90037.1|1 AAS90038.1|1 AAS90039.1|1

CDS Classifications



GCA_011420435.1_ASM1142043v1 Segment_1
(Retained); 47002 bp to Scaffold Start; 143847 bp
to Scaffold End

CDS to Query Length Ratio

1.25
1.00
0.75
0.50
0.25
0.00

AAS90021.1|1 AAS90022.1|1 AAS90023.1|1 AAS90024.1|1 AAS90025.1|1 AAS90026.1|1 AAS90027.1|1 AAS90028.1|1 AAS90029.1|1 AAS90040.1|1 AAS90030.1|1 nov_aux|1 AAS90031.1|1 nov_aux|2 AAS90032.1|1 AAS90033.1|1 nov_aux|3 AAS90043.1|1 AAS90034.1|1 AAS90041.1|1 AAS90035.1|1 AAS90042.1|1 AAS90036.1|1 AAS90037.1|1 AAS90038.1|1 AAS90039.1|1

CDS Classifications



GCA_024675385.1_ASM2467538v1 Segment_1
(Retained); 30901 bp to Scaffold Start; 61489 bp
to Scaffold End

CDS to Query Length Ratio

1.25
1.00
0.75
0.50
0.25
0.00

AAS90021.1|1 AAS90022.1|1 nov_aux|1 AAS90023.1|1 AAS90024.1|1 AAS90025.1|1 AAS90026.1|1 AAS90027.1|1 AAS90028.1|1 nov_aux|2 AAS90029.1|1 AAS90040.1|1 AAS90030.1|1 nov_aux|3 AAS90031.1|1 nov_aux|4 AAS90032.1|1 AAS90033.1|1 nov_aux|5 AAS90043.1|1 AAS90034.1|1 AAS90041.1|1 AAS90035.1|1 AAS90042.1|1 AAS90036.1|1 AAS90037.1|1 AAS90038.1|1 AAS90039.1|1

CDS Classifications



GCA_024675085.1_ASM2467508v1 Segment_1
(Retained); 30906 bp to Scaffold Start; 61658 bp
to Scaffold End

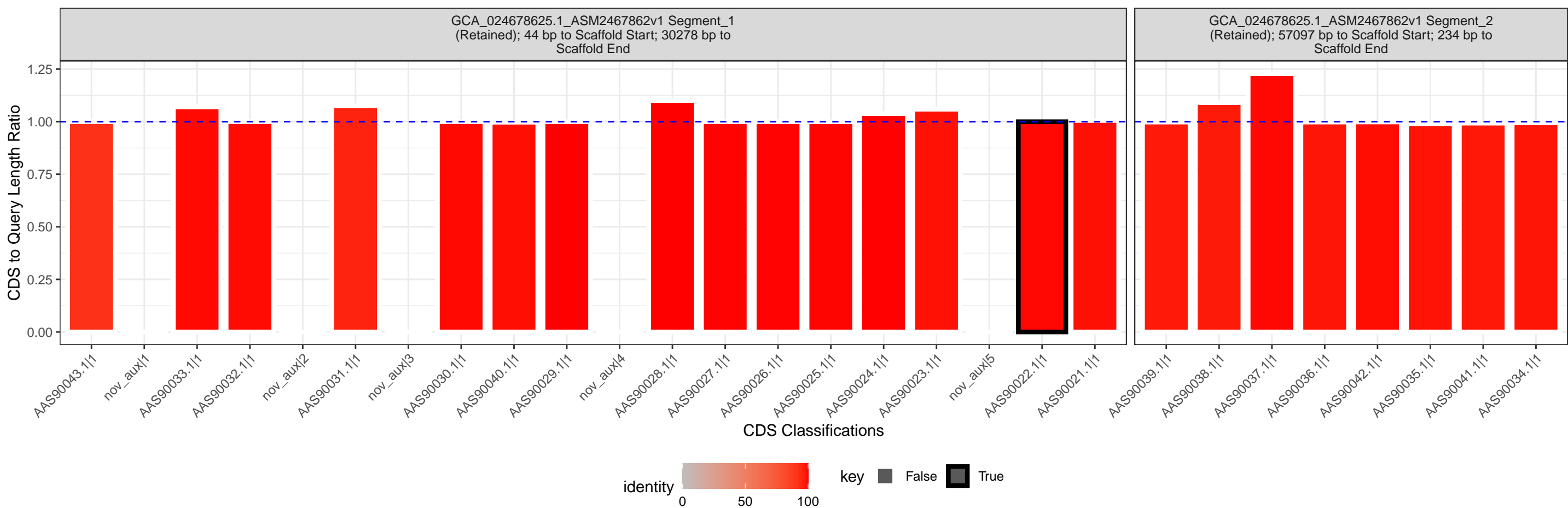
CDS to Query Length Ratio

1.25
1.00
0.75
0.50
0.25
0.00

AAS90021.1|1 AAS90022.1|1 nov_aux|1 AAS90023.1|1 AAS90024.1|1 AAS90025.1|1 AAS90026.1|1 AAS90027.1|1 AAS90028.1|1 nov_aux|2 AAS90029.1|1 AAS90040.1|1 AAS90030.1|1 nov_aux|3 AAS90031.1|1 nov_aux|4 AAS90032.1|1 AAS90033.1|1 nov_aux|5 AAS90043.1|1 AAS90034.1|1 AAS90041.1|1 AAS90035.1|1 AAS90042.1|1 AAS90036.1|1 AAS90037.1|1 AAS90038.1|1 AAS90039.1|1

CDS Classifications





GCA_012895975.1_ASM1289597v1 Segment_1
(Retained); 5242675 bp to Scaffold Start; 70080
bp to Scaffold End

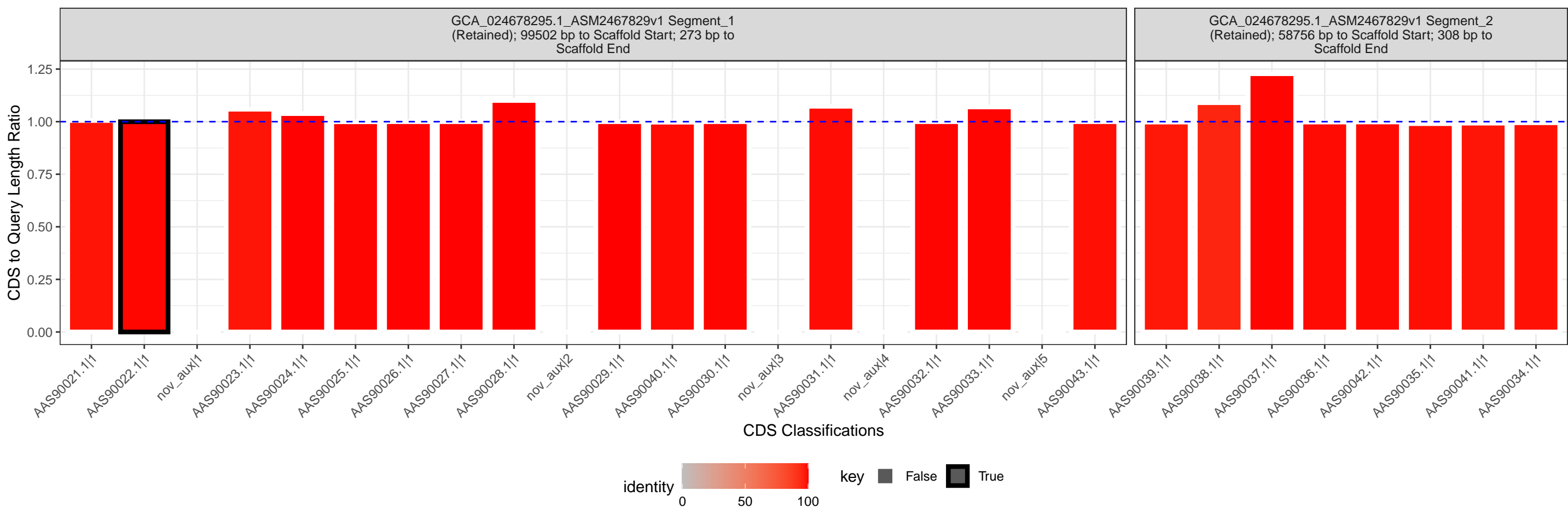
CDS to Query Length Ratio

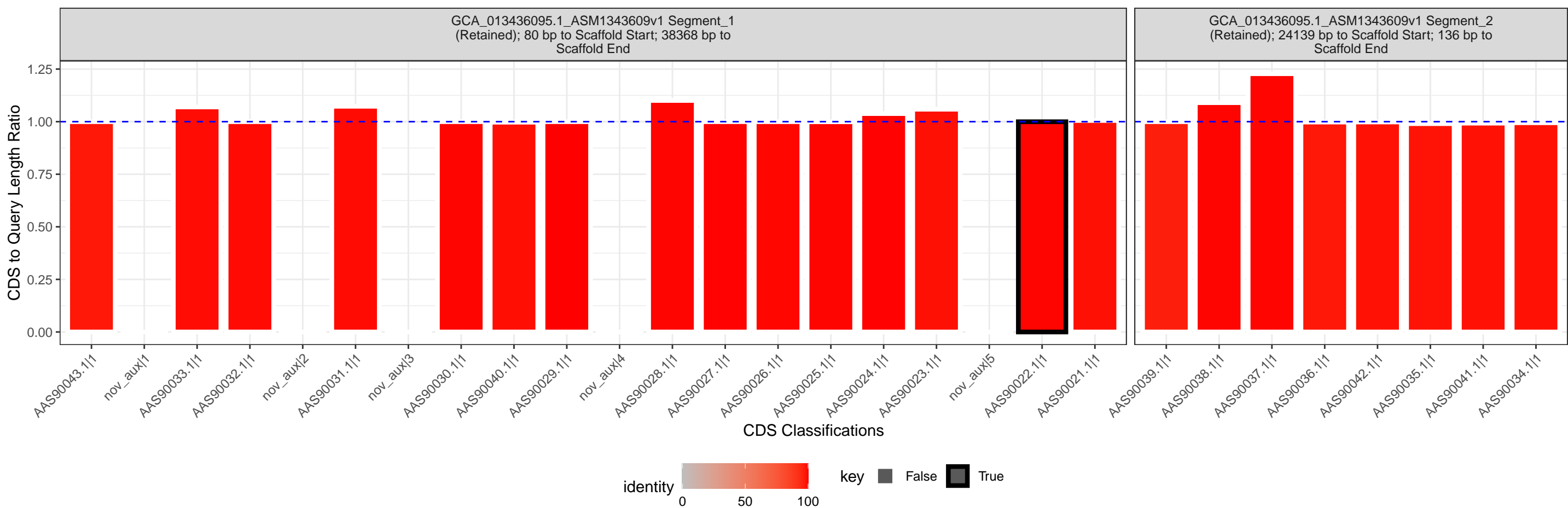
1.25
1.00
0.75
0.50
0.25
0.00

AAS90039.1|1 AAS90038.1|1 AAS90037.1|1 AAS90036.1|1 AAS90042.1|1 AAS90035.1|1 AAS90041.1|1 AAS90034.1|1 AAS90043.1|1 nov_aux|1 AAS90033.1|1 AAS90032.1|1 nov_aux|2 AAS90031.1|1 nov_aux|3 AAS90030.1|1 AAS90040.1|1 AAS90029.1|1 nov_aux|4 AAS90028.1|1 AAS90027.1|1 AAS90026.1|1 AAS90025.1|1 AAS90024.1|1 AAS90023.1|1 nov_aux|5 AAS90022.1|1 AAS90021.1|1

CDS Classifications







GCA_026743815.1_ASM2674381v1 Segment_1
(Retained); 57106 bp to Scaffold Start; 30290 bp
to Scaffold End

CDS to Query Length Ratio

1.25
1.00
0.75
0.50
0.25
0.00

AAS90039.1|1 AAS90038.1|1 AAS90037.1|1 AAS90036.1|1 AAS90042.1|1 AAS90035.1|1 AAS90041.1|1 AAS90034.1|1 AAS90043.1|1 nov_aux|1 AAS90033.1|1 AAS90032.1|1 nov_aux|2 AAS90031.1|1 nov_aux|3 AAS90030.1|1 AAS90040.1|1 AAS90029.1|1 nov_aux|4 AAS90028.1|1 AAS90027.1|1 AAS90026.1|1 AAS90025.1|1 AAS90024.1|1 AAS90023.1|1 nov_aux|5 AAS90022.1|1 AAS90021.1|1

CDS Classifications



GCA_024678945.1_ASM2467894v1 Segment_1
(Retained); 30931 bp to Scaffold Start; 61452 bp
to Scaffold End

CDS to Query Length Ratio

1.25
1.00
0.75
0.50
0.25
0.00

AAS90021.1|1 AAS90022.1|1 nov_aux|1 AAS90023.1|1 AAS90024.1|1 AAS90025.1|1 AAS90026.1|1 AAS90027.1|1 AAS90028.1|1 nov_aux|2 AAS90029.1|1 AAS90040.1|1 AAS90030.1|1 nov_aux|3 AAS90031.1|1 nov_aux|4 AAS90032.1|1 AAS90033.1|1 nov_aux|5 AAS90043.1|1 AAS90034.1|1 AAS90041.1|1 AAS90035.1|1 AAS90042.1|1 AAS90036.1|1 AAS90037.1|1 AAS90038.1|1 AAS90039.1|1

CDS Classifications



GCA_024677145.1_ASM2467714v1 Segment_1
(Retained); 24361 bp to Scaffold Start; 39054 bp
to Scaffold End

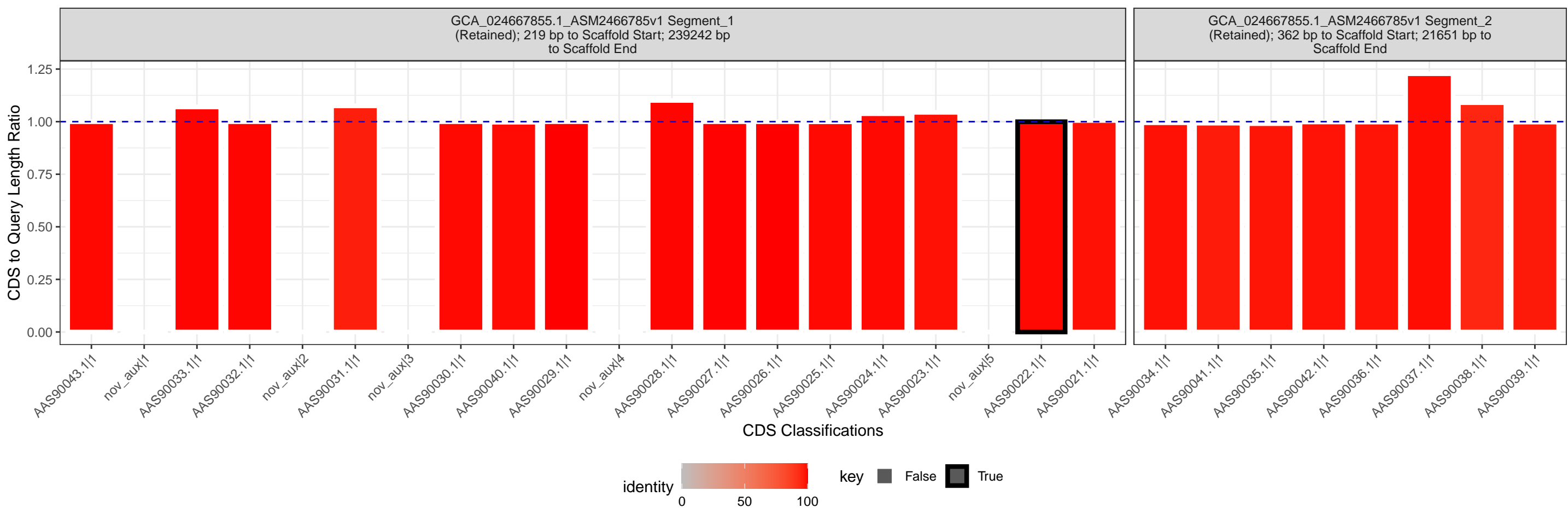
CDS to Query Length Ratio

1.25
1.00
0.75
0.50
0.25
0.00

AAS90039.1|1 AAS90038.1|1 AAS90037.1|1 AAS90036.1|1 AAS90042.1|1 AAS90035.1|1 AAS90041.1|1 AAS90034.1|1 AAS90043.1|1 nov_aux|1 AAS90033.1|1 AAS90032.1|1 nov_aux|2 AAS90031.1|1 nov_aux|3 AAS90030.1|1 AAS90040.1|1 AAS90029.1|1 nov_aux|4 AAS90028.1|1 AAS90027.1|1 AAS90026.1|1 AAS90025.1|1 AAS90024.1|1 AAS90023.1|1 nov_aux|5 AAS90022.1|1 AAS90021.1|1

CDS Classifications





GCA_024678425.1_ASM2467842v1 Segment_1
(Retained); 30906 bp to Scaffold Start; 61582 bp
to Scaffold End

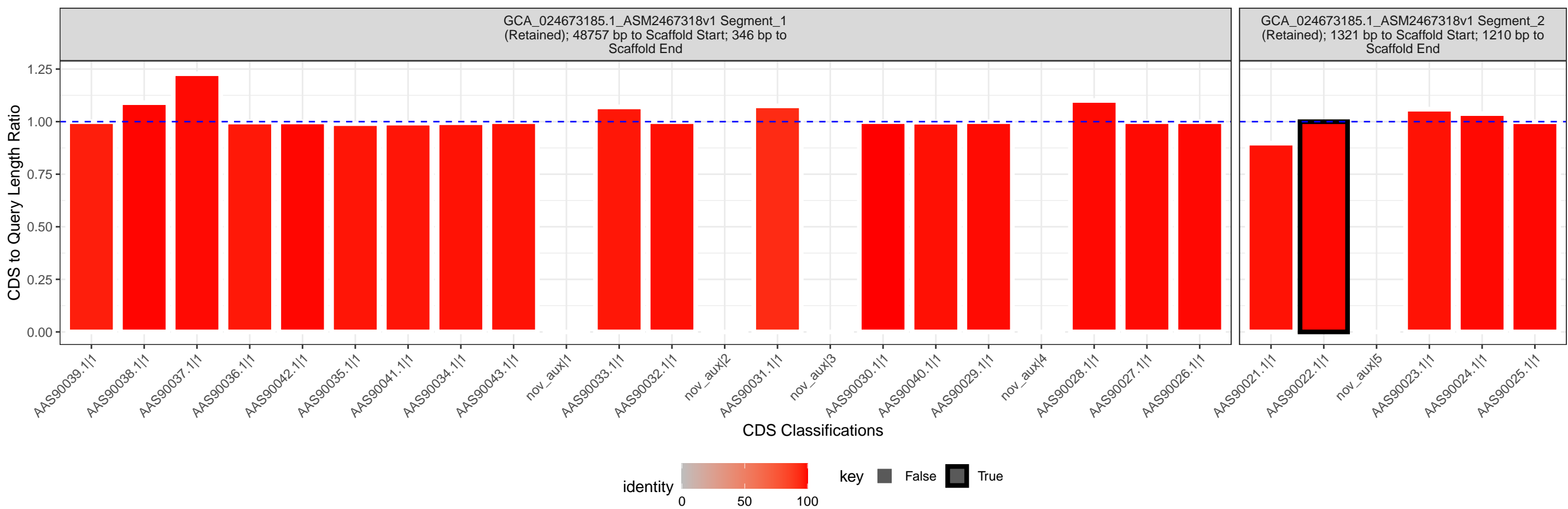
CDS to Query Length Ratio

1.25
1.00
0.75
0.50
0.25
0.00

AAS90021.1|1 AAS90022.1|1 nov_aux|1 AAS90023.1|1 AAS90024.1|1 AAS90025.1|1 AAS90026.1|1 AAS90027.1|1 AAS90028.1|1 nov_aux|2 AAS90029.1|1 AAS90040.1|1 AAS90030.1|1 nov_aux|3 AAS90031.1|1 nov_aux|4 AAS90032.1|1 AAS90033.1|1 nov_aux|5 AAS90043.1|1 AAS90034.1|1 AAS90041.1|1 AAS90035.1|1 AAS90042.1|1 AAS90036.1|1 AAS90037.1|1 AAS90038.1|1 AAS90039.1|1

CDS Classifications





GCA_013436235.1_ASM1343623v1 Segment_1
(Retained); 281605 bp to Scaffold Start; 67910 bp
to Scaffold End

CDS to Query Length Ratio

1.25
1.00
0.75
0.50
0.25
0.00

AAS90039.1|1 AAS90038.1|1 AAS90037.1|1 AAS90036.1|1 AAS90042.1|1 AAS90035.1|1 AAS90041.1|1 AAS90034.1|1 AAS90043.1|1 nov_aux|1 AAS90033.1|1 AAS90032.1|1 nov_aux|2 AAS90031.1|1 nov_aux|3 AAS90030.1|1 AAS90040.1|1 AAS90029.1|1 nov_aux|4 AAS90028.1|1 AAS90027.1|1 AAS90026.1|1 AAS90025.1|1 AAS90024.1|1 AAS90023.1|1 nov_aux|5 AAS90022.1|1 AAS90021.1|1

CDS Classifications



GCA_019880445.1_ASM1988044v1 Segment_1
(Retained); 4940482 bp to Scaffold Start; 96442
bp to Scaffold End

CDS to Query Length Ratio

1.25
1.00
0.75
0.50
0.25
0.00

AAS90039.1|1 AAS90038.1|1 AAS90037.1|1 AAS90036.1|1 AAS90042.1|1 AAS90035.1|1 AAS90041.1|1 AAS90034.1|1 AAS90043.1|1 nov_aux|1 AAS90033.1|1 AAS90032.1|1 nov_aux|2 AAS90031.1|1 nov_aux|3 AAS90030.1|1 AAS90040.1|1 AAS90029.1|1 nov_aux|4 AAS90028.1|1 AAS90027.1|1 AAS90026.1|1 AAS90025.1|1 AAS90024.1|1 AAS90023.1|1 nov_aux|5 AAS90022.1|1 AAS90021.1|1

CDS Classifications



GCA_024668685.1_ASM2466868v1 Segment_1
(Retained); 39043 bp to Scaffold Start; 24168 bp
to Scaffold End

CDS to Query Length Ratio

1.25
1.00
0.75
0.50
0.25
0.00

AAS90021.1|1 AAS90022.1|1 nov_aux|1 AAS90023.1|1 AAS90024.1|1 AAS90025.1|1 AAS90026.1|1 AAS90027.1|1 AAS90028.1|1 nov_aux|2 AAS90029.1|1 AAS90040.1|1 AAS90030.1|1 nov_aux|3 AAS90031.1|1 nov_aux|4 AAS90032.1|1 AAS90033.1|1 nov_aux|5 AAS90043.1|1 AAS90034.1|1 AAS90041.1|1 AAS90035.1|1 AAS90042.1|1 AAS90036.1|1 AAS90037.1|1 AAS90038.1|1 AAS90039.1|1

CDS Classifications



GCA_025769845.1_ASM2576984v1 Segment_1
(Retained); 24275 bp to Scaffold Start; 38343 bp
to Scaffold End

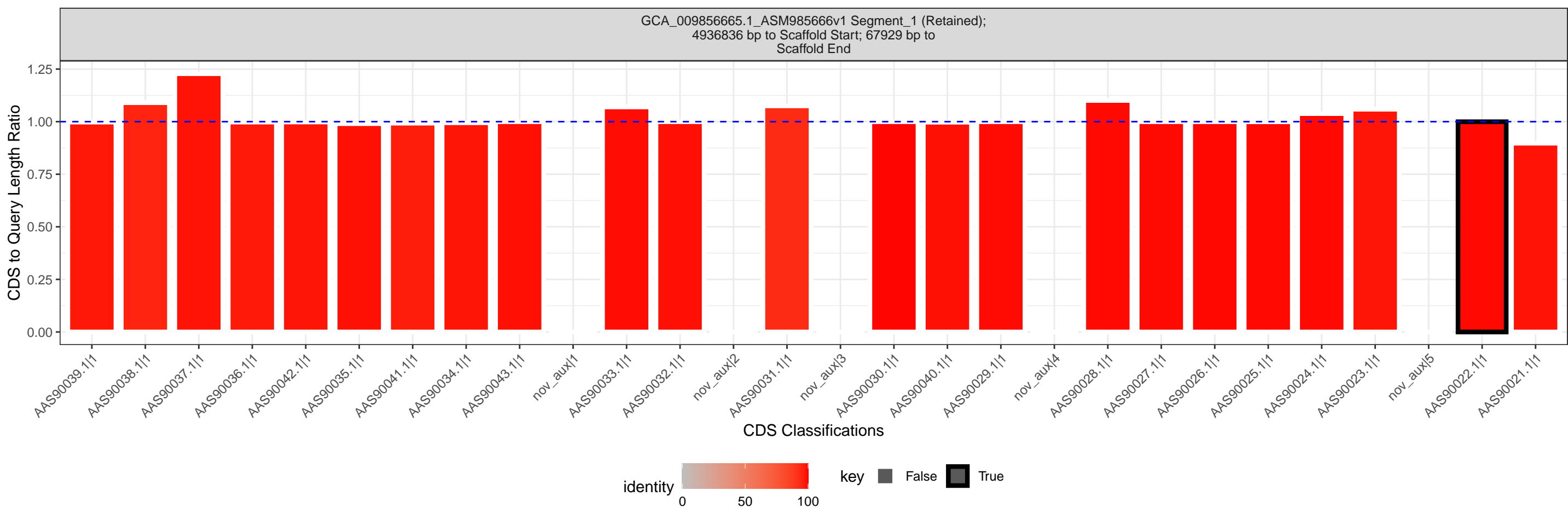
CDS to Query Length Ratio

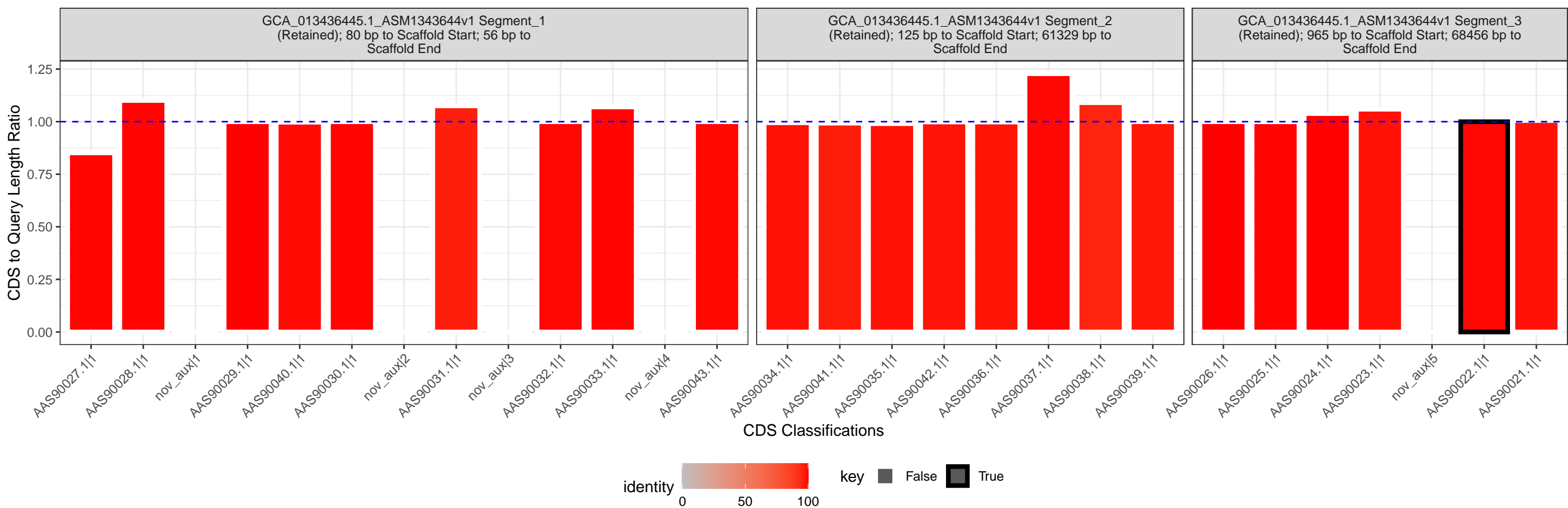
1.25
1.00
0.75
0.50
0.25
0.00

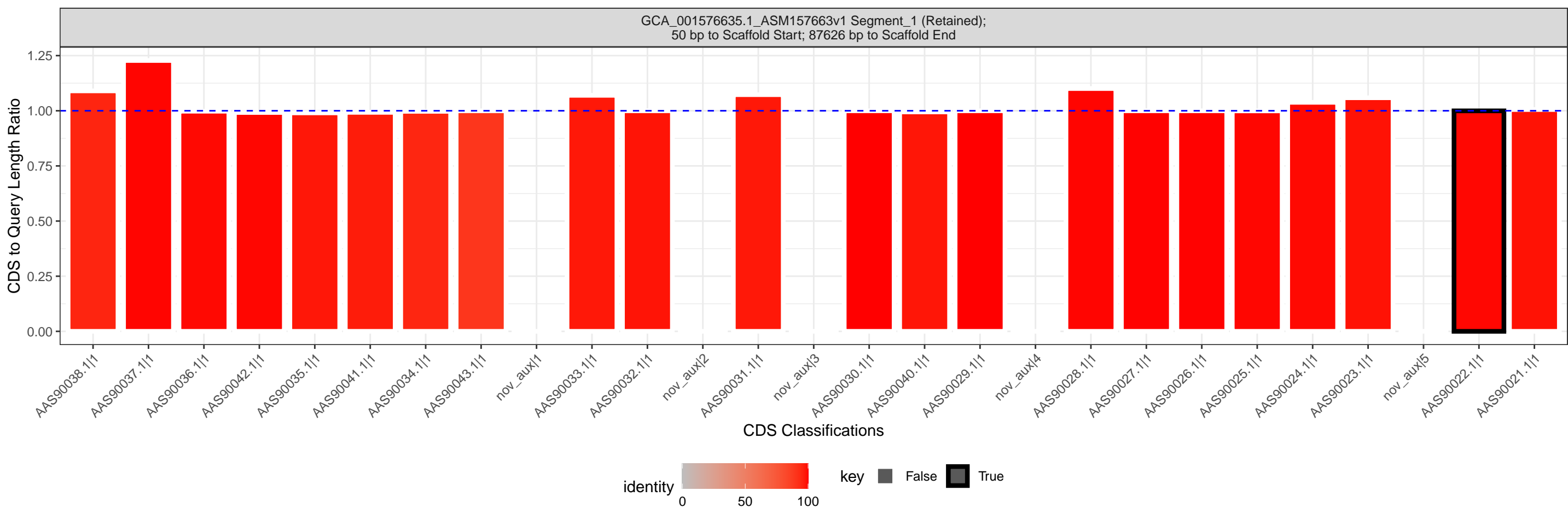
AAS90039.1|1 AAS90038.1|1 AAS90037.1|1 AAS90036.1|1 AAS90042.1|1 AAS90035.1|1 AAS90041.1|1 AAS90034.1|1 AAS90043.1|1 nov_aux|1 AAS90033.1|1 AAS90032.1|1 nov_aux|2 AAS90031.1|1 nov_aux|3 AAS90030.1|1 AAS90040.1|1 AAS90029.1|1 nov_aux|4 AAS90028.1|1 AAS90027.1|1 AAS90026.1|1 AAS90025.1|1 AAS90024.1|1 AAS90023.1|1 nov_aux|5 AAS90022.1|1 AAS90021.1|1

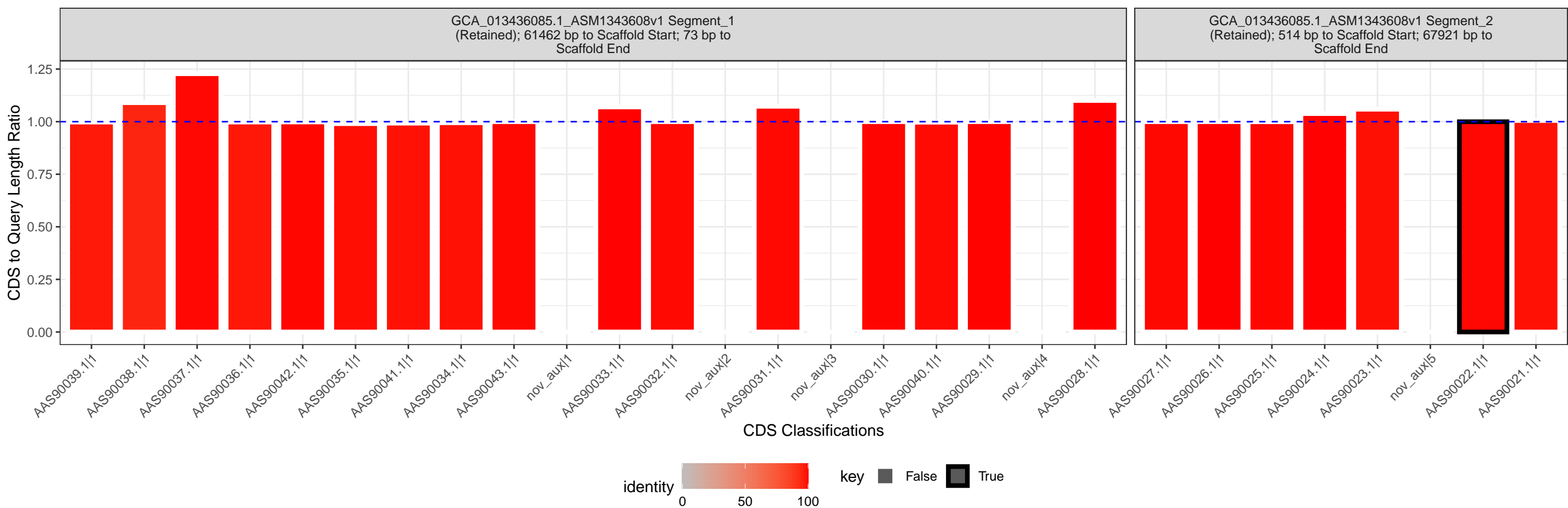
CDS Classifications

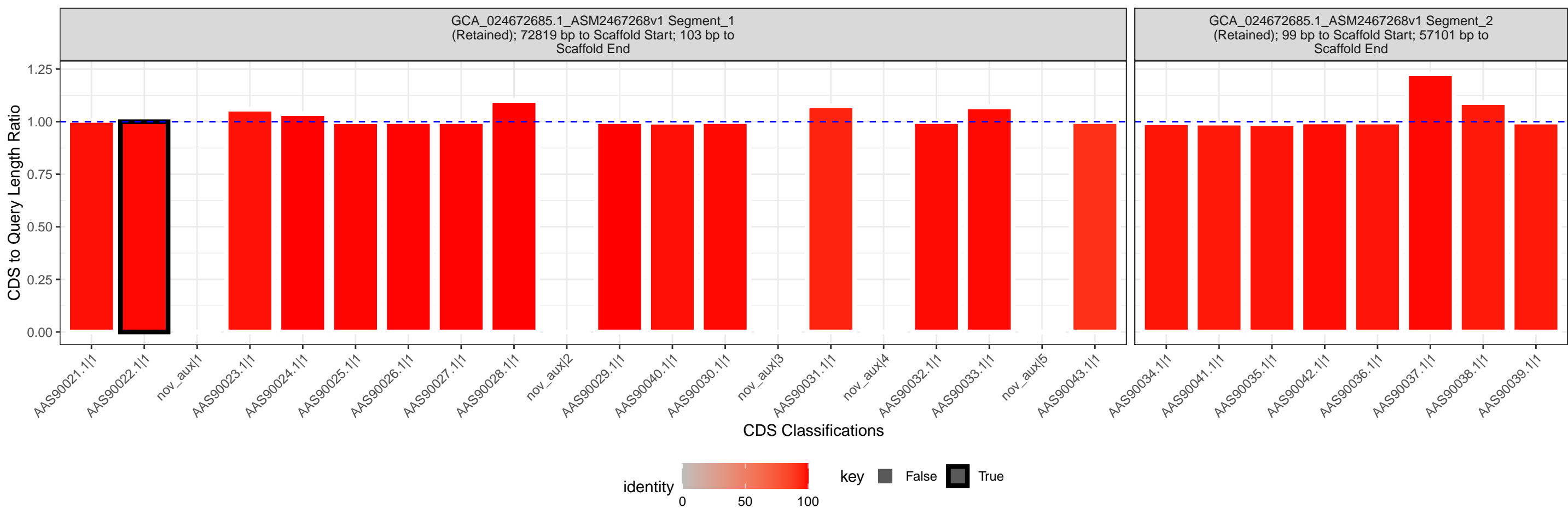


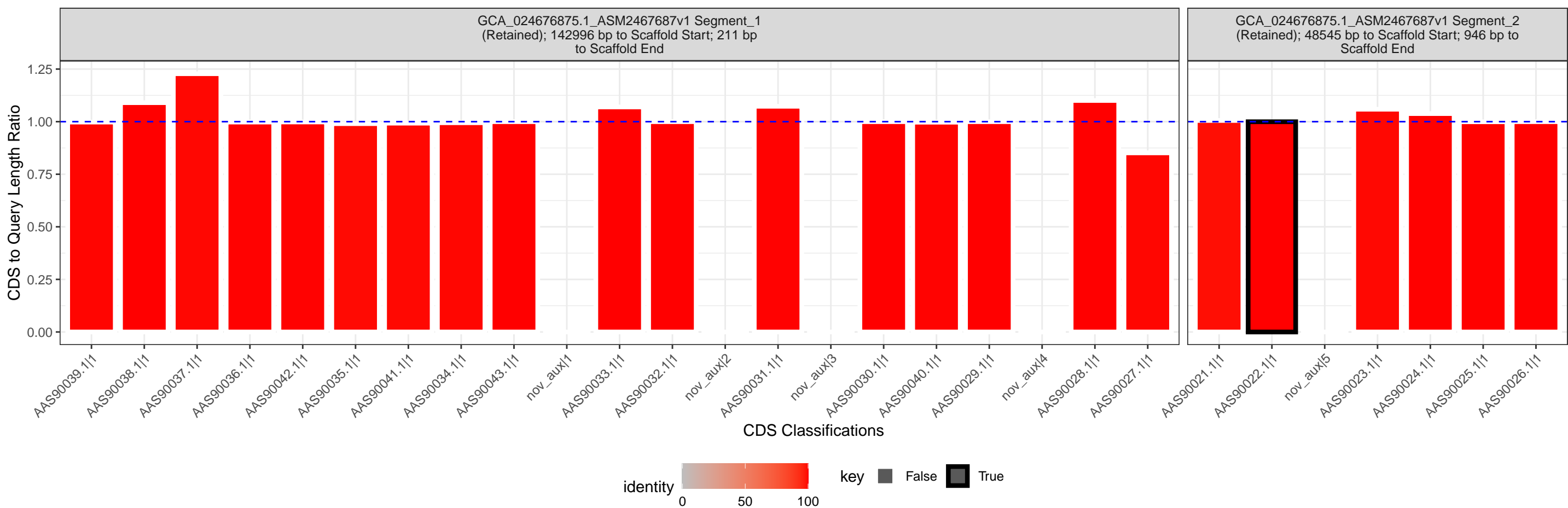


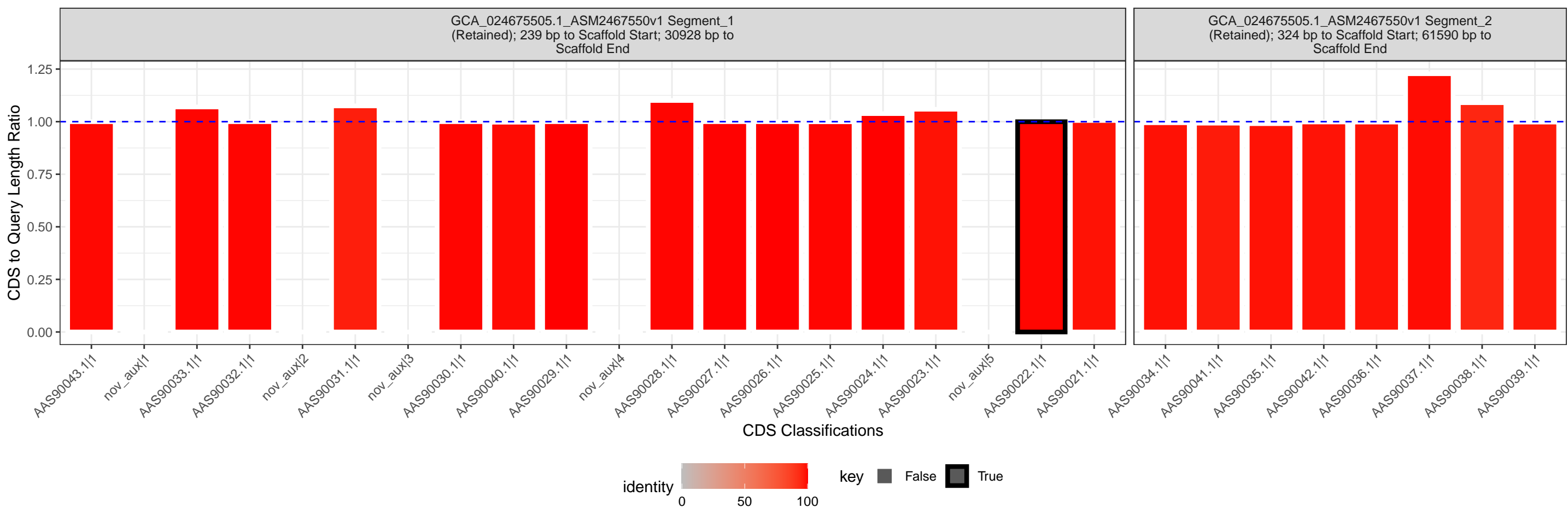


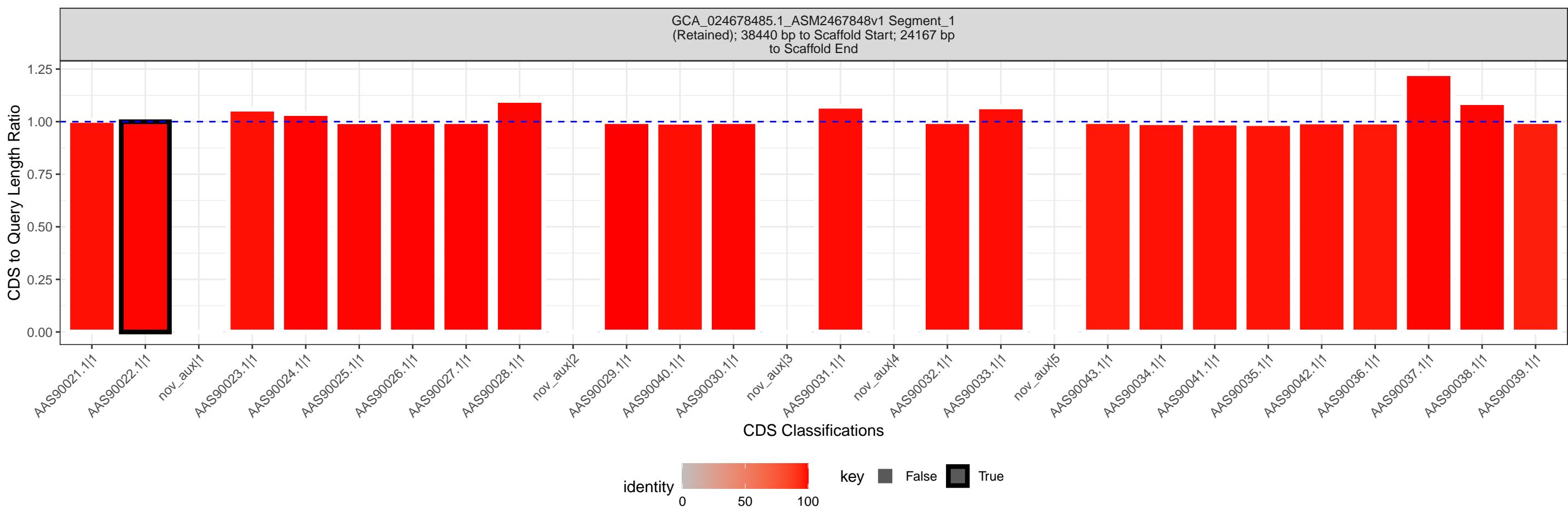


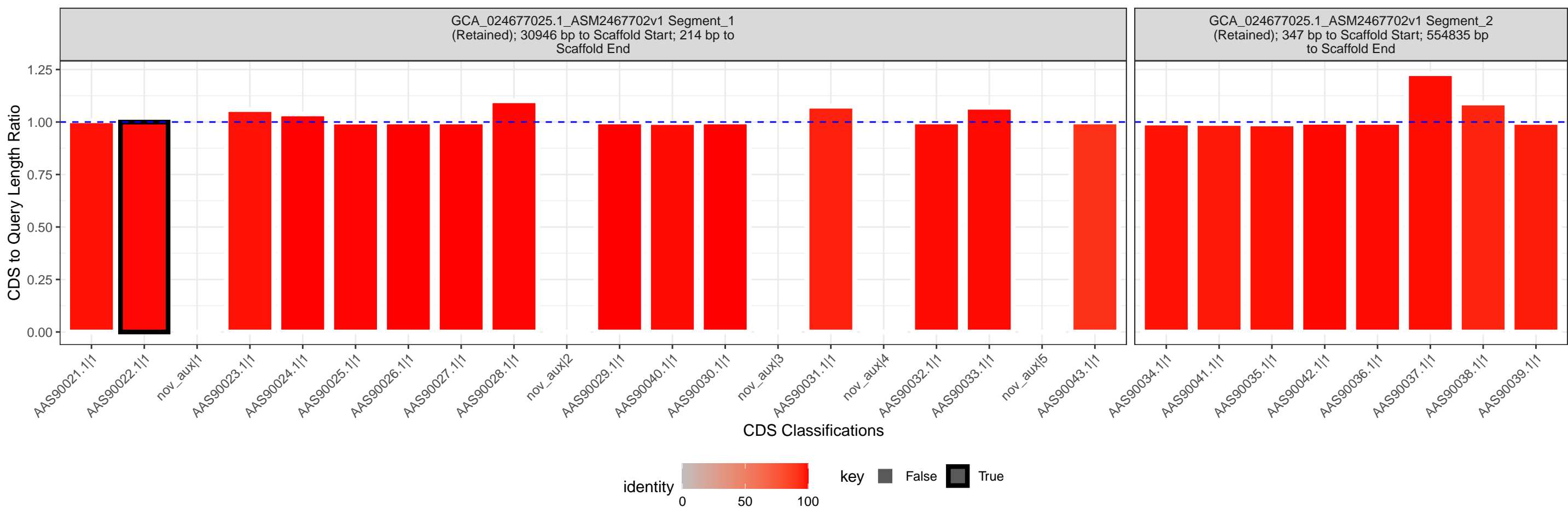












GCA_024668675.1_ASM2466867v1 Segment_1
(Retained); 156241 bp to Scaffold Start; 38389 bp
to Scaffold End

CDS to Query Length Ratio

1.25
1.00
0.75
0.50
0.25
0.00

AAS90039.1|1 AAS90038.1|1 AAS90037.1|1 AAS90036.1|1 AAS90042.1|1 AAS90035.1|1 AAS90041.1|1 AAS90034.1|1 AAS90043.1|1 nov_aux|1 AAS90033.1|1 AAS90032.1|1 nov_aux|2 AAS90031.1|1 nov_aux|3 AAS90030.1|1 AAS90040.1|1 AAS90029.1|1 nov_aux|4 AAS90028.1|1 AAS90027.1|1 AAS90026.1|1 AAS90025.1|1 AAS90024.1|1 AAS90023.1|1 nov_aux|5 AAS90022.1|1 AAS90021.1|1

CDS Classifications



GCA_013436215.1_ASM1343621v1 Segment_1
(Retained); 71915 bp to Scaffold Start; 281539 bp
to Scaffold End

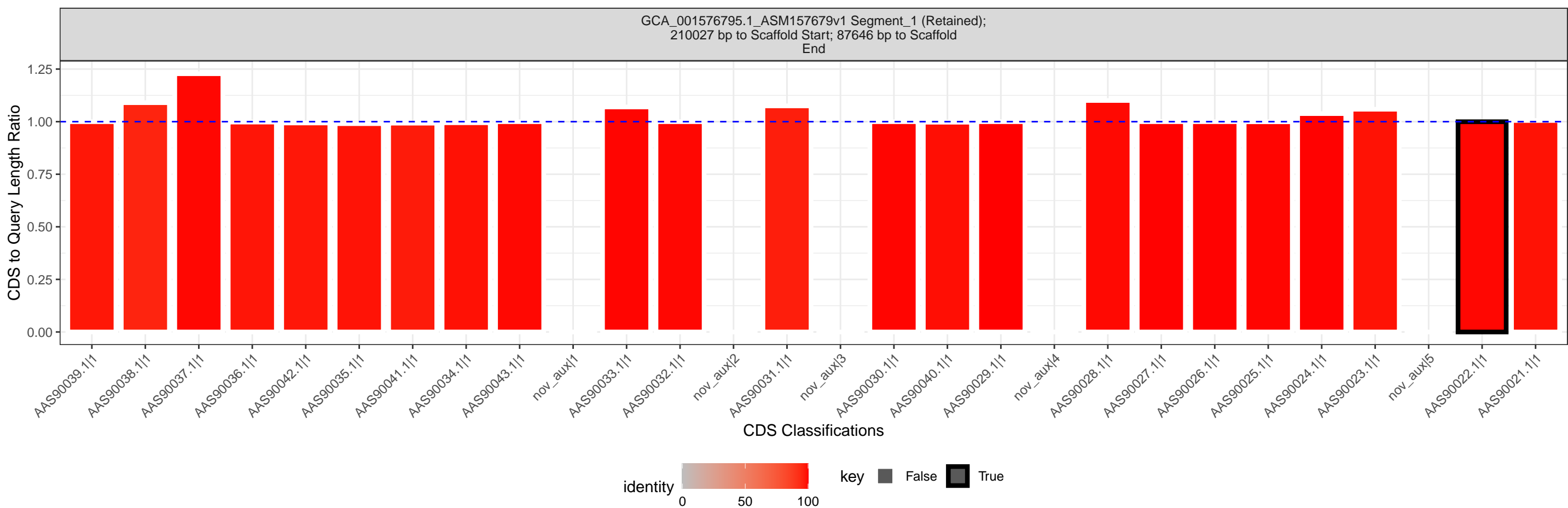
CDS to Query Length Ratio

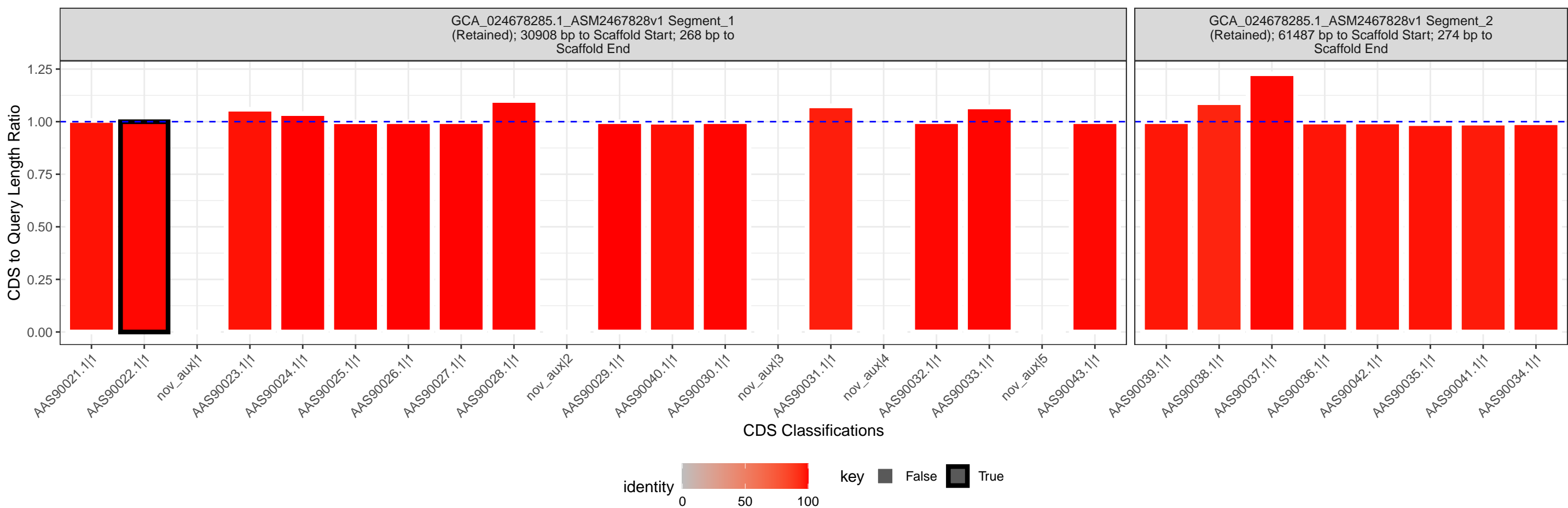
1.25
1.00
0.75
0.50
0.25
0.00

AAS90021.1|1 AAS90022.1|1 nov_aux|1 AAS90023.1|1 AAS90024.1|1 AAS90025.1|1 AAS90026.1|1 AAS90027.1|1 AAS90028.1|1 nov_aux|2 AAS90029.1|1 AAS90040.1|1 AAS90030.1|1 nov_aux|3 AAS90031.1|1 nov_aux|4 AAS90032.1|1 AAS90033.1|1 nov_aux|5 AAS90043.1|1 AAS90034.1|1 AAS90041.1|1 AAS90035.1|1 AAS90042.1|1 AAS90036.1|1 AAS90037.1|1 AAS90038.1|1 AAS90039.1|1

CDS Classifications







GCA_014117485.1_ASM1411748v1 Segment_1
(Retained); 4920135 bp to Scaffold Start; 45776
bp to Scaffold End

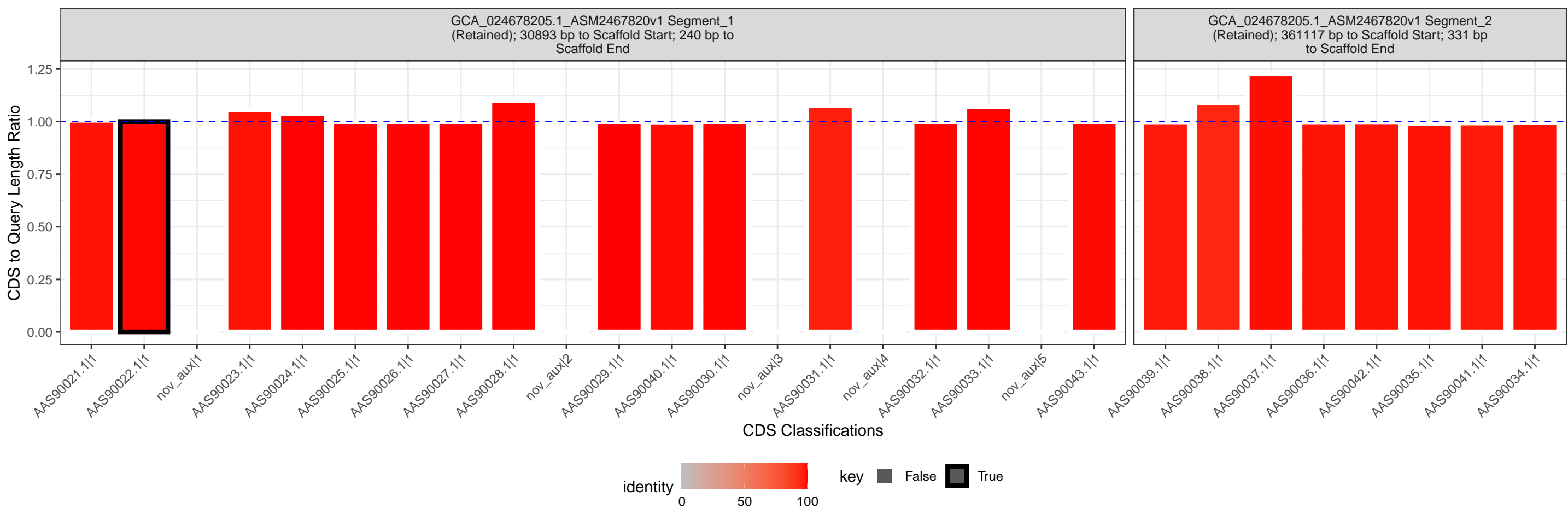
CDS to Query Length Ratio

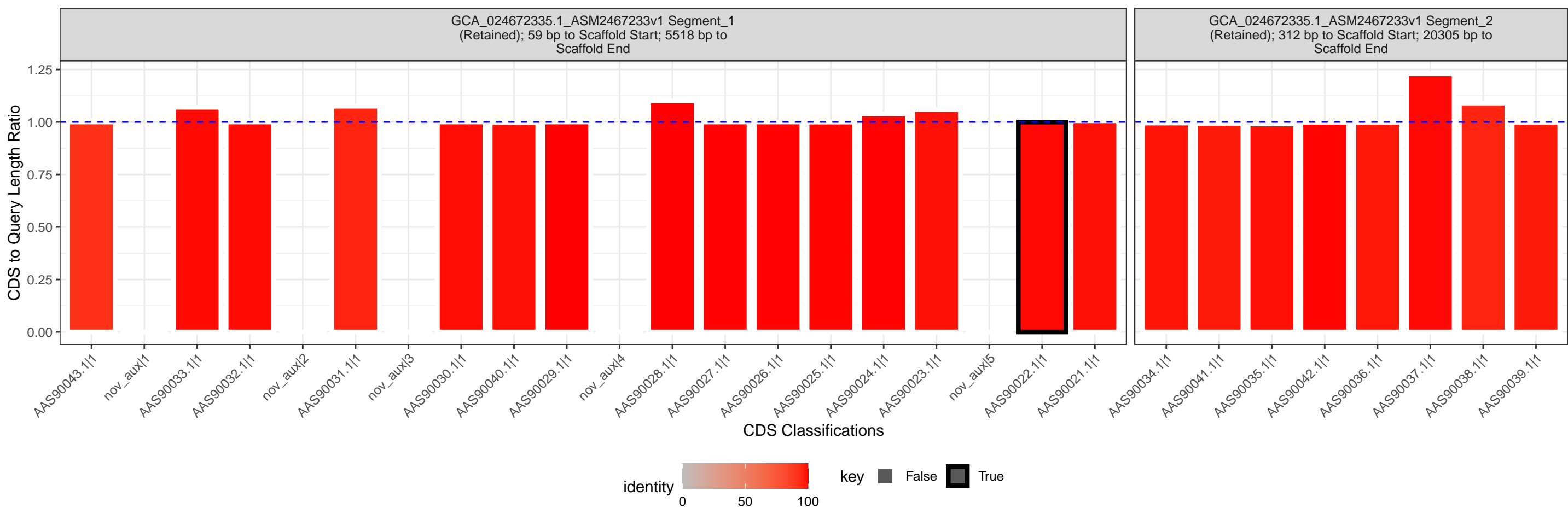
1.25
1.00
0.75
0.50
0.25
0.00

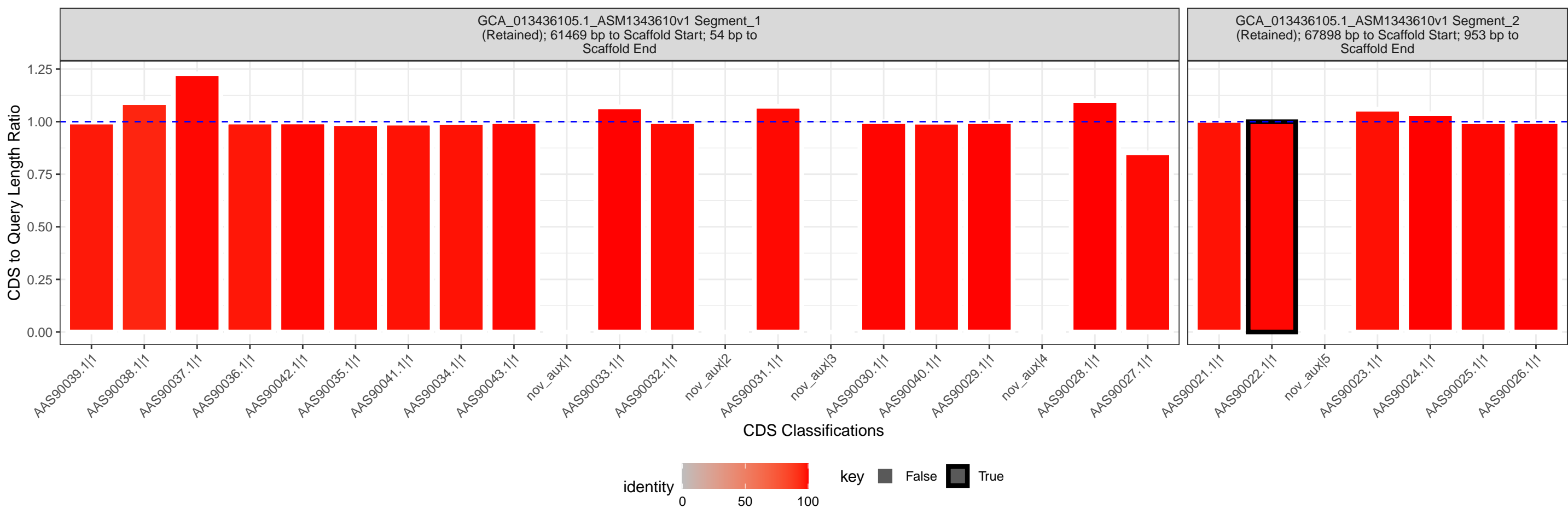
AAS90039.1|1 AAS90038.1|1 AAS90037.1|1 AAS90036.1|1 AAS90042.1|1 AAS90035.1|1 AAS90041.1|1 AAS90034.1|1 AAS90043.1|1 nov_aux|1 AAS90033.1|1 AAS90032.1|1 nov_aux|2 AAS90031.1|1 nov_aux|3 AAS90030.1|1 AAS90040.1|1 AAS90029.1|1 nov_aux|4 AAS90028.1|1 AAS90027.1|1 AAS90026.1|1 AAS90025.1|1 AAS90024.1|1 AAS90023.1|1 nov_aux|5 AAS90022.1|1 AAS90021.1|1

CDS Classifications









GCA_013435835.1_ASM1343583v1 Segment_1
(Retained); 58803 bp to Scaffold Start; 68355 bp
to Scaffold End

CDS to Query Length Ratio

1.25
1.00
0.75
0.50
0.25
0.00

AAS90039.1|1 AAS90038.1|1 AAS90037.1|1 AAS90036.1|1 AAS90042.1|1 AAS90035.1|1 AAS90041.1|1 AAS90034.1|1 AAS90043.1|1 nov_aux|1 AAS90033.1|1 AAS90032.1|1 nov_aux|2 AAS90031.1|1 nov_aux|3 AAS90030.1|1 AAS90040.1|1 AAS90029.1|1 nov_aux|4 AAS90028.1|1 AAS90027.1|1 AAS90026.1|1 AAS90025.1|1 AAS90024.1|1 AAS90023.1|1 nov_aux|5 AAS90022.1|1 AAS90021.1|1

CDS Classifications



GCA_012896275.1_ASM1289627v1 Segment_1
(Retained); 4917545 bp to Scaffold Start; 68513
bp to Scaffold End

CDS to Query Length Ratio

1.25
1.00
0.75
0.50
0.25
0.00

AAS90039.1|1 AAS90038.1|1 AAS90037.1|1 AAS90036.1|1 AAS90042.1|1 AAS90035.1|1 AAS90041.1|1 AAS90034.1|1 AAS90043.1|1 nov_aux|1 AAS90033.1|1 AAS90032.1|1 nov_aux|2 AAS90031.1|1 nov_aux|3 AAS90030.1|1 AAS90040.1|1 AAS90029.1|1 nov_aux|4 AAS90028.1|1 AAS90027.1|1 AAS90026.1|1 AAS90025.1|1 AAS90024.1|1 AAS90023.1|1 nov_aux|5 AAS90022.1|1 AAS90021.1|1

CDS Classifications



GCA_014784225.2_ASM1478422v2 Segment_1
(Retained); 3298672 bp to Scaffold Start; 95974
bp to Scaffold End

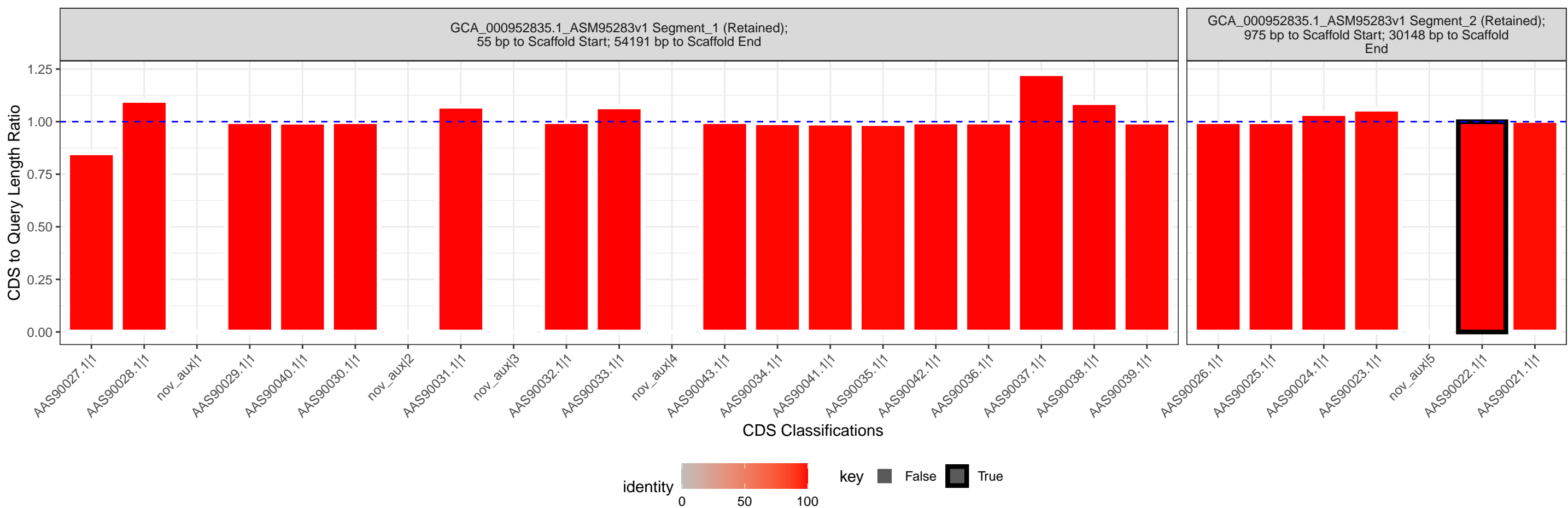
CDS to Query Length Ratio

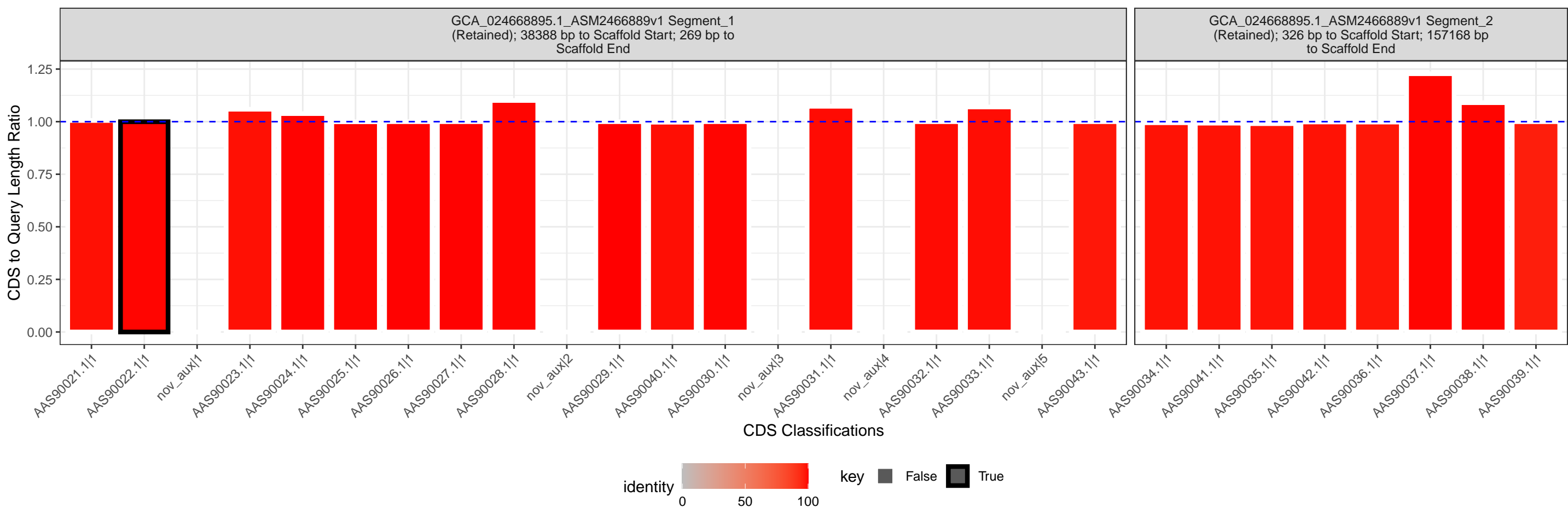
1.25
1.00
0.75
0.50
0.25
0.00

AAS90039.1|1 AAS90038.1|1 AAS90037.1|1 AAS90036.1|1 AAS90042.1|1 AAS90035.1|1 AAS90041.1|1 AAS90034.1|1 AAS90043.1|1 nov_aux|1 AAS90033.1|1 AAS90032.1|1 nov_aux|2 AAS90031.1|1 nov_aux|3 AAS90030.1|1 AAS90040.1|1 AAS90029.1|1 nov_aux|4 AAS90028.1|1 AAS90027.1|1 AAS90026.1|1 AAS90025.1|1 AAS90024.1|1 AAS90023.1|1 nov_aux|5 AAS90022.1|1 AAS90021.1|1

CDS Classifications







GCA_024670345.1_ASM2467034v1 Segment_1
(Retained); 57111 bp to Scaffold Start; 30342 bp
to Scaffold End

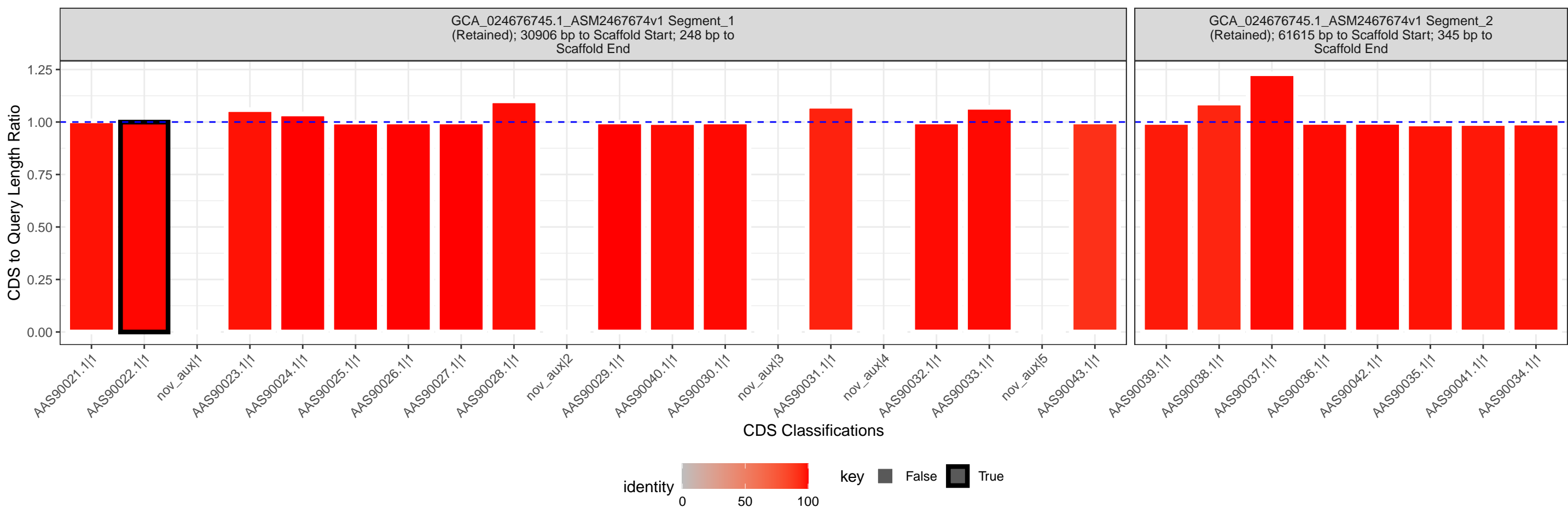
CDS to Query Length Ratio

1.25
1.00
0.75
0.50
0.25
0.00

AAS90039.1|1 AAS90038.1|1 AAS90037.1|1 AAS90036.1|1 AAS90042.1|1 AAS90035.1|1 AAS90041.1|1 AAS90034.1|1 AAS90043.1|1 nov_aux|1 AAS90033.1|1 AAS90032.1|1 nov_aux|2 AAS90031.1|1 nov_aux|3 AAS90030.1|1 AAS90040.1|1 AAS90029.1|1 nov_aux|4 AAS90028.1|1 AAS90027.1|1 AAS90026.1|1 AAS90025.1|1 AAS90024.1|1 AAS90023.1|1 nov_aux|5 AAS90022.1|1 AAS90021.1|1

CDS Classifications





GCA_025769695.1_ASM2576969v1 Segment_1
(Retained); 113489 bp to Scaffold Start; 38345 bp
to Scaffold End

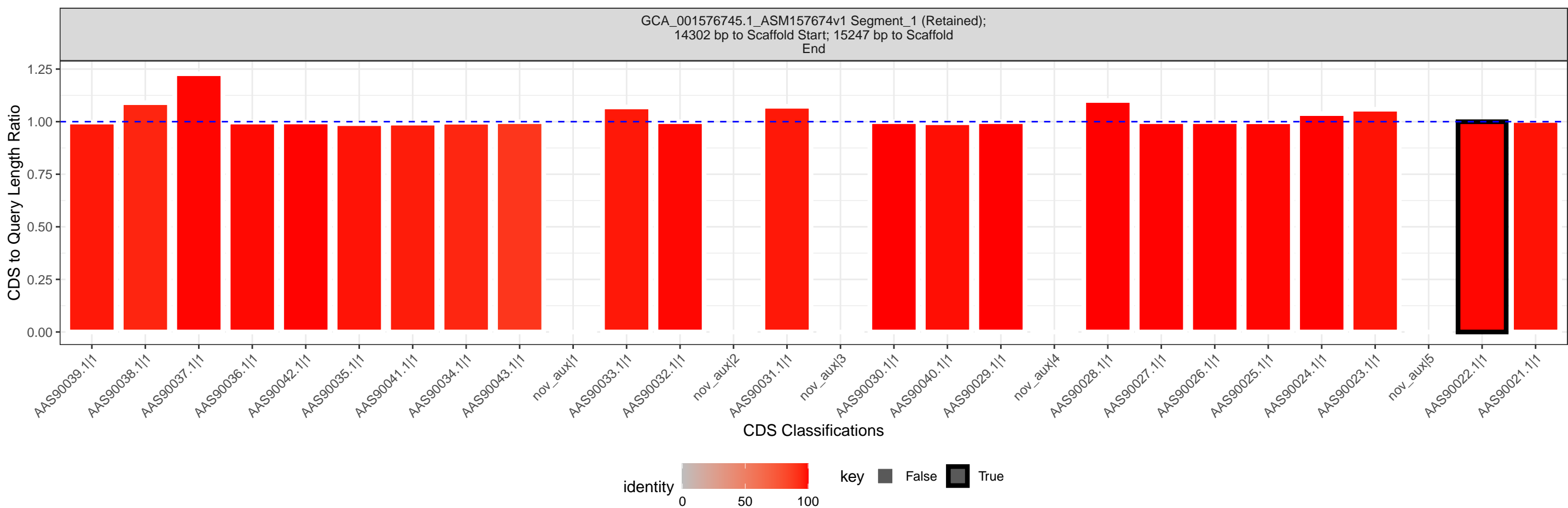
CDS to Query Length Ratio

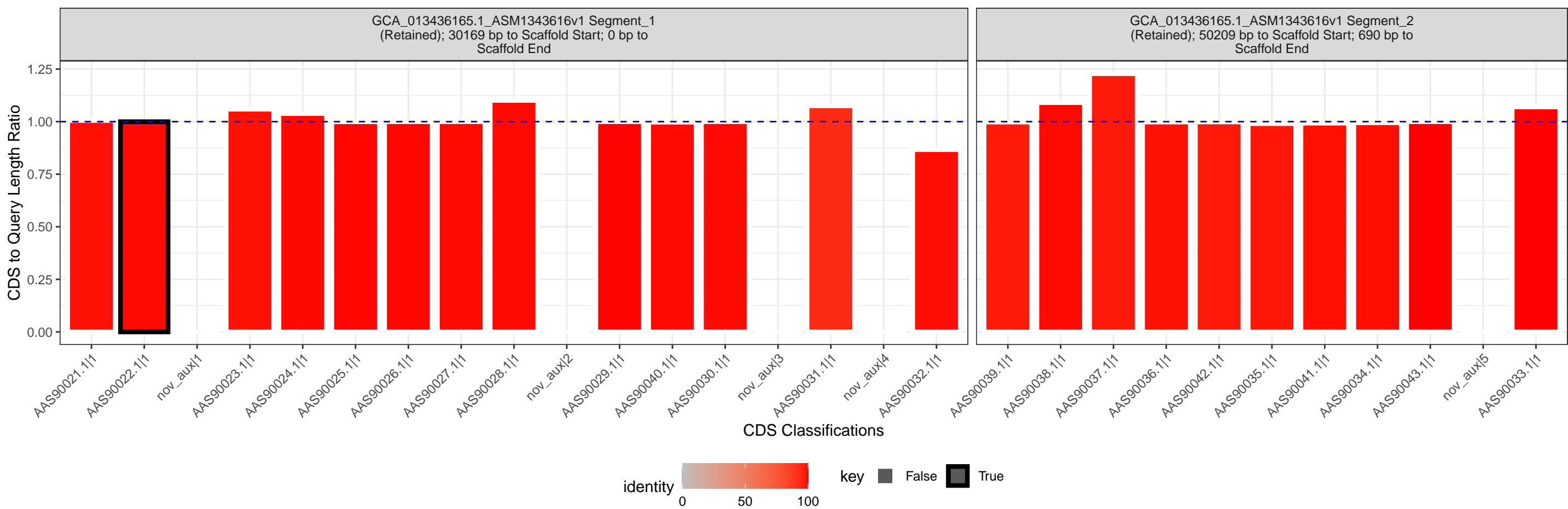
1.25
1.00
0.75
0.50
0.25
0.00

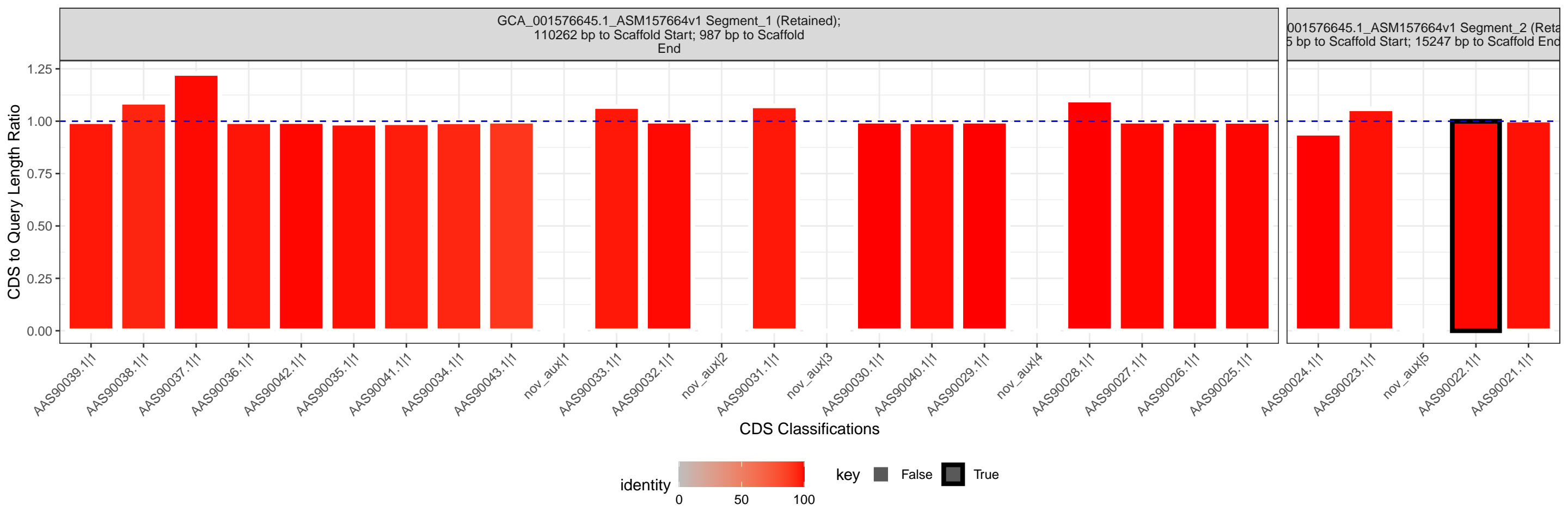
AAS90039.1|1 AAS90038.1|1 AAS90037.1|1 AAS90036.1|1 AAS90042.1|1 AAS90035.1|1 AAS90041.1|1 AAS90034.1|1 AAS90043.1|1 nov_aux|1 AAS90033.1|1 AAS90032.1|1 nov_aux|2 AAS90031.1|1 nov_aux|3 AAS90030.1|1 AAS90040.1|1 AAS90029.1|1 nov_aux|4 AAS90028.1|1 AAS90027.1|1 AAS90026.1|1 AAS90025.1|1 AAS90024.1|1 AAS90023.1|1 nov_aux|5 AAS90022.1|1 AAS90021.1|1

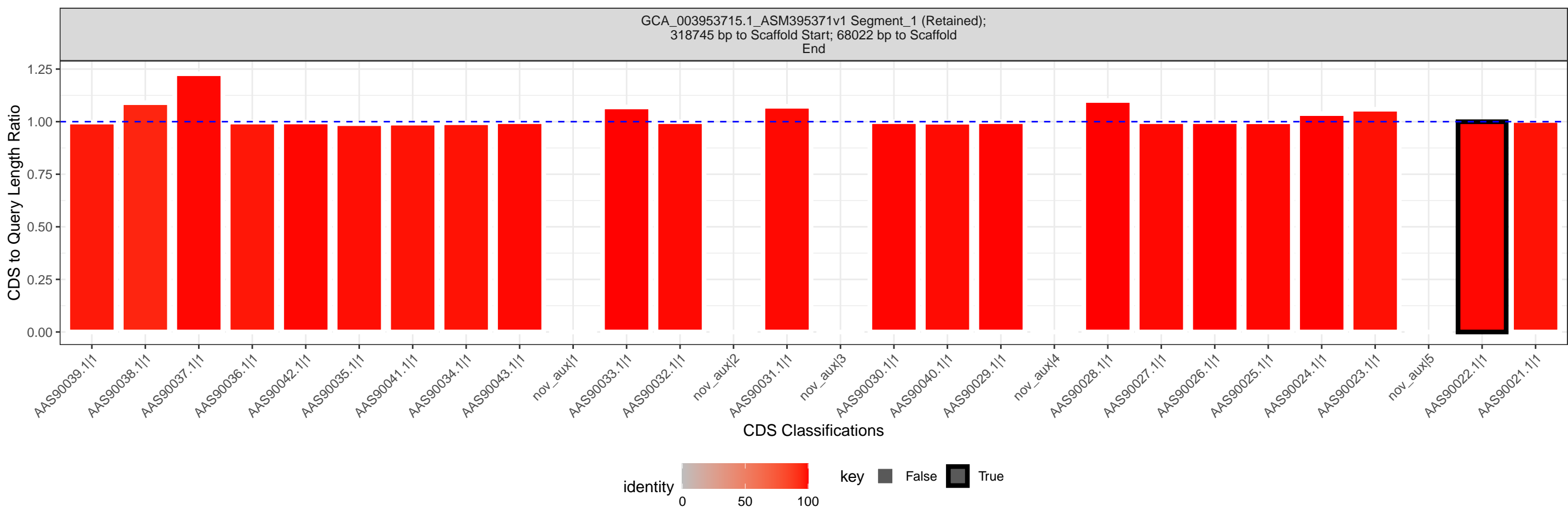
CDS Classifications











GCA_011420395.1_ASM1142039v1 Segment_1
(Retained); 95807 bp to Scaffold Start; 710250 bp
to Scaffold End

CDS to Query Length Ratio

1.25
1.00
0.75
0.50
0.25
0.00

AAS90021.1|1 AAS90022.1|1 nov_aux|1 AAS90023.1|1 AAS90024.1|1 AAS90025.1|1 AAS90026.1|1 AAS90027.1|1 AAS90028.1|1 nov_aux|2 AAS90029.1|1 AAS90040.1|1 AAS90030.1|1 nov_aux|3 AAS90031.1|1 nov_aux|4 AAS90032.1|1 AAS90033.1|1 nov_aux|5 AAS90043.1|1 AAS90034.1|1 AAS90041.1|1 AAS90035.1|1 AAS90042.1|1 AAS90036.1|1 AAS90037.1|1 AAS90038.1|1 AAS90039.1|1

CDS Classifications



GCA_013146035.1_ASM1314603v1 Segment_1
(Retained); 1056307 bp to Scaffold Start; 69256
bp to Scaffold End

CDS to Query Length Ratio

1.25
1.00
0.75
0.50
0.25
0.00

AAS90039.1|1 AAS90038.1|1 AAS90037.1|1 AAS90036.1|1 AAS90042.1|1 AAS90035.1|1 AAS90041.1|1 AAS90034.1|1 AAS90043.1|1 nov_aux|1 AAS90033.1|1 AAS90032.1|1 nov_aux|2 AAS90031.1|1 nov_aux|3 AAS90030.1|1 AAS90040.1|1 AAS90029.1|1 nov_aux|4 AAS90028.1|1 AAS90027.1|1 AAS90026.1|1 AAS90025.1|1 AAS90024.1|1 AAS90023.1|1 nov_aux|5 AAS90022.1|1 AAS90021.1|1

CDS Classifications



GCA_024667655.1_ASM2466765v1 Segment_1
(Retained); 38400 bp to Scaffold Start; 157198 bp
to Scaffold End

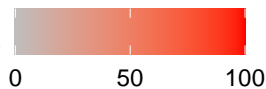
CDS to Query Length Ratio

1.25
1.00
0.75
0.50
0.25
0.00

AAS90021.1|1 AAS90022.1|1 nov_aux|1 AAS90023.1|1 AAS90024.1|1 AAS90025.1|1 AAS90026.1|1 AAS90027.1|1 AAS90028.1|1 nov_aux|2 AAS90029.1|1 AAS90040.1|1 AAS90030.1|1 nov_aux|3 AAS90031.1|1 nov_aux|4 AAS90032.1|1 AAS90033.1|1 nov_aux|5 AAS90043.1|1 AAS90034.1|1 AAS90041.1|1 AAS90035.1|1 AAS90042.1|1 AAS90036.1|1 AAS90037.1|1 AAS90038.1|1 AAS90039.1|1

CDS Classifications

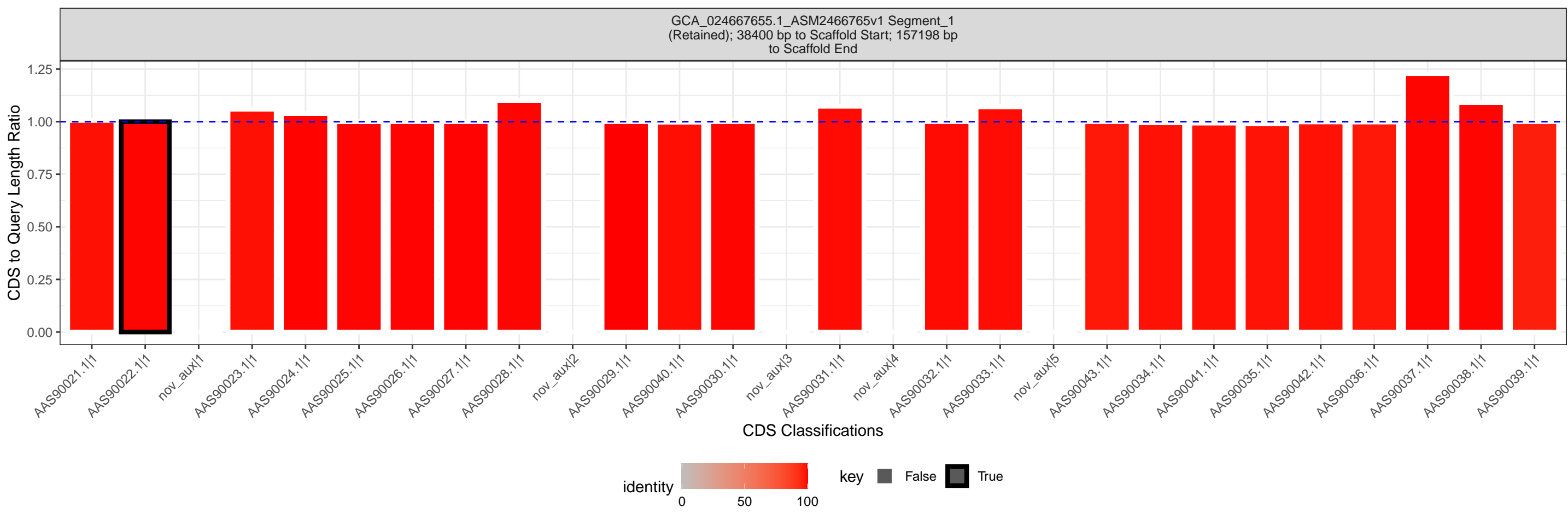
identity

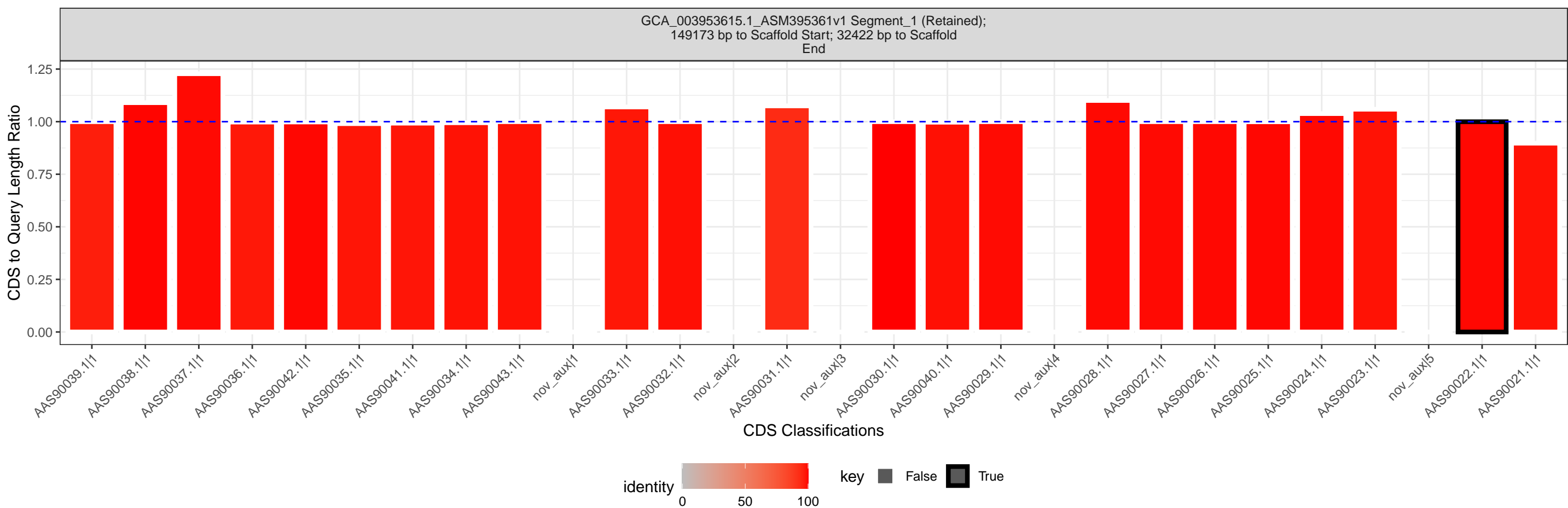


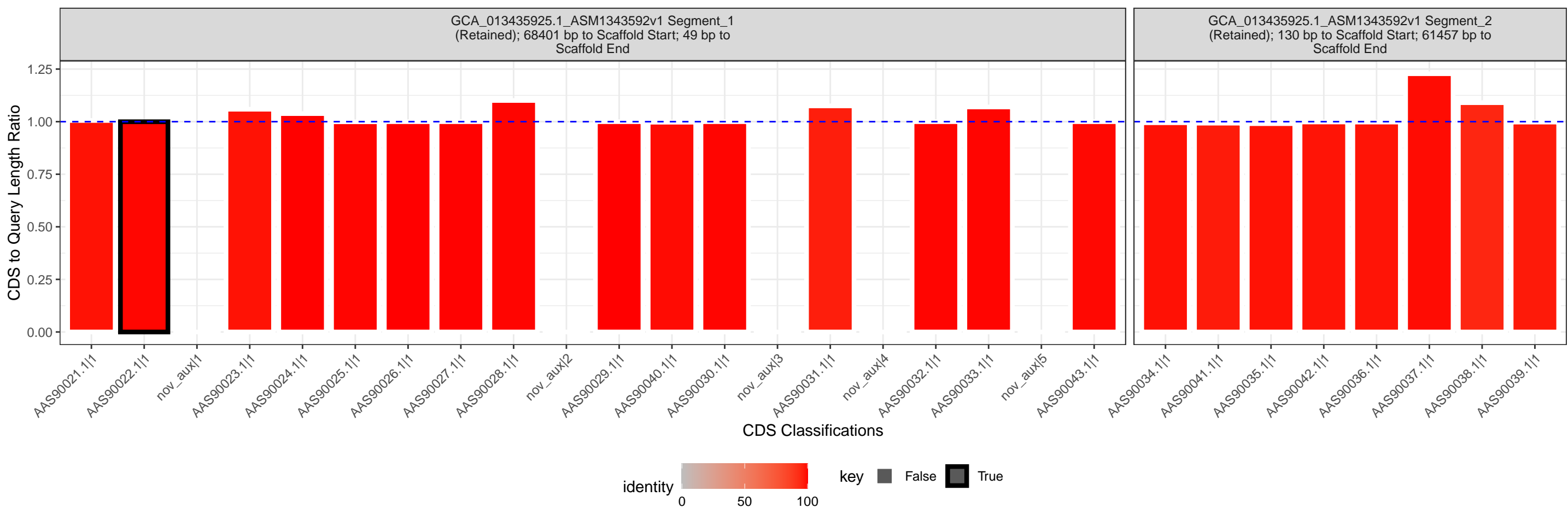
key

False

True







GCA_013146025.1_ASM1314602v1 Segment_1
(Retained); 85385 bp to Scaffold Start; 552071 bp
to Scaffold End

CDS to Query Length Ratio

1.25
1.00
0.75
0.50
0.25
0.00

AAS90021.1|1 AAS90022.1|1 nov_aux|1 AAS90023.1|1 AAS90024.1|1 AAS90025.1|1 AAS90026.1|1 AAS90027.1|1 AAS90028.1|1 nov_aux|2 AAS90029.1|1 AAS90040.1|1 AAS90030.1|1 nov_aux|3 AAS90031.1|1 nov_aux|4 AAS90032.1|1 AAS90033.1|1 nov_aux|5 AAS90043.1|1 AAS90034.1|1 AAS90041.1|1 AAS90035.1|1 AAS90042.1|1 AAS90036.1|1 AAS90037.1|1 AAS90038.1|1 AAS90039.1|1

CDS Classifications



GCA_024676915.1_ASM2467691v1 Segment_1
(Retained); 113827 bp to Scaffold Start; 39055 bp
to Scaffold End

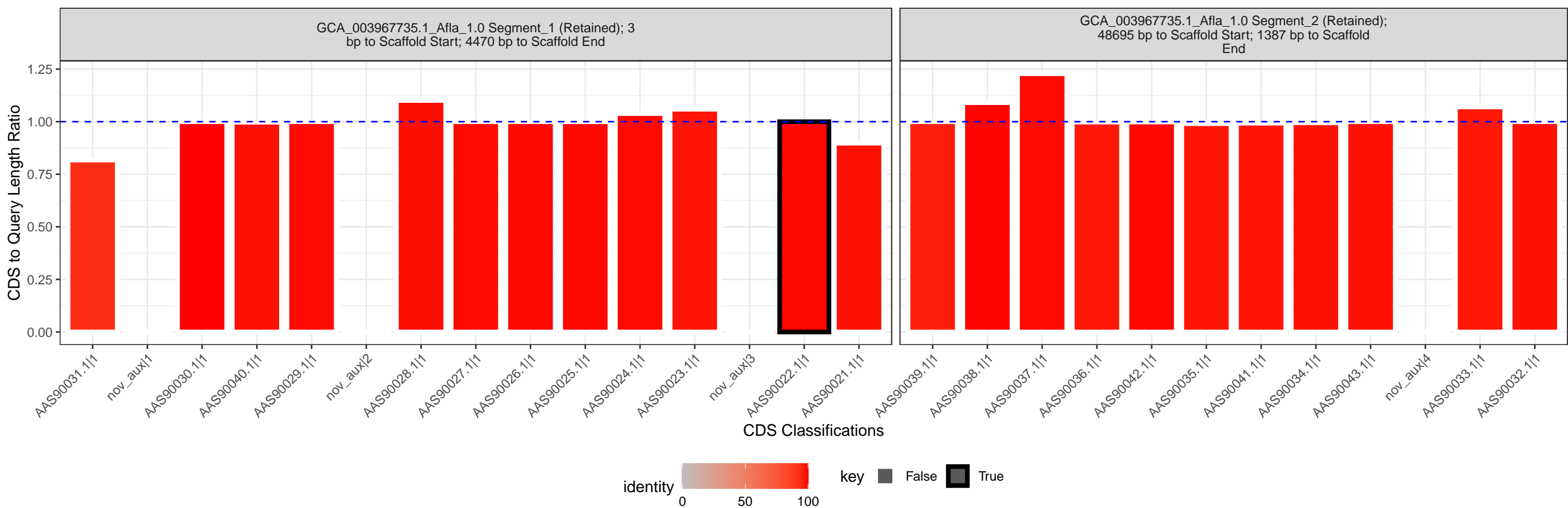
CDS to Query Length Ratio

1.25
1.00
0.75
0.50
0.25
0.00

AAS90039.1|1 AAS90038.1|1 AAS90037.1|1 AAS90036.1|1 AAS90042.1|1 AAS90035.1|1 AAS90041.1|1 AAS90034.1|1 AAS90043.1|1 nov_aux|1 AAS90033.1|1 AAS90032.1|1 nov_aux|2 AAS90031.1|1 nov_aux|3 AAS90030.1|1 AAS90040.1|1 AAS90029.1|1 nov_aux|4 AAS90028.1|1 AAS90027.1|1 AAS90026.1|1 AAS90025.1|1 AAS90024.1|1 AAS90023.1|1 nov_aux|5 AAS90022.1|1 AAS90021.1|1

CDS Classifications





GCA_013146165.1_ASM1314616v1 Segment_1
(Retained); 191503 bp to Scaffold Start; 69240 bp
to Scaffold End

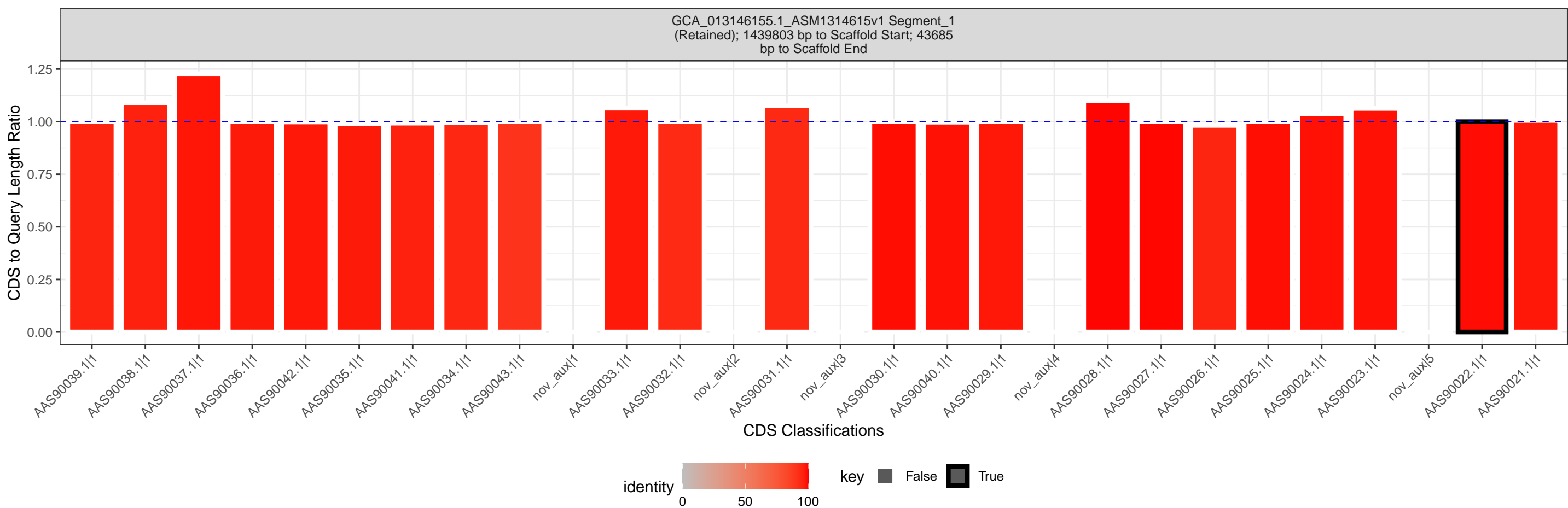
CDS to Query Length Ratio

1.25
1.00
0.75
0.50
0.25
0.00

AAS90039.1|1 AAS90038.1|1 AAS90037.1|1 AAS90036.1|1 AAS90042.1|1 AAS90035.1|1 AAS90041.1|1 AAS90034.1|1 AAS90043.1|1 nov_aux|1 AAS90033.1|1 AAS90032.1|1 nov_aux|2 AAS90031.1|1 nov_aux|3 AAS90030.1|1 AAS90040.1|1 AAS90029.1|1 nov_aux|4 AAS90028.1|1 AAS90027.1|1 AAS90026.1|1 AAS90025.1|1 AAS90024.1|1 AAS90023.1|1 nov_aux|5 AAS90022.1|1 AAS90021.1|1

CDS Classifications





GCA_024671085.1_ASM2467108v1 Segment_1
(Retained); 39069 bp to Scaffold Start; 24230 bp
to Scaffold End

CDS to Query Length Ratio

1.25
1.00
0.75
0.50
0.25
0.00

AAS90021.1|1 AAS90022.1|1 nov_aux|1 AAS90023.1|1 AAS90024.1|1 AAS90025.1|1 AAS90026.1|1 AAS90027.1|1 AAS90028.1|1 nov_aux|2 AAS90029.1|1 AAS90040.1|1 AAS90030.1|1 nov_aux|3 AAS90031.1|1 nov_aux|4 AAS90032.1|1 AAS90033.1|1 nov_aux|5 AAS90043.1|1 AAS90034.1|1 AAS90041.1|1 AAS90035.1|1 AAS90042.1|1 AAS90036.1|1 AAS90037.1|1 AAS90038.1|1 AAS90039.1|1

CDS Classifications



GCA_012896705.1_ASM1289670v1 Segment_1
(Retained); 4885642 bp to Scaffold Start; 70340
bp to Scaffold End

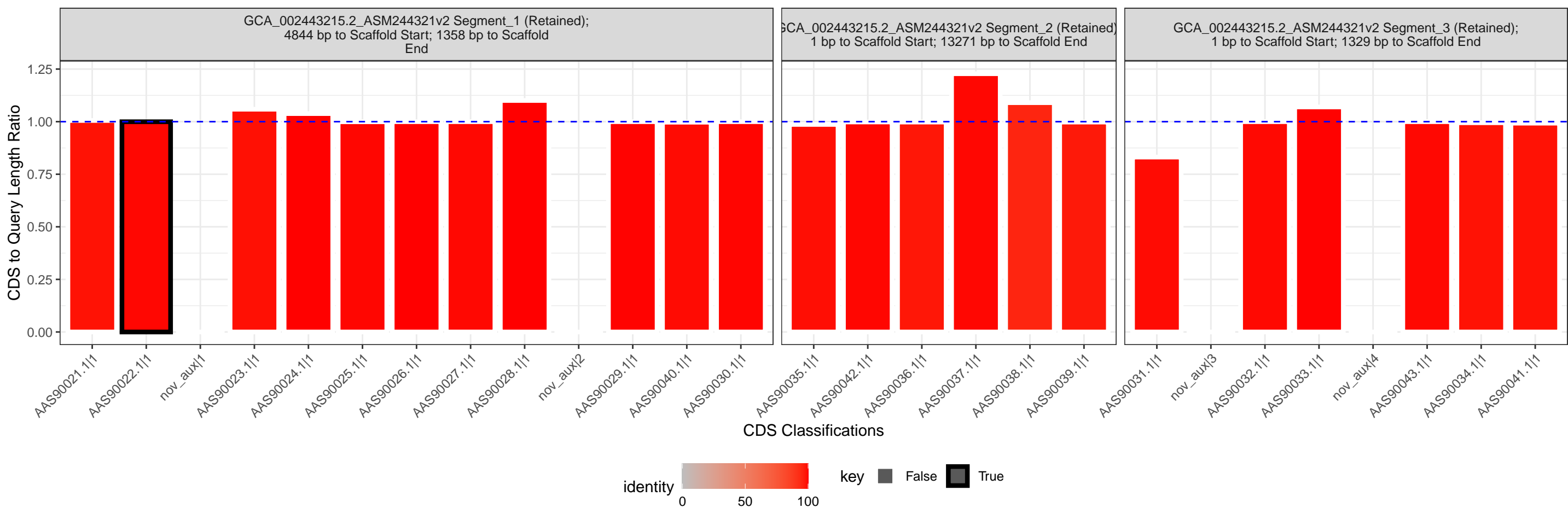
CDS to Query Length Ratio

1.25
1.00
0.75
0.50
0.25
0.00

AAS90039.1|1 AAS90038.1|1 AAS90037.1|1 AAS90036.1|1 AAS90042.1|1 AAS90035.1|1 AAS90041.1|1 AAS90034.1|1 AAS90043.1|1 nov_aux|1 AAS90033.1|1 AAS90032.1|1 nov_aux|2 AAS90031.1|1 nov_aux|3 AAS90030.1|1 AAS90040.1|1 AAS90029.1|1 nov_aux|4 AAS90028.1|1 AAS90027.1|1 AAS90026.1|1 AAS90025.1|1 AAS90024.1|1 AAS90023.1|1 nov_aux|5 AAS90022.1|1 AAS90021.1|1

CDS Classifications





GCA_018140885.1_ASM1814088v1 Segment_1
(Retained); 4954166 bp to Scaffold Start; 95001
bp to Scaffold End

CDS to Query Length Ratio

1.25
1.00
0.75
0.50
0.25
0.00

AAS90039.1|1 AAS90038.1|1 AAS90037.1|1 AAS90036.1|1 AAS90042.1|1 AAS90035.1|1 AAS90041.1|1 AAS90034.1|1 AAS90043.1|1 nov_aux|1 AAS90033.1|1 AAS90032.1|1 nov_aux|2 AAS90031.1|1 nov_aux|3 AAS90030.1|1 AAS90040.1|1 AAS90029.1|1 nov_aux|4 AAS90028.1|1 AAS90027.1|1 AAS90026.1|1 AAS90025.1|1 AAS90024.1|1 AAS90023.1|1 nov_aux|5 AAS90022.1|1 AAS90021.1|1

CDS Classifications



GCA_012896145.1_ASM1289614v1 Segment_1
(Retained); 4704032 bp to Scaffold Start; 70879
bp to Scaffold End

CDS to Query Length Ratio

1.25
1.00
0.75
0.50
0.25
0.00

AAS90039.1|1 AAS90038.1|1 AAS90037.1|1 AAS90036.1|1 AAS90042.1|1 AAS90035.1|1 AAS90041.1|1 AAS90034.1|1 AAS90043.1|1 nov_aux|1 AAS90033.1|1 AAS90032.1|1 nov_aux|2 AAS90031.1|1 nov_aux|3 AAS90030.1|1 AAS90040.1|1 AAS90029.1|1 nov_aux|4 AAS90028.1|1 AAS90027.1|1 AAS90026.1|1 AAS90025.1|1 AAS90024.1|1 AAS90023.1|1 nov_aux|5 AAS90022.1|1 AAS90021.1|1

CDS Classifications



GCA_024678665.1_ASM2467866v1 Segment_1
(Retained); 21635 bp to Scaffold Start; 30910 bp
to Scaffold End

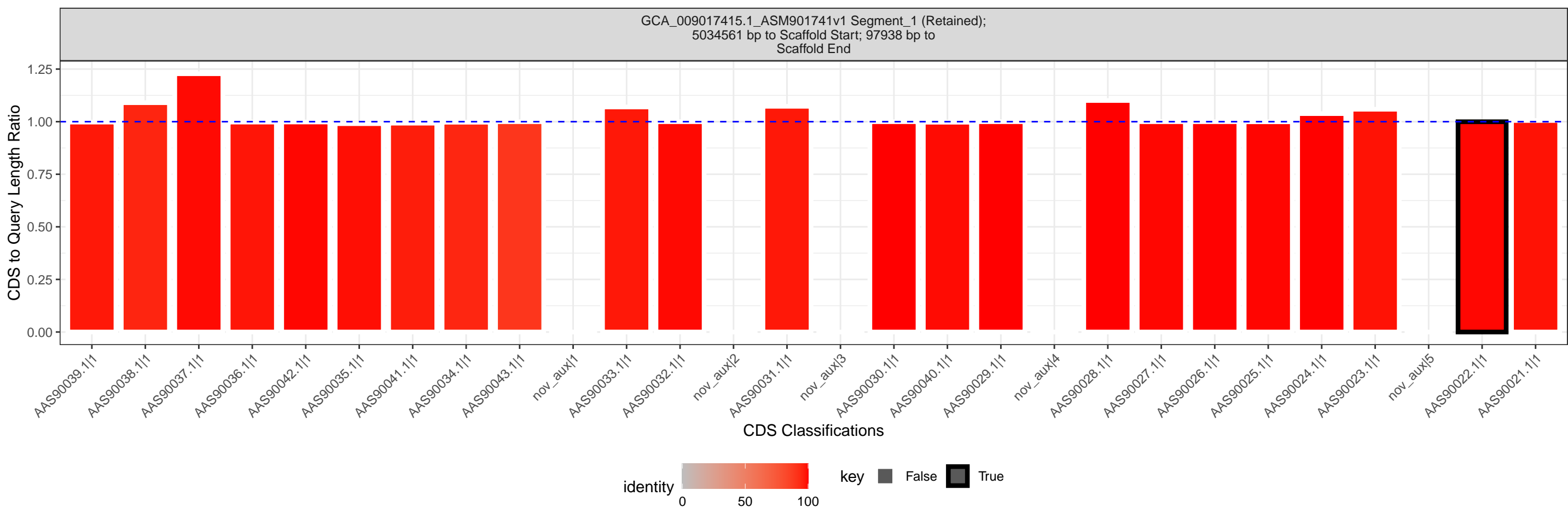
CDS to Query Length Ratio

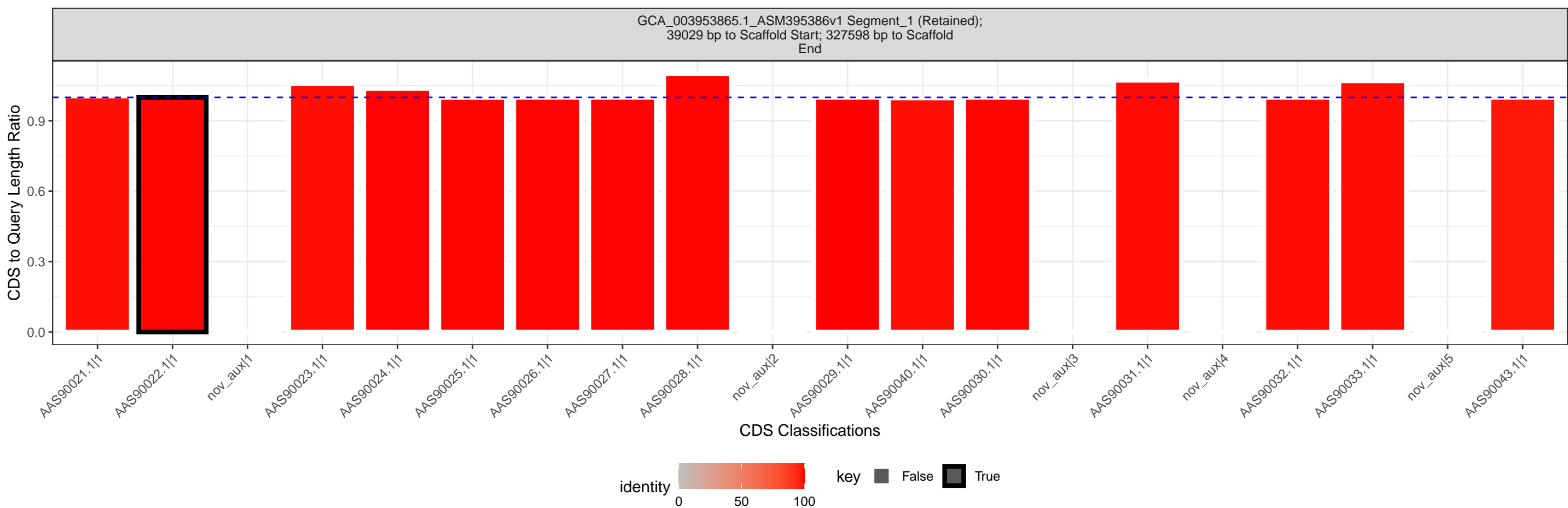
1.25
1.00
0.75
0.50
0.25
0.00

AAS90039.1|1 AAS90038.1|1 AAS90037.1|1 AAS90036.1|1 AAS90042.1|1 AAS90035.1|1 AAS90041.1|1 AAS90034.1|1 AAS90043.1|1 nov_aux|1 AAS90033.1|1 AAS90032.1|1 nov_aux|2 AAS90031.1|1 nov_aux|3 AAS90030.1|1 AAS90040.1|1 AAS90029.1|1 nov_aux|4 AAS90028.1|1 AAS90027.1|1 AAS90026.1|1 AAS90025.1|1 AAS90024.1|1 AAS90023.1|1 nov_aux|5 AAS90022.1|1 AAS90021.1|1

CDS Classifications







GCA_023653635.1_ASM2365363v1 Segment_1
(Retained); 466164 bp to Scaffold Start; 72871 bp
to Scaffold End

CDS to Query Length Ratio

1.25
1.00
0.75
0.50
0.25
0.00

AAS90039.1|1 AAS90038.1|1 AAS90037.1|1 AAS90036.1|1 AAS90042.1|1 AAS90035.1|1 AAS90041.1|1 AAS90034.1|1 AAS90043.1|1 nov_aux|1 AAS90033.1|1 AAS90032.1|1 nov_aux|2 AAS90031.1|1 nov_aux|3 AAS90030.1|1 AAS90040.1|1 AAS90029.1|1 nov_aux|4 AAS90028.1|1 AAS90027.1|1 AAS90026.1|1 AAS90025.1|1 AAS90024.1|1 AAS90023.1|1 nov_aux|5 AAS90022.1|1 AAS90021.1|1

CDS Classifications



GCA_024678385.1_ASM2467838v1 Segment_1
(Retained); 39051 bp to Scaffold Start; 151629 bp
to Scaffold End

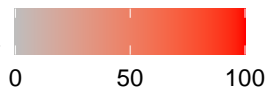
CDS to Query Length Ratio

1.25
1.00
0.75
0.50
0.25
0.00

AAS90021.1|1 AAS90022.1|1 nov_aux|1 AAS90023.1|1 AAS90024.1|1 AAS90025.1|1 AAS90026.1|1 AAS90027.1|1 AAS90028.1|1 nov_aux|2 AAS90029.1|1 AAS90040.1|1 AAS90030.1|1 nov_aux|3 AAS90031.1|1 nov_aux|4 AAS90032.1|1 AAS90033.1|1 nov_aux|5 AAS90043.1|1 AAS90034.1|1 AAS90041.1|1 AAS90035.1|1 AAS90042.1|1 AAS90036.1|1 AAS90037.1|1 AAS90038.1|1 AAS90039.1|1

CDS Classifications

identity



key

False

True

GCA_024678225.1_ASM2467822v1 Segment_1
(Retained); 30369 bp to Scaffold Start; 58758 bp
to Scaffold End

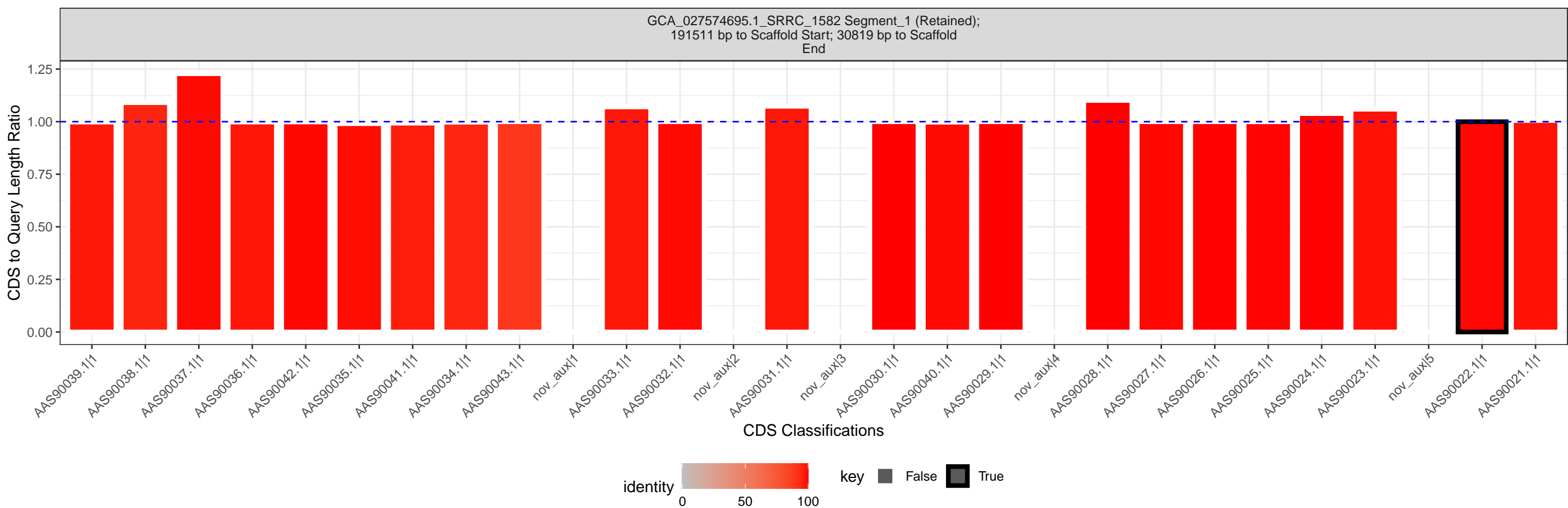
CDS to Query Length Ratio

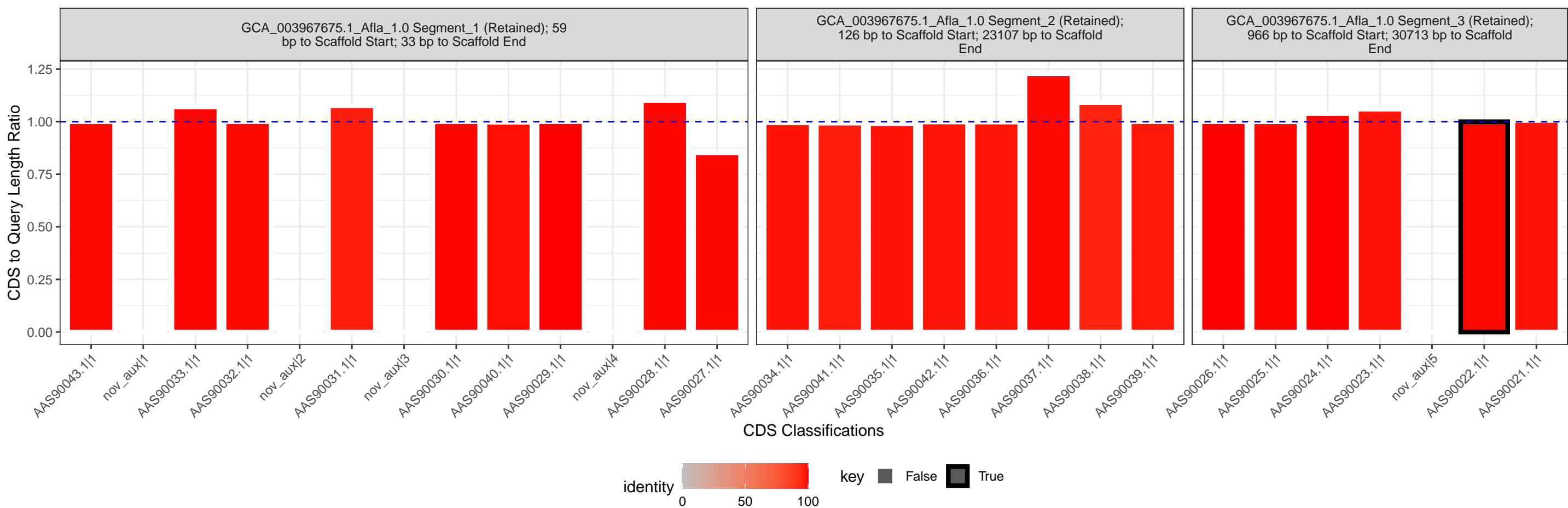
1.25
1.00
0.75
0.50
0.25
0.00

AAS90021.1|1 AAS90022.1|1 nov_aux|1 AAS90023.1|1 AAS90024.1|1 AAS90025.1|1 AAS90026.1|1 AAS90027.1|1 AAS90028.1|1 nov_aux|2 AAS90029.1|1 AAS90040.1|1 AAS90030.1|1 nov_aux|3 AAS90031.1|1 nov_aux|4 AAS90032.1|1 AAS90033.1|1 nov_aux|5 AAS90043.1|1 AAS90034.1|1 AAS90041.1|1 AAS90035.1|1 AAS90042.1|1 AAS90036.1|1 AAS90037.1|1 AAS90038.1|1 AAS90039.1|1

CDS Classifications







GCA_024671105.1_ASM2467110v1 Segment_1
(Retained); 39089 bp to Scaffold Start; 24175 bp
to Scaffold End

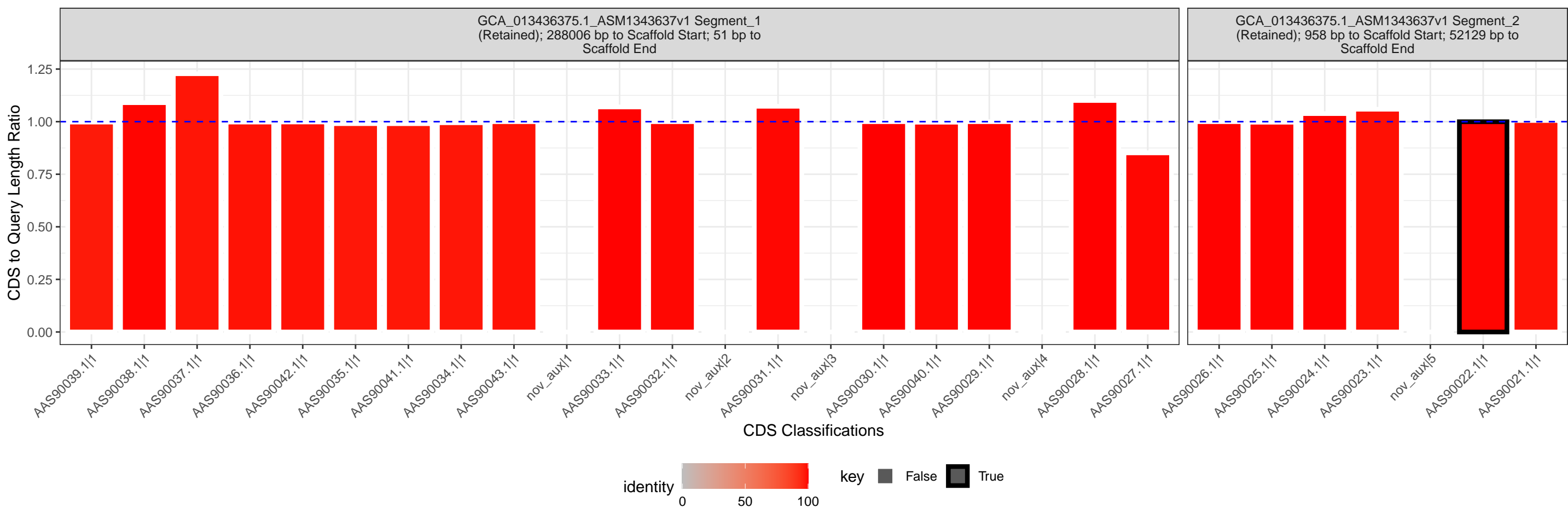
CDS to Query Length Ratio

1.25
1.00
0.75
0.50
0.25
0.00

AAS90021.1|1 AAS90022.1|1 nov_aux|1 AAS90023.1|1 AAS90024.1|1 AAS90025.1|1 AAS90026.1|1 AAS90027.1|1 AAS90028.1|1 nov_aux|2 AAS90029.1|1 AAS90040.1|1 AAS90030.1|1 nov_aux|3 AAS90031.1|1 nov_aux|4 AAS90032.1|1 AAS90033.1|1 nov_aux|5 AAS90043.1|1 AAS90034.1|1 AAS90041.1|1 AAS90035.1|1 AAS90042.1|1 AAS90036.1|1 AAS90037.1|1 AAS90038.1|1 AAS90039.1|1

CDS Classifications





GCA_013436335.1_ASM1343633v1 Segment_1
(Retained); 288609 bp to Scaffold Start; 52133 bp
to Scaffold End

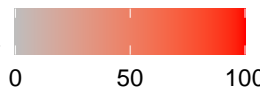
CDS to Query Length Ratio

1.25
1.00
0.75
0.50
0.25
0.00

AAS90039.1|1 AAS90038.1|1 AAS90037.1|1 AAS90036.1|1 AAS90042.1|1 AAS90035.1|1 AAS90041.1|1 AAS90034.1|1 AAS90043.1|1 nov_aux|1 AAS90033.1|1 AAS90032.1|1 nov_aux|2 AAS90031.1|1 nov_aux|3 AAS90030.1|1 AAS90040.1|1 AAS90029.1|1 nov_aux|4 AAS90028.1|1 AAS90027.1|1 AAS90026.1|1 AAS90025.1|1 AAS90024.1|1 AAS90023.1|1 nov_aux|5 AAS90022.1|1 AAS90021.1|1

CDS Classifications

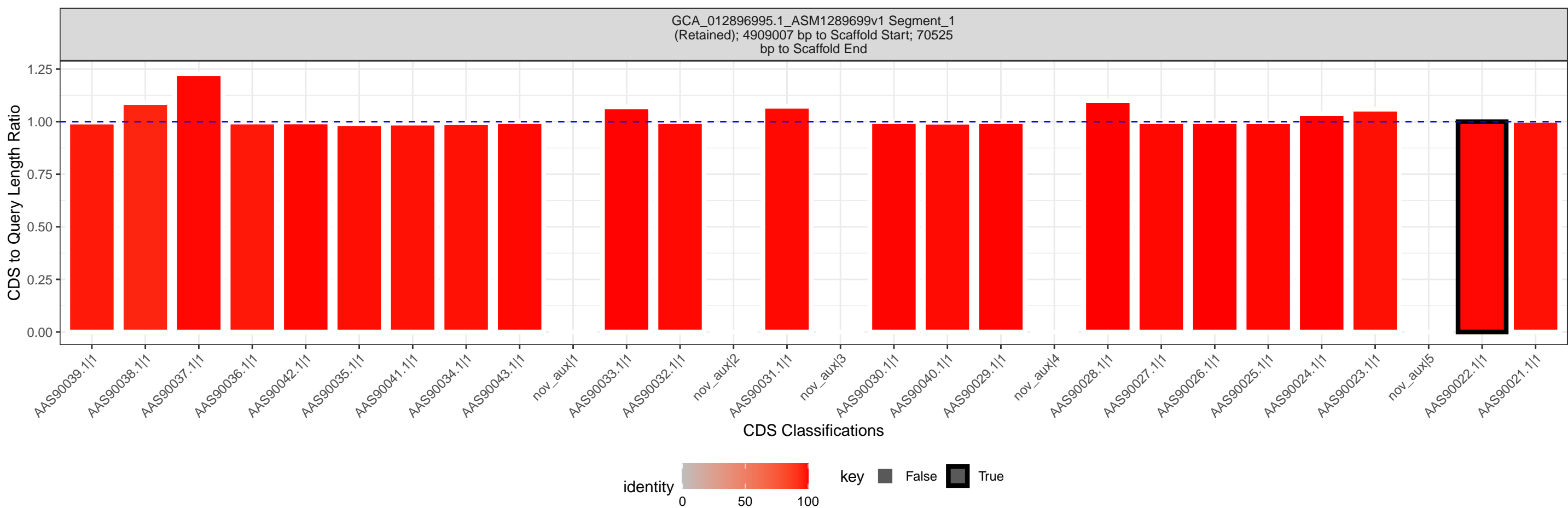
identity



key

False

True



GCA_013145865.1_ASM1314586v1 Segment_1
(Retained); 143859 bp to Scaffold Start; 47001 bp
to Scaffold End

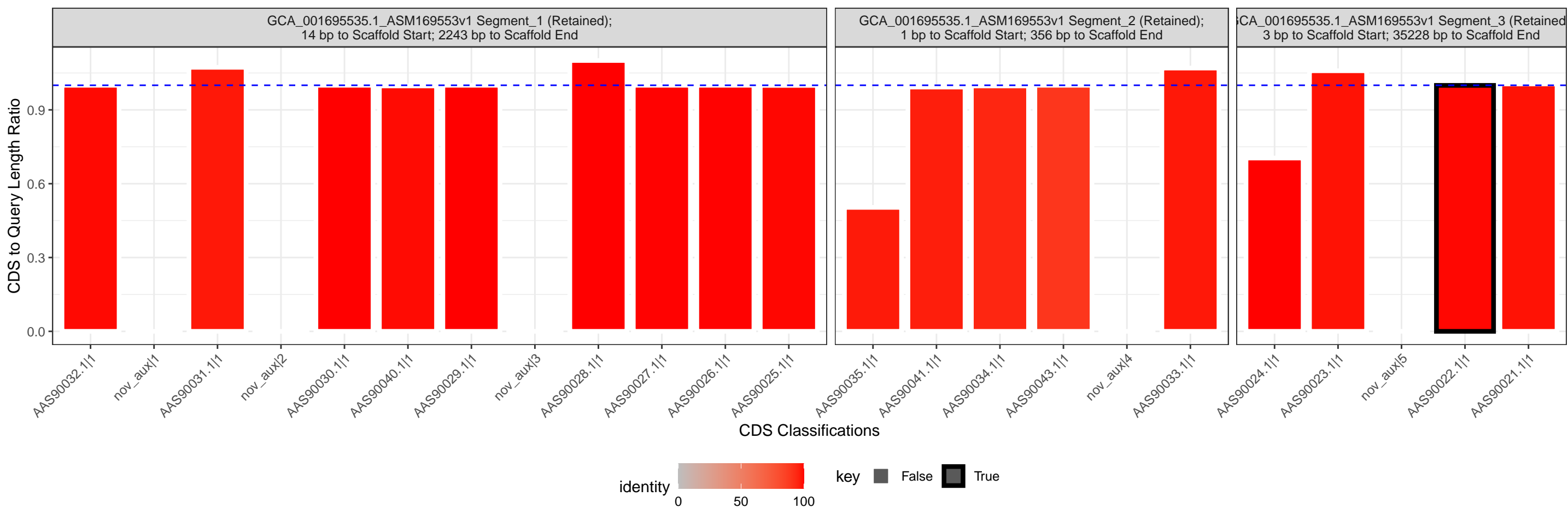
CDS to Query Length Ratio

1.25
1.00
0.75
0.50
0.25
0.00

AAS90039.1|1 AAS90038.1|1 AAS90037.1|1 AAS90036.1|1 AAS90042.1|1 AAS90035.1|1 AAS90041.1|1 AAS90034.1|1 AAS90043.1|1 nov_aux|1 AAS90033.1|1 AAS90032.1|1 nov_aux|2 AAS90031.1|1 nov_aux|3 AAS90030.1|1 AAS90040.1|1 AAS90029.1|1 AAS90028.1|1 AAS90027.1|1 AAS90026.1|1 AAS90025.1|1 AAS90024.1|1 AAS90023.1|1 AAS90022.1|1 AAS90021.1|1

CDS Classifications





GCA_024665695.1_ASM2466569v1 Segment_1
(Retained); 133083 bp to Scaffold Start; 30924 bp
to Scaffold End

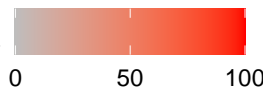
CDS to Query Length Ratio

1.25
1.00
0.75
0.50
0.25
0.00

AAS90039.1|1 AAS90038.1|1 AAS90037.1|1 AAS90036.1|1 AAS90042.1|1 AAS90035.1|1 AAS90041.1|1 AAS90034.1|1 AAS90043.1|1 nov_aux|1 AAS90033.1|1 AAS90032.1|1 nov_aux|2 AAS90031.1|1 nov_aux|3 AAS90030.1|1 AAS90040.1|1 AAS90029.1|1 nov_aux|4 AAS90028.1|1 AAS90027.1|1 AAS90026.1|1 AAS90025.1|1 AAS90024.1|1 AAS90023.1|1 nov_aux|5 AAS90022.1|1 AAS90021.1|1

CDS Classifications

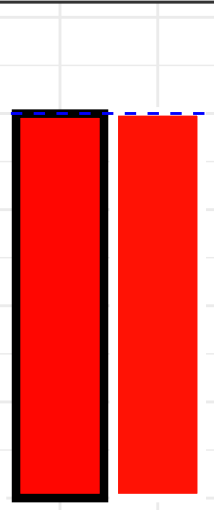
identity

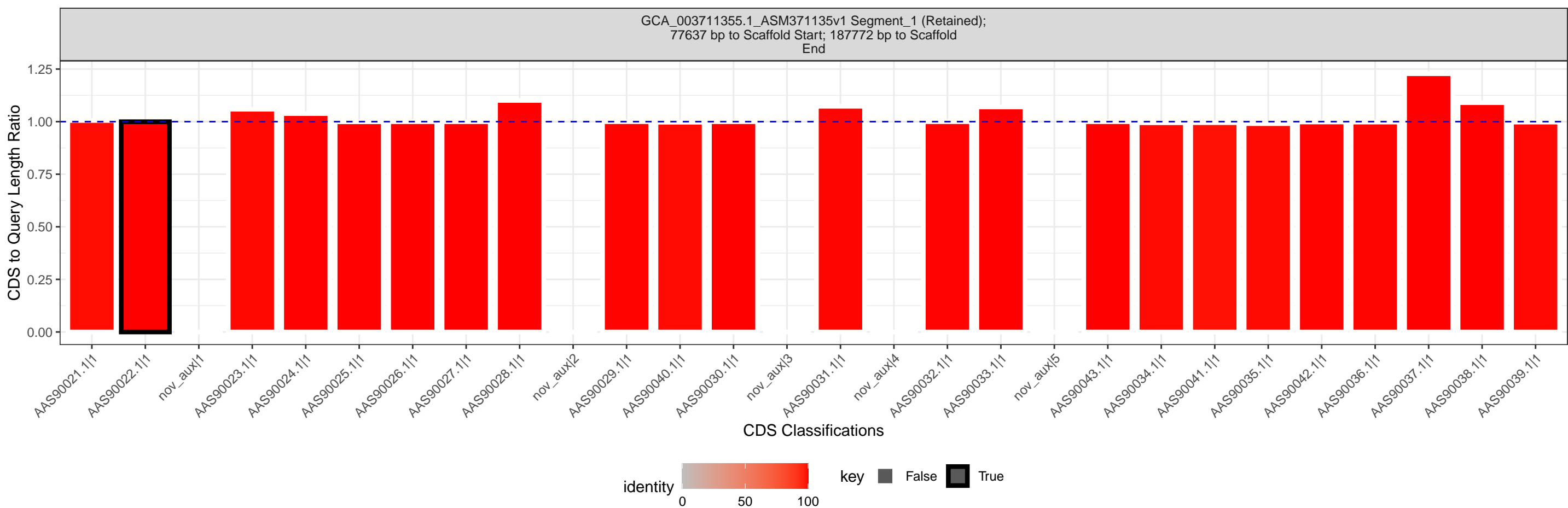


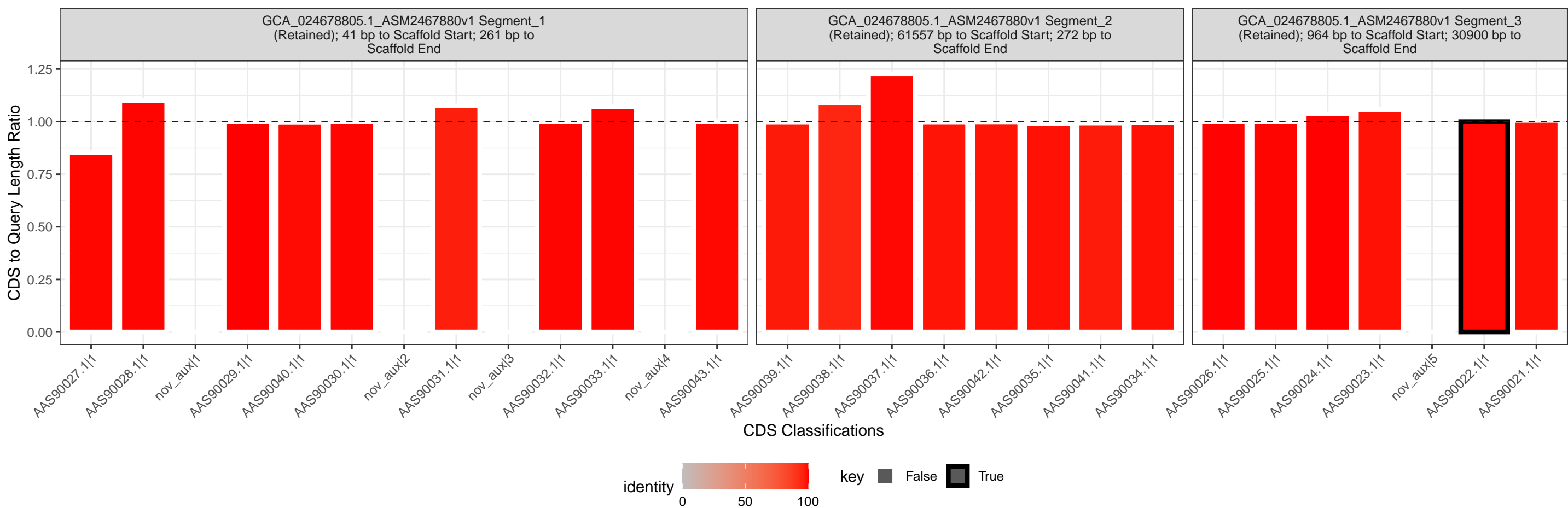
key

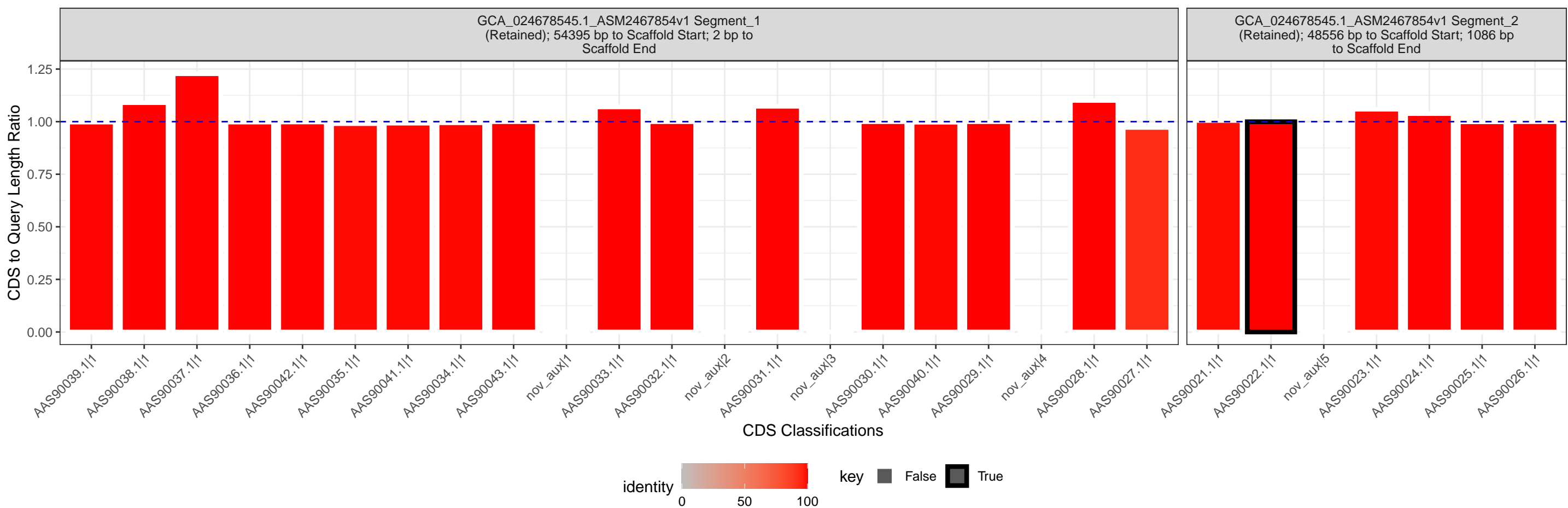
False

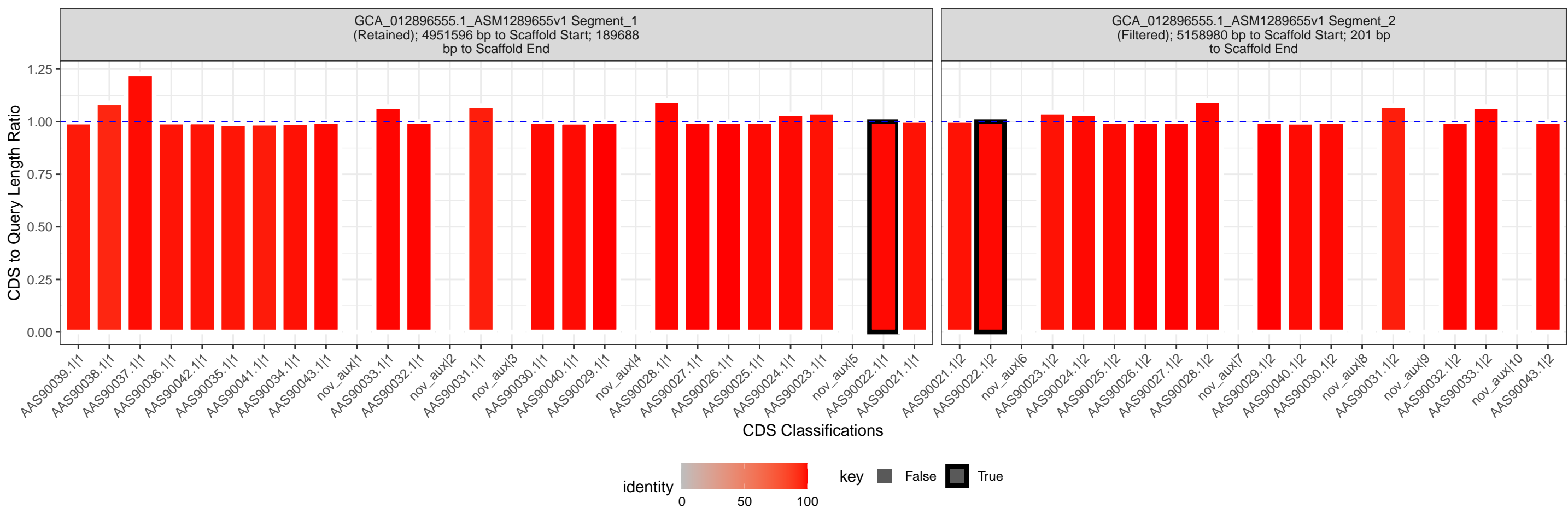
True











GCA_024671095.1_ASM2467109v1 Segment_1
(Retained); 117481 bp to Scaffold Start; 29595 bp
to Scaffold End

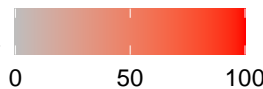
CDS to Query Length Ratio

1.25
1.00
0.75
0.50
0.25
0.00

AAS90039.1|1 AAS90038.1|1 AAS90037.1|1 AAS90036.1|1 AAS90042.1|1 AAS90035.1|1 AAS90041.1|1 AAS90034.1|1 AAS90043.1|1 nov_aux|1 AAS90033.1|1 AAS90032.1|1 nov_aux|2 AAS90031.1|1 nov_aux|3 AAS90030.1|1 AAS90040.1|1 AAS90029.1|1 nov_aux|4 AAS90028.1|1 AAS90027.1|1 AAS90026.1|1 AAS90025.1|1 AAS90024.1|1 AAS90023.1|1 nov_aux|5 AAS90022.1|1 AAS90021.1|1

CDS Classifications

identity



key

False

True



GCA_024677005.1_ASM2467700v1 Segment_1
(Retained); 30910 bp to Scaffold Start; 21600 bp
to Scaffold End

CDS to Query Length Ratio

1.25
1.00
0.75
0.50
0.25
0.00

AAS90021.1|1 AAS90022.1|1 nov_aux|1 AAS90023.1|1 AAS90024.1|1 AAS90025.1|1 AAS90026.1|1 AAS90027.1|1 AAS90028.1|1 nov_aux|2 AAS90029.1|1 AAS90040.1|1 AAS90030.1|1 nov_aux|3 AAS90031.1|1 nov_aux|4 AAS90032.1|1 AAS90033.1|1 nov_aux|5 AAS90043.1|1 AAS90034.1|1 AAS90041.1|1 AAS90035.1|1 AAS90042.1|1 AAS90036.1|1 AAS90037.1|1 AAS90038.1|1 AAS90039.1|1

CDS Classifications



GCA_024678905.1_ASM2467890v1 Segment_1
(Retained); 61781 bp to Scaffold Start; 30328 bp
to Scaffold End

CDS to Query Length Ratio

1.25
1.00
0.75
0.50
0.25
0.00

AAS90039.1|1 AAS90038.1|1 AAS90037.1|1 AAS90036.1|1 AAS90042.1|1 AAS90035.1|1 AAS90041.1|1 AAS90034.1|1 AAS90043.1|1 nov_aux|1 AAS90033.1|1 AAS90032.1|1 nov_aux|2 AAS90031.1|1 nov_aux|3 AAS90030.1|1 AAS90040.1|1 AAS90029.1|1 nov_aux|4 AAS90028.1|1 AAS90027.1|1 AAS90026.1|1 AAS90025.1|1 AAS90024.1|1 AAS90023.1|1 nov_aux|5 AAS90022.1|1 AAS90021.1|1

CDS Classifications



GCA_024666645.1_ASM2466664v1 Segment_1
(Retained); 39043 bp to Scaffold Start; 186873 bp
to Scaffold End

CDS to Query Length Ratio

1.25
1.00
0.75
0.50
0.25
0.00

AAS90021.1|1 AAS90022.1|1 nov_aux|1 AAS90023.1|1 AAS90024.1|1 AAS90025.1|1 AAS90026.1|1 AAS90027.1|1 AAS90028.1|1 nov_aux|2 AAS90029.1|1 AAS90040.1|1 AAS90030.1|1 nov_aux|3 AAS90031.1|1 nov_aux|4 AAS90032.1|1 AAS90033.1|1 nov_aux|5 AAS90043.1|1 AAS90034.1|1 AAS90041.1|1 AAS90035.1|1 AAS90042.1|1 AAS90036.1|1 AAS90037.1|1 AAS90038.1|1 AAS90039.1|1

CDS Classifications



GCA_013436455.1_ASM1343645v1 Segment_1
(Retained); 56903 bp to Scaffold Start; 67882 bp
to Scaffold End

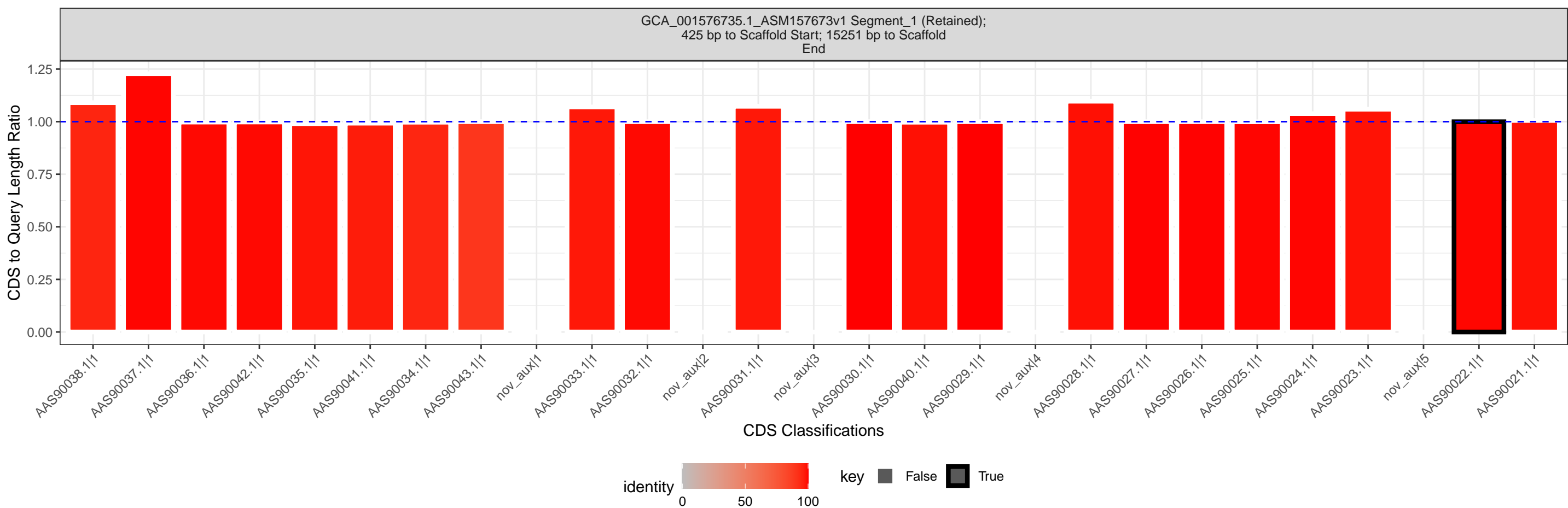
CDS to Query Length Ratio

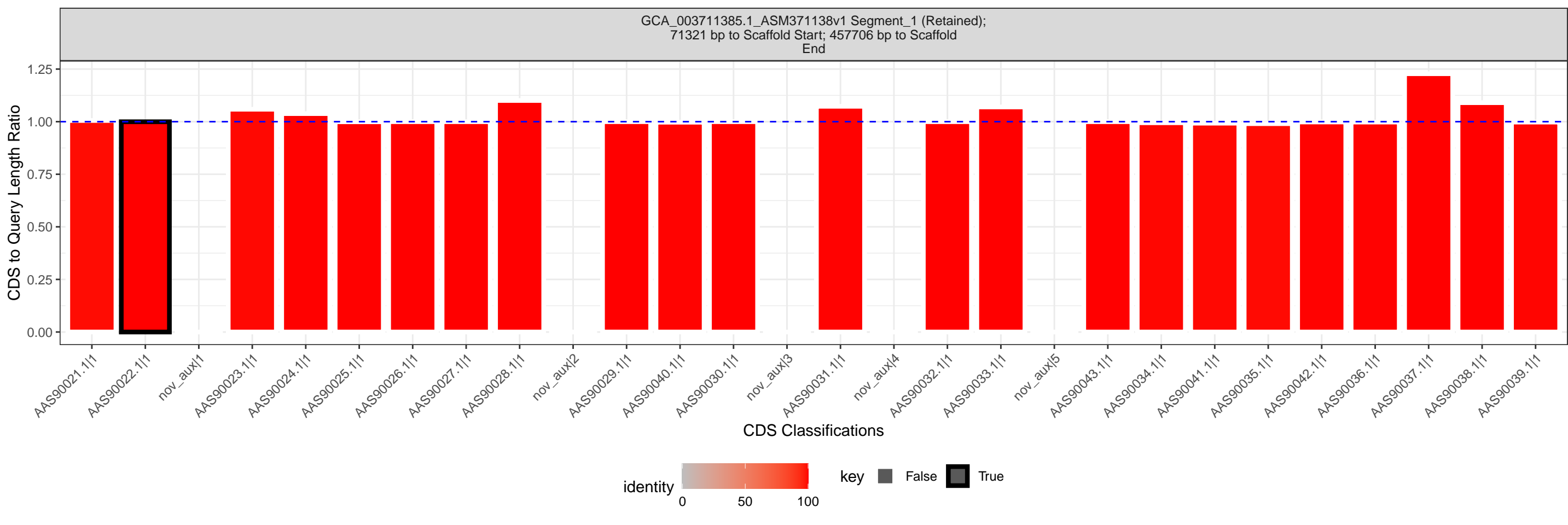
1.25
1.00
0.75
0.50
0.25
0.00

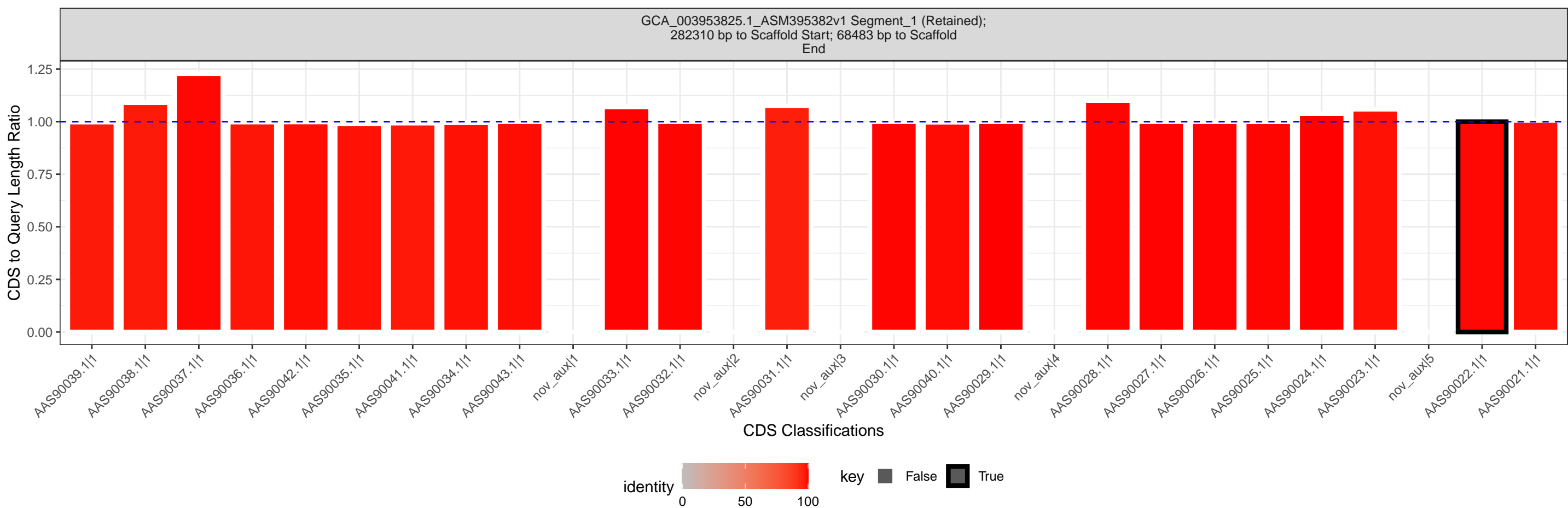
AAS90039.1|1 AAS90038.1|1 AAS90037.1|1 AAS90036.1|1 AAS90042.1|1 AAS90035.1|1 AAS90041.1|1 AAS90034.1|1 AAS90043.1|1 nov_aux|1 AAS90033.1|1 AAS90032.1|1 nov_aux|2 AAS90031.1|1 nov_aux|3 AAS90030.1|1 AAS90040.1|1 AAS90029.1|1 nov_aux|4 AAS90028.1|1 AAS90027.1|1 AAS90026.1|1 AAS90025.1|1 AAS90024.1|1 AAS90023.1|1 nov_aux|5 AAS90022.1|1 AAS90021.1|1

CDS Classifications









GCA_024673175.1_ASM2467317v1 Segment_1
(Retained); 24292 bp to Scaffold Start; 46564 bp
to Scaffold End

CDS to Query Length Ratio

1.25
1.00
0.75
0.50
0.25
0.00

AAS90039.1|1 AAS90038.1|1 AAS90037.1|1 AAS90036.1|1 AAS90042.1|1 AAS90035.1|1 AAS90041.1|1 AAS90034.1|1 AAS90043.1|1 nov_aux|1 AAS90033.1|1 AAS90032.1|1 nov_aux|2 AAS90031.1|1 nov_aux|3 AAS90030.1|1 AAS90040.1|1 AAS90029.1|1 nov_aux|4 AAS90028.1|1 AAS90027.1|1 AAS90026.1|1 AAS90025.1|1 AAS90024.1|1 AAS90023.1|1 nov_aux|5 AAS90022.1|1 AAS90021.1|1

CDS Classifications



GCA_024678365.1_ASM2467836v1 Segment_1
(Retained); 39052 bp to Scaffold Start; 24169 bp
to Scaffold End

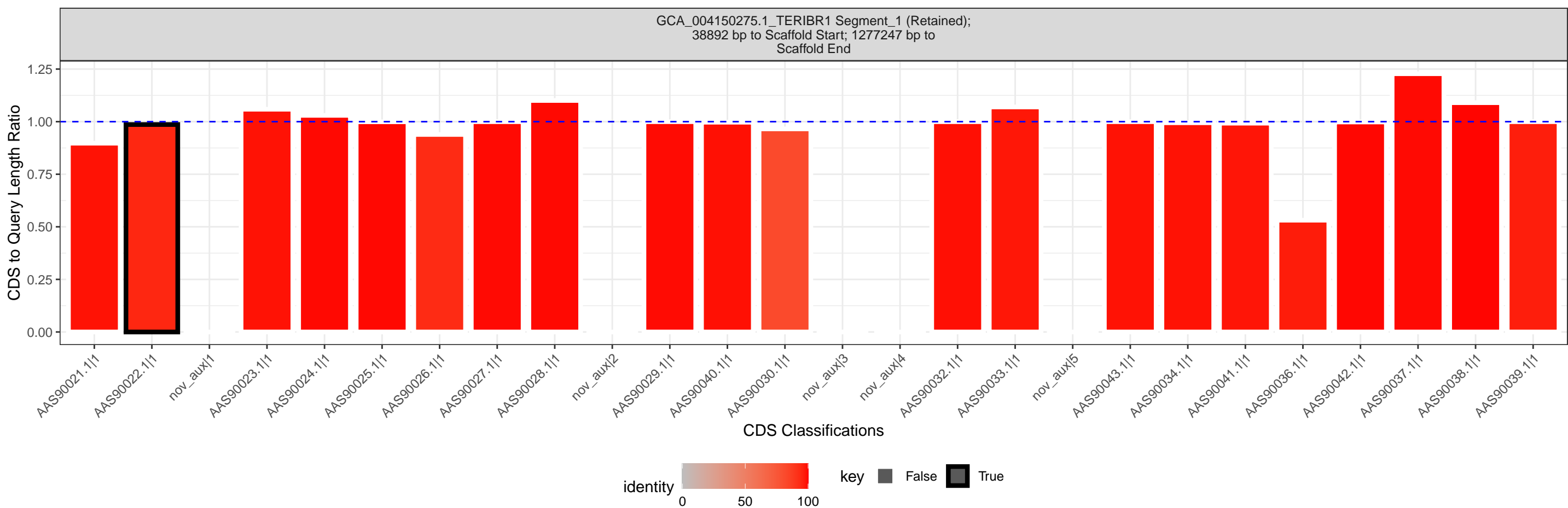
CDS to Query Length Ratio

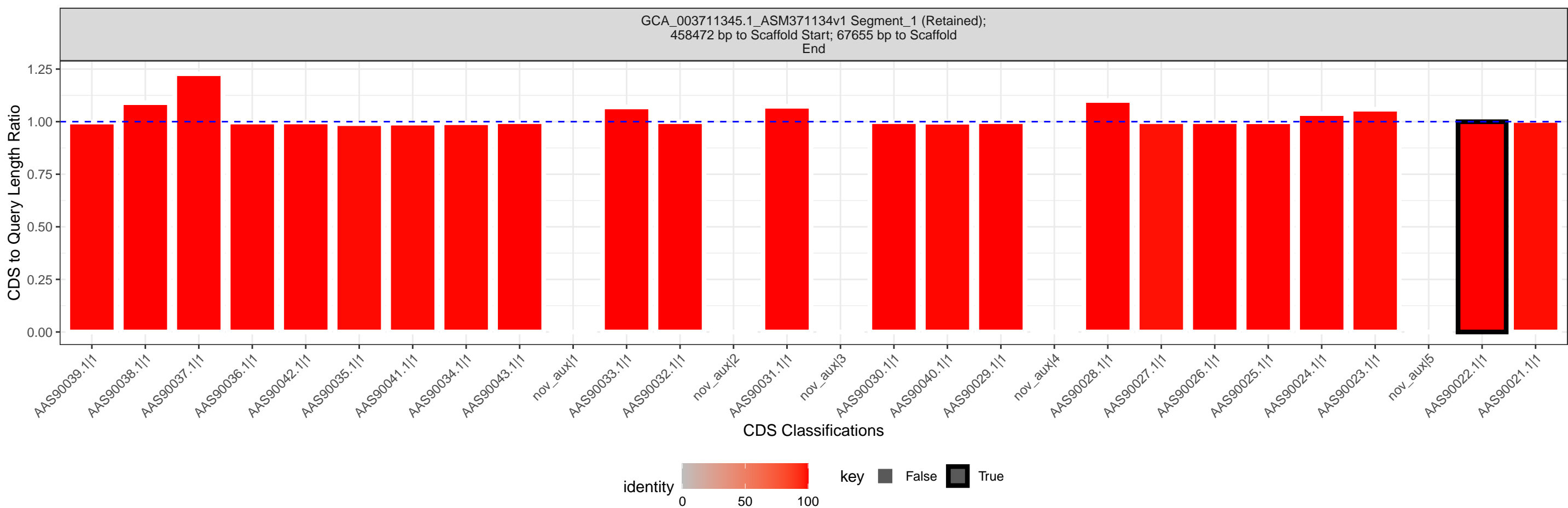
1.25
1.00
0.75
0.50
0.25
0.00

AAS90021.1|1 AAS90022.1|1 nov_aux|1 AAS90023.1|1 AAS90024.1|1 AAS90025.1|1 AAS90026.1|1 AAS90027.1|1 AAS90028.1|1 nov_aux|2 AAS90029.1|1 AAS90040.1|1 AAS90030.1|1 nov_aux|3 AAS90031.1|1 nov_aux|4 AAS90032.1|1 AAS90033.1|1 nov_aux|5 AAS90043.1|1 AAS90034.1|1 AAS90041.1|1 AAS90035.1|1 AAS90042.1|1 AAS90036.1|1 AAS90037.1|1 AAS90038.1|1 AAS90039.1|1

CDS Classifications







GCA_025769745.1_ASM2576974v1 Segment_1
(Retained); 113528 bp to Scaffold Start; 38343 bp
to Scaffold End

CDS to Query Length Ratio

1.25
1.00
0.75
0.50
0.25
0.00

AAS90039.1|1 AAS90038.1|1 AAS90037.1|1 AAS90036.1|1 AAS90042.1|1 AAS90035.1|1 AAS90041.1|1 AAS90034.1|1 AAS90043.1|1 nov_aux|1 AAS90033.1|1 AAS90032.1|1 nov_aux|2 AAS90031.1|1 nov_aux|3 AAS90030.1|1 AAS90040.1|1 AAS90029.1|1 nov_aux|4 AAS90028.1|1 AAS90027.1|1 AAS90026.1|1 AAS90025.1|1 AAS90024.1|1 AAS90023.1|1 nov_aux|5 AAS90022.1|1 AAS90021.1|1

CDS Classifications

